

1 **Leeuwin Current dynamics over the last 60 kyrs – relation**  
2 **to Australian ecosystem and Southern Ocean change**

3 Dirk Nürnberg<sup>1</sup>, Akintunde Kayode<sup>1</sup>, Karl J.F. Meier<sup>2</sup>, Cyrus Karas<sup>3</sup>

4 <sup>1</sup>GEOMAR Helmholtz Centre for Ocean Research Kiel, Wischhofstr. 1-3, D-24148 Kiel, Germany

5 <sup>2</sup>Institute of Earth Science, Heidelberg University, Im Neuenheimer Feld 234, Heidelberg D-69120, Germany

6 <sup>3</sup>Universidad de Santiago de Chile, Av. Bernardo O'Higgins 3363, Santiago, Chile

7 *Correspondence to:* Dirk Nürnberg ([dnuernberg@geomar.de](mailto:dnuernberg@geomar.de))

8  
9 *Keywords:* Leeuwin Current, Abrupt Glacial Climate Change, Southern Ocean, Megafaunal Extinction,  
10 Australian Ecosystem Change

11

Formatvorlagendefinition: Beschriftung

Gelöscht: extinction

Feldfunktion geändert

Gelöscht: ████

Formatiert: Hervorheben

Gelöscht: Autralian

Gelöscht: e

Gelöscht: biomass burning, human colonization

17 **Abstract**

18 The Leeuwin Current flowing southward along West Australia is an important conduit for the  
19 poleward heat transport and interocean water exchange between the tropical and the  
20 subantarctic ocean areas. Its past development, and its relationship to Southern Ocean change  
21 and to Australian ecosystem response, however is largely unknown. We here reconstruct sea  
22 surface and thermocline temperatures and salinities from foraminiferal-based Mg/Ca and stable  
23 oxygen isotopes from offshore southwest and southeast Australia reflecting the Leeuwin  
24 Current dynamics over the last 60 kyrs. Its variability resembles the biomass burning  
25 development in Australasia from ~60-20 ka BP implying that climate-modulated changes  
26 related to the Leeuwin Current most likely affected Australian vegetational and fire regimes.  
27 In particular during ~60-43 ka BP, warmest thermocline temperatures point to a strongly  
28 developed Leeuwin Current during Antarctic cool periods when the Antarctic Circumpolar  
29 Current weakened. The pronounced centennial-scale variations in Leeuwin Current strength  
30 appear in line with the migrations of the southern hemisphere frontal system and are captured  
31 by prominent changes in the Australian megafauna biomass. We argue that the concerted action  
32 of a rapidly changing Leeuwin Current, the ecosystem response in Australia, and human  
33 interference since ~50 BP enhanced the ecological stress on the Australian megafauna until its  
34 extinction at ~43 ka BP. While being weakest during the Last Glacial Maximum, the deglacial  
35 Leeuwin Current intensified at times of poleward migrations of the Subtropical Front. During  
36 the Holocene, the thermocline off South Australia was considerably shallower compared to the  
37 short-term glacial and deglacial periods of Leeuwin Current intensification.

38  
39  
40  
41

**Copyright statement**

Gelöscht: S

Gelöscht: H

Gelöscht: a tipping point was reached

Gelöscht: , after which faunal recuperation no longer took place

Gelöscht: l

Gelöscht: g

Gelöscht: m

## 50 1 Introduction

51 The southern margin of Australia is one of the world's largest latitude-parallel shelf and slope  
52 region (James et al., 1994), affected by large boundary currents to the east (East Australian  
53 Current) and west (Leeuwin Current), which transport tropical ocean heat southward (e.g.  
54 Wijeratne et al., 2018; Fig. 1). Many studies highlighted the seasonal and interannual  
55 variability associated with these currents, but also the impact of the decadal ENSO climate  
56 variability on the strength and transport variability of these currents (e.g., Feng et al., 2003;  
57 Holbrook et al., 2011; Wijeratne et al., 2018).

58 The warm and saline Leeuwin Current, an eastern boundary current that flows southward along  
59 West Australia (Fig. 1), originates from the Indonesian-Australian Basin and is fed by  
60 Indonesian Throughflow waters (ITW) and the eastward-directed Eastern Gyral Current  
61 (Meyers et al., 1995; Domingues et al., 2007). The Leeuwin Current turns east into the Great  
62 Australian Bight (Cresswell and Golding, 1980; Church et al., 1989; Smith et al., 1991) and  
63 shapes the temperature and salinity conditions, as well as water column stratification off  
64 western and southern Australia (Legeckis and Cresswell, 1981; Herzfeld and Tomczak, 1997;  
65 Li et al., 1999; Middleton and Bye, 2007; Holbrook et al., 2012). Wells and Wells (1994)  
66 concluded from micropaleontological studies that the Leeuwin Current likely stopped flowing  
67 during glacial periods, while the northwest-directed West Australian Current (Fig. 1) gained  
68 strength, resulting in a large-scale reorganization of the regional circulation patterns. Martinez  
69 et al. (1999) reported on the reduced occurrence of tropical planktonic species in the eastern  
70 Indian Ocean during glacial periods, while abundances of intermediate and deep-dwelling  
71 species increased, which they related to a weakened Leeuwin Current. Spooner et al. (2011)  
72 argued instead, that the Leeuwin Current remained active although weakened during the last  
73 five glacial periods, while the West Australian Current strengthened.

74 For the interglacial Marine Isotope Stages (MIS) 5, 7 and 11, Spooner et al. (2011) inferred a  
75 stronger Leeuwin Current due to an enhanced ITF contribution. De Deckker et al. (2012) and  
76 Perner et al. (2018) attributed the alternating warm and cold phases in the Great Australian  
77 Bight to changes in both Leeuwin Current-related heat export from the Indo-Pacific Warm Pool  
78 and latitudinal shifts of the Subtropical Front (STF; Fig. 1). A study from off Tasmania  
79 (Nürnberg et al., 2004) already pointed to a STF, which was commonly located further to the  
80 south during interglacials, while its glacial position moved northward and allowed subantarctic  
81 waters to expand northward. Moros et al. (2009) suggested that the STF was located closer to  
82 the southern Australian coast during the early Holocene (~10-7.5 ka BP) than its current  
83 position today at ~45°S in winter.

Gelöscht: s

Gelöscht: (Fig. 1)

Gelöscht:

87 Despite the many efforts to understand the paleoceanographic setting south of Australia (e.g.,  
88 Wells and Wells, 1994; Findlay and Flores, 2000; Barrows and Juggins, 2005; Nürnberg and  
89 Groneveld, 2006; Calvo et al., 2007; Moros et al., 2009; Spooner et al., 2011; De Deckker et  
90 al., 2012; Lopes dos Santos, 2012; Perner et al., 2018), no proxy studies but only few modelling  
91 studies concentrate on the subsurface development (e.g., Schodlok and Tomczak, 1997;  
92 Middleton and Cirano, 2002; Middleton and Platov, 2003; Cirano and Middleton, 2004;  
93 Middleton and Bye, 2007; Pattiaratchi and Woo, 2009). The aim of our study is to fill this  
94 important gap and to reveal changes in the Leeuwin Current over the last 60 kyrs. Stable oxygen  
95 isotope ( $\delta^{18}\text{O}$ ), Mg/Ca-based reconstructions of surface and thermocline temperatures  
96 ( $\text{SST}_{\text{Mg/Ca}}$ ,  $\text{TT}_{\text{Mg/Ca}}$ ) and the regional ice-volume-corrected  $\delta^{18}\text{O}$  of seawater ( $\delta^{18}\text{O}_{\text{sw-ivc}}$   
97 approximating surface and thermocline salinity) from two sediment cores off southern  
98 Australia (MD03-2614 and MD03-2609) allow to address the past dynamics of the vertical  
99 water column structure south of Australia in response to latitudinal shifts of oceanographic and  
100 atmospheric frontal systems, and the impact of the Southern Ocean change in the study area.

101

## 102 2 Modern oceanographic setting

### 103 2.1 Currents and winds

104 The Leeuwin Current and the Flinders Current are the two current systems mainly affecting  
105 the ocean region south of Australia (Fig. 1). The East Australian Current, a strong western  
106 boundary current (>2 m/s) transporting tropical heat poleward along eastern Australia, is only  
107 sporadically affecting the south coast (Bostock et al., 2006). The Leeuwin Current flows  
108 southwards along the western Australia shelf break and is characterized as shallow (upper ~200  
109 m) coastal current, with low-salinity and nutrient-depleted waters that originate mainly from  
110 the Indo-Pacific Warm Pool. It receives further contributions of subtropical waters from the  
111 Indian Ocean via the broad equatorward flowing West Australian Current, which is the eastern  
112 branch of the Indian Ocean gyre (Wandres, 2018).  
113 After passing Cape Leeuwin and reaching highest velocities, the Leeuwin Current turns east  
114 into the Great Australian Bight as far as ~124°E (Ridgway and Condie, 2004). At the same  
115 time, it becomes saltier, cooler, and denser due to air-sea interactions, subtropical addition, and  
116 eddy mixing with Indian Ocean and Southern Ocean waters (c.f. Richardson et al., 2019).  
117 Seasonal variations in the Leeuwin Current strength (Ridgway and Condie, 2004; Cirano and  
118 Middleton, 2004) reveal that the Leeuwin Current is strongest near the shelf-edge in austral  
119 winter (June–July) with a maximum poleward geostrophic transport of ~5 Sv ( $10^6 \text{ m}^3 \text{ s}^{-1}$ ), and

Gelöscht: and

Gelöscht:

Gelöscht: (

Formatiert: Englisch (USA)

Formatiert: Schriftart: (Standard) Times New Roman, 12 Pt.

Formatiert: Nicht Hervorheben

Formatiert: Schriftart: Schriftfarbe: Blau, Englisch (USA)

Gelöscht: it

Gelöscht: The Leeuwin Current's tropical water characteristics gradually alter, becoming

Formatiert: Durchgestrichen

Gelöscht: as it flows east

Formatiert: Durchgestrichen

127 weakest in austral summer with a mean transport of ~2 Sv (Holloway and Nye, 1985; Rochford,  
 128 1986; Feng et al., 2003; Ridgway and Condie, 2004).

129 Cirano and Middleton (2004) estimated that the contribution of the Leeuwin Current on the  
 130 total flow along the southern Australian coast diminishes toward the east. Off the eastern Great  
 131 Australian Bight, the Leeuwin Current only drives ~15% of the total flow, while wind forcing  
 132 (~47%) and a pressure gradient term (~38%) become more important. Ridgway and Condie  
 133 (2004) noted that along the west Australian coast, the Leeuwin Current is forced by the  
 134 alongshore pressure gradient associated with the meridional portion of either less dense and  
 135 low-salinity water masses from the equatorial Western Pacific Warm Pool or southern-sourced  
 136 cold, dense, high-salinity waters, which exceeds the equatorward alongshore winds. Along the  
 137 southern Australian coast, instead, the zonal shelf edge flow is forced by the austral winter  
 138 westerly wind. Ridgway and Condie (2004) suggested that the west coast pressure gradient  
 139 delivers the Leeuwin Current to the south coast just in time as the (south)westerly winds  
 140 strengthen, thereby maintaining the eastward passage of the current.

141 The changing atmospheric circulation pattern is closely connected to the Subtropical Ridge, a  
 142 belt of high-pressure systems (anticyclones) between ~30°S and ~40°S (e.g., Drosowsky,  
 143 2005), which divides the tropical south-easterly circulation (trade winds) from the mid-latitude  
 144 westerlies. The Subtropical Ridge is shaped by the Indian Ocean Dipole and the Southern  
 145 Annual Mode (which is the zonal mean atmospheric pressure difference between the mid-  
 146 latitudes [-40°C] and Antarctica [-65°S]; Marshall, 2003), and to a lesser degree by ENSO  
 147 (Cai et al., 2011). During austral autumn/winter (austral spring/summer), it moves north  
 148 (south), allowing the westerlies to seasonally strengthen (weaken) rainfall in SE Australia (Cai  
 149 et al., 2011). During El Niño conditions, the Subtropical Ridge is displaced farther equatorward  
 150 than normal, while during La Niña conditions it is shifted poleward (Drosowsky, 2003).

151 Near the eastern edge of the shallow Great Australian Bight shelf, a gravity outflow of warm  
 152 and high-salinity waters related to intensified surface heating during austral summer spreads  
 153 across the shelf and continues to flow eastward as shelf edge South Australian Current  
 154 (Ridgway and Condie, 2004; Fig. 1). Although relying on different forcing mechanisms, the  
 155 South Australian Current is widely regarded as the extension of the Leeuwin Current. In the  
 156 Bass Strait, the Leeuwin Current / South Australian Current-system continues south as high-  
 157 saline and relatively warm Zeehan Current (Ridgway and Condie, 2004; Richardson et al.,  
 158 2018). South of Australia, the Leeuwin Current System meets the northern boundary of the  
 159 eastward flowing Antarctic Circumpolar Current (ACC). Below, the deeper (300-400 m),  
 160 equatorward flow of the Leeuwin Undercurrent is noted (Spooner et al., 2011). During austral

Formatiert: Nicht Hervorheben

Formatiert: Block, Zeilenabstand: 1.5 Zeilen

Formatiert: Nicht Hervorheben

Gelöscht: ¶

Formatiert: Nicht Hervorheben

Formatiert: Nicht Hervorheben

Formatiert: Nicht Durchgestrichen

Formatiert: Nicht Durchgestrichen

Formatiert: Nicht Durchgestrichen

Formatiert: Schriftart: (Standard) Times New Roman

Formatiert: Schriftart: (Standard) Times New Roman

Formatiert: Schriftart: (Standard) Times New Roman

Formatiert: Schriftart: (Standard) Times New Roman

Formatiert: Schriftart: (Standard) Times New Roman

Formatiert: Nicht Durchgestrichen

Formatiert: Schriftart: (Standard) Times New Roman, 12 Pt.

Formatiert: Schriftart: (Standard) Times New Roman, 12 Pt.

Formatiert: Schriftart: (Standard) Times New Roman, 12 Pt.

Formatiert: Schriftart: (Standard) Times New Roman, 12 Pt.

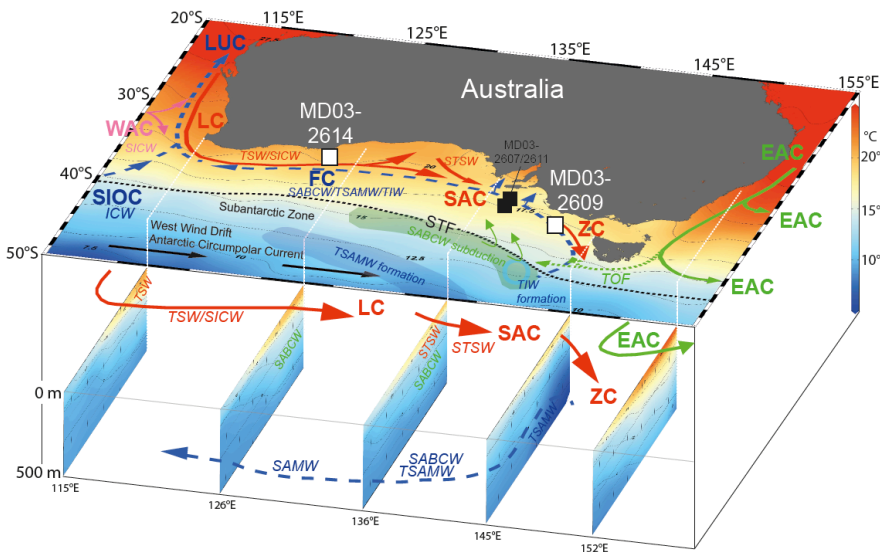
Formatiert: Nicht Hervorheben

Formatiert: Schriftart: (Standard) Times New Roman, 12 Pt.

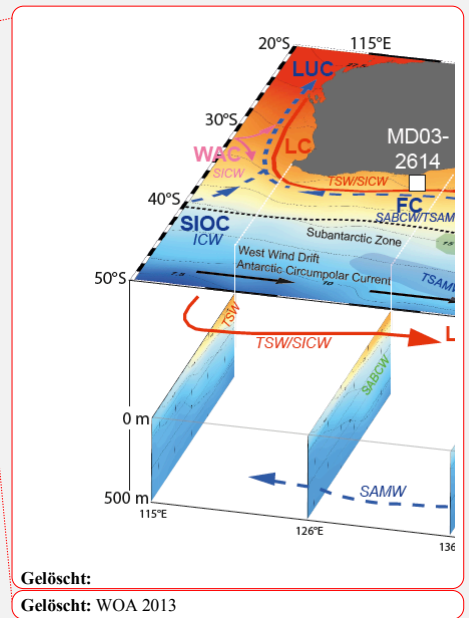
Gelöscht: and develops in the east of the Great Australian Bight

Formatiert: Durchgestrichen

164 summer times, when the Leeuwin Current is weak, the equatorward Capes Current establishes  
 165 at the inner shelf around Cape Leeuwin. Its formation is related to regional upwelling, bringing  
 166 water masses from the Flinders Current and the lower layers of the Leeuwin Current towards  
 167 the upper shelf areas (cf. McClatchie et al., 2006).



168  
 169 **Figure 1.** Top: Regional surface and subsurface circulation pattern off S Australia underlain by the modern annual  
 170 SST pattern (using Ocean Data View v. 5.1.7; Schlitzer, 2019; World Ocean Atlas, [Locarnini et al., 2018](#)).  
 171 Sediment core locations (MD03-2614 and -2609) studied here are marked by white squares. Black squares =  
 172 reference sites. Surface currents in red and green: LC = Leeuwin Current; WAC = West Australian Current; SIOC  
 173 = South Indian Ocean Current; SAC = South Australian Current; ZC = Zeehan Current; EAC = East Australian  
 174 Current; TOF = Tasman Outflow. Subsurface currents in blue: FC = Flinders Current; LUC = Leeuwin  
 175 Undercurrent. Water masses transported by currents: TSW = Tropical Surface Water; ICW - Indian Central Water;  
 176 SICW = South Indian Central Water; STSW = Subtropical Surface Water; SABCW = South Australian Basin  
 177 Central Water; SAMW = Subantarctic Mode Water; TSAMW = Tasmanian Subantarctic Mode Water; TIW =  
 178 Tasmanian Intermediate Water. Sites of SABCW, TIW and TSAMW formation are indicated. STF = Subtropical  
 179 Front (dashed black line). Bottom: N-S-oriented temperature profiles (February) of the upper 500 m (dotted white  
 180 lines); using Ocean Data View v. 5.1.7; Schlitzer, 2019). Currents, water masses and sites of mode and intermediate  
 181 water formation from Richardson et al. (2019).



Gelöscht:

Gelöscht: WOA 2013

184 The westward-directed Flinders Current is a subsurface northern boundary current along the  
185 continental slope of south Australia (Middleton and Cirano, 2002; Cirano and Middleton, 2004)  
186 (Fig. 1). Maximum transport is at ~400-800 m, with velocities of up to 8 cm s<sup>-1</sup> (Middleton and  
187 Bye, 2007). It originates within the Subantarctic Zone and carries Subantarctic Mode Water  
188 (SAMW) and Antarctic Intermediate Water (AAIW) across the STF (McCartney and Donohue,  
189 2007). Southeast of Australia, the Flinders Current is fed and strengthened by the Tasman  
190 Outflow, a remnant of the East Australian Current, which injects Pacific waters into the South  
191 Australian Basin (Rintoul and Sokolov, 2001) and becomes an important component of the  
192 westward flow south of Australia (Speich et al., 2002). The Flinders Current fluctuates in  
193 strength on a seasonal time scale (Richardson et al., 2019), with almost doubled transport (~17  
194 Sv) during austral summer compared to winter (~8 Sv).

195 The Leeuwin Undercurrent, which is beneath the Leeuwin Current at depths of ~250-600 m,  
196 transports ~5 Sv of saline (> 35.8 [psu]), oxygen-rich and nutrient-depleted waters northward  
197 as an extension of the Flinders Current (Fig. 1; Thompson, 1984; Smith et al., 1991; Cirano  
198 and Middleton; 2004). Both currents are associated with SAMW (Pattiaratchi and Woo, 2009).

199

## 200 2.2 Water masses and oceanographic fronts

201 We here address three water masses within the uppermost 600 m along the continental slope  
202 of southern Australia (Fig. 1, 2): Subtropical Surface Water (STSW), South Australian Basin  
203 Central Water (SABCW), and SAMW. The subtropical warm and saline STSW originates  
204 within the surface mixed layer (upper ~200 m) along Australia's southern margin between 34°S  
205 and 38°S as a result of surface heating and enhanced evaporation (James and Bone, 2011) (Fig.  
206 2). STSW constitutes the shallowest water mass along the southern Australian margin and is  
207 defined by temperatures >12°C and salinities >35.1 (Richardson et al., 2018). The dissolved  
208 oxygen concentration is high (225-250 μmol/L), and nutrients are low (Richardson et al.,  
209 2018). The water mass is additionally fed by low salinity Tropical Surface Water (TSW) and  
210 high salinity South Indian Central Water (SICW) contributed by the West Australian Current  
211 and the South Indian Ocean Current (Cresswell and Peterson, 1993). The maximum depth of  
212 the STSW is seasonally dependent. During austral autumn and winter, the Leeuwin Current-  
213 transported STSW is thicker (~300 m in the western and ~200-250 m in the eastern study area;  
214 Richardson et al., 2019) with a rather low vertical temperature gradient in the west (Fig. 2).  
215 When the eastward windstress is strongest and opposing winds cease, it reaches further to the  
216 east and may reach the southern tip of Tasmania due to a strong Zeehan Current adjoining the  
217 Leeuwin Current (Cresswell, 2000; Feng et al., 2003; Ridgway and Condie, 2004; Ridgway,

Gelöscht: ¶

Formatiert: Englisch (USA)

Gelöscht: In this study, we

Formatiert: Englisch (USA)

Gelöscht: transported by the Leeuwin Current

Gelöscht: (~100-300 m)

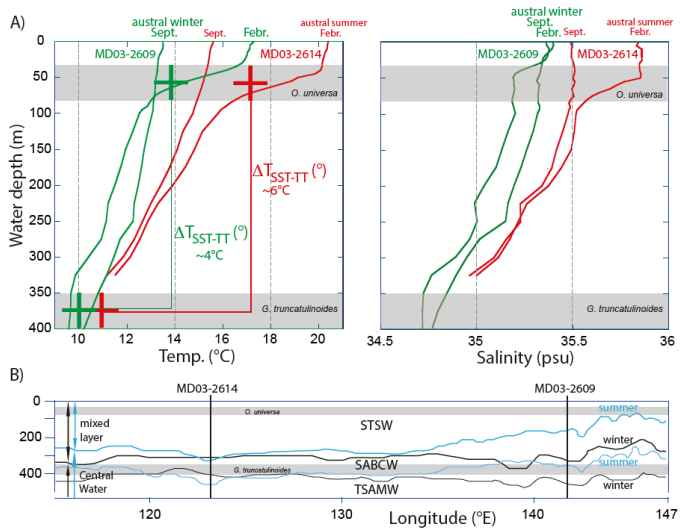
Gelöscht: ,

Gelöscht: being deeper during winter than in summer (Richardson et al., 2018). In winter, the STSW is transported further to the east by the Zeehan Current and may reach the southern tip of Tasmania. During summer, the STSW remains west of ~140°E (Newell, 1961; Vaux and Olsen, 1961; Ridgway, 2007; Richardson et al., 2018).

Formatiert: Durchgestrichen

Formatiert: Durchgestrichen

2007) and causes warming at depth. During austral summer (November to March), the STSW remains west of ~140°E (Newell, 1961; Vaux and Olsen, 1961; Ridgway, 2007; Richardson et al., 2018). It then is at shallower depths (~200-250 m in the west and ~150-50 m in the east; Richardson et al., 2019) (c.f. Fig. 2) with a well-defined shallow thermocline during times of a weak Leeuwin Current, when opposing winds (blowing from the southwest) are strong (Godfrey and Ridgway, 1985; Smith et al., 1991; Feng et al., 2003; 2009).

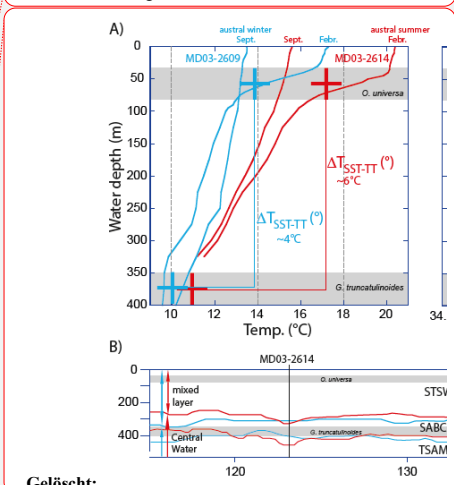


236 **Figure 2. Upper ocean hydrological setting south of Australia:** A) Temperature (left) and salinity (right) distribution in the upper 400 m at the western core 2614 location (red) and at the eastern core 2609 location (green) (c.f. Fig. 1). Only maximum (February; austral summer) and minimum (September; austral winter/spring) temperatures and salinities are indicated. Presumed calcification depths of foraminiferal species analyzed are indicated by gray shadings: *O. universa* at ~30-80 m water depth (Anand et al., 2003; Farmer et al., 2007); *G. truncatulinoides* at ~350-400 m water depth (Cléroux et al., 2008; Anand et al., 2003). Modern average temperatures (crosses) and temperatures gradients between surface and thermocline are indicated for the respective study areas. Data from Ocean Data View v. 5.1.7 (ODV Station labels 12796 and 11161; Schlitzer, 2019; WOA; Locarnini et al., 2018). B) Average summer (blue) and winter (black) boundaries between the surface mixed layer (consisting predominantly of STSW, transported eastward by the Leeuwin Current; LC) and the Central Water (composed of SABCW and TSAMW, transported westward by the Flinders Current; FC), taken from Richardson et al., 2019). Core locations (black vertical lines) and assumed calcification depths of foraminiferal species studied are indicated.

250 The SABCW showing a small range in potential density (26.65-26.8 kg/m<sup>3</sup>) is below the surface mixed layer (Fig. 2 B). SABCW is defined by temperatures and salinities of 10-12°C

Formatiert: Englisch (USA)

Formatiert: Einzug: Links: 1 cm



Gelöscht:

Formatiert: Einzug: Links: 0 cm

Gelöscht: of

Gelöscht: blue

Gelöscht: 50

Gelöscht: 10

Gelöscht: red

Gelöscht: blue

Formatiert: Einzug: Links: 0 cm, Zeilenabstand: 1.5 Zeilen



259 and 34.8-35.1, with a weak dissolved oxygen maximum ( $> 250 \mu\text{mol/L}$ ) (Richardson et al.,  
260 2018). Towards the east, the thickness of the SABCW is  $\sim 200$  m, while it decreases to  $\sim 100$  m  
261 in the west (Richardson et al., 2018). The thinning of SABCW towards the west is likely  
262 attributed to the presence of near-surface subtropical water in the west (STSW), contributed by  
263 the strong eastward flowing Leeuwin Current. SABCW likely forms south of the STF between  
264  $44\text{-}46^\circ\text{S}$  and  $140\text{-}145^\circ\text{E}$  in winter by convective overturning and subduction of the deep mixed  
265 layer (Richardson et al., 2018). The subducted SABCW reaches slope depths of  $\sim 300\text{-}500$  m  
266 at  $142^\circ\text{E}$  and  $\sim 300\text{-}400$  m at  $130^\circ\text{E}$  to  $121^\circ\text{E}$ . It is transported eastwards towards Tasmania  
267 along the STF by zonal flow. The Flinders Current inflow from the south-eastern margin then  
268 carries SABCW north and west, augmented by the Tasman Outflow and equatorward Sverdrup  
269 transport (Schodlok and Tomczak, 1997). Along the southern Australian margin, the boundary  
270 between the top surface of SABCW (as part of the Central Water) and the overlying STSW  
271 defines the interface between the eastward-directed Leeuwin Current System transporting  
272 subtropical waters and the westward flow of the Flinders Current System, which brings  
273 subantarctic waters into the region (SABCW coupled to Tasmanian Subantarctic Mode Water,  
274 (TSAMW) and Tasmanian Intermediate Water (TIW)) (Fig. 2 B; Richardson et al., 2019).  
275 The coldest and densest SAMW of the Indian Ocean forms by air-sea interaction and deep  
276 winter mixing south of Australia between  $40^\circ\text{S}$  and  $50^\circ\text{S}$  (e.g., Wyrтки, 1973; McCartney,  
277 1977; Karstensen and Quadfasel, 2002; Barker, 2004). SAMW is subducted, thereby  
278 ventilating the lower thermocline of the southern hemisphere subtropical gyres (McCartney et  
279 al., 1977; Sprintall and Tomczak, 1993). The high-nutrient SAMW is defined as a layer of  
280 relatively constant density (pycnostad) along the southern Australian continental slope  
281 (Richardson et al., 2019) (Fig. 2). The pycnostad is clearly defined in the east, notably in  
282 summer, but diminishes towards the west (Richardson et al., 2018). The SAMW in this region  
283 is located at  $\sim 400\text{-}650$  m, with temperatures of  $\sim 8\text{-}10^\circ\text{C}$  and salinities of  $34.6\text{-}34.8$  (Woo and  
284 Pattiaratchi, 2008; Pattiaratchi and Woo, 2009), being therefore fresher than the overlying  
285 SABCW and STSW. The top SAMW depth varies seasonally from west to east, as it shallows  
286 to  $\sim 350$  m during summer and deepens to  $\sim 500$  m in winter (Rintoul and Bullister, 1999;  
287 Rintoul and England, 2002). In particular, the Tasmanian SAMW (TSAMW) is formed in a  
288 clearly-defined area at  $140\text{-}145^\circ\text{E}$  and  $45\text{-}50^\circ\text{S}$  (Barker, 2004).

Gelöscht: Tomczak et al., 2004;

Gelöscht: along Australia's southern margin

Formatiert: Schriftart: (Standard) Times New Roman, 12 Pt.

Formatiert: Schriftart: (Standard) Times New Roman, 12 Pt.

Formatiert: Schriftart: (Standard) Times New Roman, 12 Pt.,  
Schriftfarbe: Text 1

Gelöscht: ¶

Formatiert: Englisch (Vereinigtes Königreich)

Gelöscht: Thompson and Edwards, 1981;

### 3 Material and methods

In the framework of the International Marine Global Change Study (IMAGES), Calypso giant piston cores MD03-2614G (termed western core 2614; 34°43.73'S 123°25.70'E; 1070 m water depth; 8.4 m core recovery) and MD03-2609 (termed eastern core 2609; 39°24.17'S 141°58.12'E; 2056 m water depth; 24.18 m core recovery) were recovered south of Australia ~100 km south of Cape Pasley and ~250 km northwest of King Island, respectively, during the AUSCAN-campaign with RV Marion Dufresne (MD131) in 2003 (Michel et al., 2003). The chronostratigraphy of core 2614 was published by van der Kaars et al. (2017) and is repeated here, as core 2614 served as reference for the establishment of the core 2609 chronostratigraphy. The age model of core 2609 was established in the framework of this study.

#### 3.1 Foraminiferal species selection

The chronostratigraphy and the paleo-reconstructions were established from isotope-geochemical parameters measured within the calcitic tests of the subtropical shallow-dwelling planktonic foraminiferal species *Orbulina universa* (d'Orbigny, 1839) (Bé and Tolderlund, 1971) and *Globigerinoides ruber*, and the deep-dwelling species *Globorotalia truncatulinoides* (d'Orbigny, 1839) (Lohmann and Schweitzer, 1990). As *O. universa* preferentially lives in the surface mixed layer and the shallow thermocline, we assigned a calcification depth of ~30-80 m (c.f. Supplement). The surface-dwelling *G. ruber* is the most representative species of warm and annual surface (<50 m) ocean conditions (Anand et al., 2003; Tedesco and Thunell, 2003). For *G. truncatulinoides* we assume a calcification depth of ~350-400 m (c.f. Supplement), which corresponds to the base of the summer thermocline (Fig. 2; Locarnini et al., 2018). Most of the *G. truncatulinoides* specimens in our samples were encrusted (c.f. Supplement).

On average, 10-12 and 30-40 visually clean specimens of *O. universa*/*G. ruber* and *G. truncatulinoides*, respectively, were hand-picked under a binocular microscope from the narrow >315-400 µm size fraction in order to avoid size-related effects on either Mg/Ca or stable isotopes. *G. truncatulinoides* has no size effect on Mg/Ca (Friedrich et al., 2012), and also δ<sup>13</sup>C and δ<sup>18</sup>O show no systematic changes in the selected size fraction (Elderfield et al., 2002). The foraminiferal tests were gently crushed between cleaned glass plates to open the test chambers for efficient cleaning. Over-crushing was avoided to prevent an excessive sample loss during cleaning procedure. The fragments of the tests were homogenized and split into subsamples for stable isotope (one third) and trace metal analyses (two thirds) and transferred into cleaned vials. Chamber fillings (e.g. pyrite, clay) and other contaminant phases (e.g.

Gelöscht: 

Gelöscht: ; <https://doi.org/10.17600/3200090>

Formatiert: Englisch (USA)

Gelöscht: served

Gelöscht: 

332 conglomerates of metal oxides) were thoroughly removed before chemical cleaning and  
333 analyses.

334

### 335 3.2 Chronostratigraphy

#### 336 3.2.1 Western core 2614

337 The age model of the western core 2614 (Cape Pasley) is based on the linear interpolation  
338 between 11 Accelerator Mass Spectrometry (AMS) radiocarbon ( $^{14}\text{C}$ ) dates (van der Kaars et  
339 al., 2017; Fig. 3). The well-constrained age model indicates that core 2614 provides a  
340 continuous record over the last ~60 kyr (Fig. 3). In addition to the  $\delta^{18}\text{O}$  record of *G. ruber* (van  
341 der Kaars et al., 2017), we produced  $\delta^{18}\text{O}$  records of *O. universa*, and *G. truncatulinoides*.  
342 Interesting to note is that a significant and rapid transition to heavy  $\delta^{18}\text{O}$ -values in (only)  
343 *O. universa* from core 2614 is synchronous to a major atmospheric methane ( $\text{CH}_4$ ) anomaly  
344 detected in the Antarctic EDML ice core record (EPICA [Community Members, 2006](#)), further  
345 supporting the validity of the initial core 2614 age model (Fig. 3).

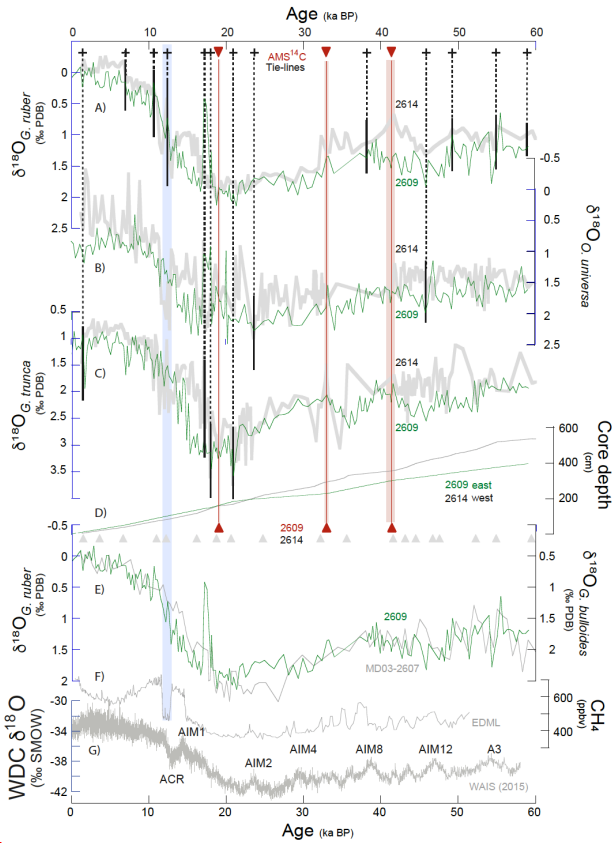
#### 346 3.2.2 Eastern core 2609

347 The age model of the eastern core 2609 is based on the tuning of multiple planktonic  $\delta^{18}\text{O}$   
348 records to those of the well-dated reference core 2614 (van der Kaars et al., 2017) using the  
349 software [AnalySeries](#) (Paillard et al., 1996). For both cores, we produced  $\delta^{18}\text{O}$  records on  
350 *G. ruber*, *O. universa*, and *G. truncatulinoides*, all of which have either different spatial  
351 resolutions or even gaps (due to missing species), which are covered by the one or other species  
352 (Fig. 3; [www.pangaea.de](#)). In a first step, we graphically tuned the  $\delta^{18}\text{O}_{G.ruber}$  record of the  
353 eastern core 2609 to that of the western core 2614 (van der Kaars et al., 2017), thereby  
354 generating 7 tuning tie-lines (Fig. 3A). This correlation was improved in a second step by tying  
355 the  $\delta^{18}\text{O}_{O.universa}$  records of both cores to each other using 2 additional tie-lines (Fig. 3B). In a  
356 last step, we correlated the  $\delta^{18}\text{O}_{G.truncatulinoides}$  records of both cores fixing them with 4 additional  
357 tie-lines (Fig. 3C). Overall, we achieved an optimized fit of the core 2609  $\delta^{18}\text{O}$  records to the  
358 core 2614G reference record (linear correlation = 0.86, averaged from all  $\delta^{18}\text{O}$  records), by  
359 applying 13 tuning tie-lines. The core 2609 age model is supported by 3 radiocarbon (AMS $^{14}\text{C}$ )  
360 datings (Fig. 3; c.f. Supplement), for which a mix of shallow-dwelling planktonic foraminiferal  
361 tests was selected. The measurements were accomplished by Beta Analytic, Inc., Florida, USA  
362 ([info@betalabservices.com](#)). All AMS $^{14}\text{C}$  dates were calibrated applying the [BetaCal4.20](#)  
363 software, using the [MARINE20](#) database. The marine calibration incorporates a time-

Formatiert: Nicht Hervorheben

Formatiert: Nicht Hervorheben

dependent global ocean reservoir correction of  $\sim 550$   $^{14}\text{C}$  yr at 200 cal BP to  $\sim 410$   $^{14}\text{C}$  at 0 cal BP (Heaton et al., 2020).



**Figure 3. Chronostratigraphy of the eastern core 2609 (King Island).** The age model is based on the tuning of various planktonic  $\delta^{18}\text{O}$  records (A) *G. ruber*, (B) *O. universa*, and (C) *G. truncatulinoides*; all in green lines) to similar records (thick gray lines) of the well-dated reference core 2614 (van der Kaars et al., 2017). In total, 13 tuning tie-lines (stippled lines; solid for the species-specific correlations) were set in order to achieve an optimal fit of the core 2609 and core 2614  $\delta^{18}\text{O}$  records (mean  $r^2 = 0.86$ ). The age model for core 2609 is supported by three AMS $^{14}\text{C}$ -datings (red triangles and red lines; red shadings mark the 1-sigma-errors). D) Sedimentations rates (green = core 2609; gray = core 2614). Gray triangles = age control points established for core 2614 by van der Kaars et al. (2017). E) The age model for core 2609 is supported by the match of its  $\delta^{18}\text{O}_{G. ruber}$  record (green) to the adjacent core MD03-2607  $\delta^{18}\text{O}_{G. ruber}$  record (gray; Lopes dos Santos et al., 2013). F) Atmospheric  $\text{CH}_4$  record from EPICA ice core (EPICA Community Members, 2006). Blue shading denotes prominent atmospheric  $\text{CH}_4$  anomaly synchronous to a distinct reflection in the core 2614  $\delta^{18}\text{O}_{O. universa}$  record. G) West Antarctic Ice Sheet Divide Core  $\delta^{18}\text{O}$  record (WAIS Divide Project Members, 2015) as reference for the southern hemisphere climate signal.

Gelöscht:

Formatiert

Formatiert: Einzug: Links: 1 cm

Gelöscht:

Formatiert: Beschriftung

Gelöscht: thin

Gelöscht: 14

Formatiert: Hochgestellt

Formatiert: Nicht Hervorheben

Formatiert: Nicht Hervorheben

Formatiert: Nicht Hervorheben

384 To account for local effects, the difference  $\Delta R$  in reservoir age of the study area south of  
385 Australia and the model ocean was additionally considered. The Calib7.1 marine reservoir  
386 correction database provides a  $\Delta R$ -value of  $-84 \pm 65$  years (Stuiver and Reimer, 1993).  
387 The resulting age-depth relationship of core 2609 is rather smooth, with a subtle change in  
388 sedimentation rates at 200-230 cm core depth. The age model implies that the uppermost ~4 m  
389 of core 2609 capture the last 60 kyrs of environmental change (Fig. 3). Our stratigraphical  
390 approach for core 2609 is convincingly supported by the match of the  $\delta^{18}\text{O}_{G.ruber}$  record to the  
391  $\delta^{18}\text{O}_{G.bulloides}$  record of adjacent core MD03-2607 from Murray Canyon  $36^{\circ}57.54'S$   
392  $137^{\circ}24.39'E$ , 865 m water depth (Lopes dos Santos et al., 2013; Fig. 3E). The sedimentation  
393 rates in both cores 2609 and 2614 vary from 5-20 cm/kyr over the last 60 kyrs (Fig. 3D), with  
394 persistently higher rates and higher-amplitude changes in the western core 2614 for most of  
395 the time. Sampling of cores 2614 and 2609 was accomplished every 2 cm, providing a temporal  
396 resolution of on average ~230 years for core 2614, and ~290 years for core 2609.

Formatiert: Nicht Hervorheben

Gelöscht: ¶

3.2.2 – Eastern core 2609 ¶

The age model of the eastern core 2609 is based on the tuning of multiple planktonic  $\delta^{18}\text{O}$  records to those of the well-dated reference core 2614 (van der Kaars et al., 2017) using the software AnalySeries. For both cores, we produced  $\delta^{18}\text{O}$  records on *G. ruber*, *O. universa*, and *G. truncatulinoides*, all of which have either different spatial resolutions or even gaps (due to missing species), which are covered by the one or other species (Fig. 3; www.pangaea.de). In a first step, we graphically tuned the  $\delta^{18}\text{O}_{G.ruber}$  record of the eastern core 2609 to that of the western core 2614 (van der Kaars et al., 2017), thereby generating 8 tuning tie-lines (Fig. 3A). This correlation was improved in a second step by tying the  $\delta^{18}\text{O}_{O.universa}$  records of both cores to each other using 2 additional tie-lines (Fig. 3B). In a last step, we correlated the  $\delta^{18}\text{O}_{G.truncatulinoides}$  records of both cores fixing them with 4 additional tie-lines (Fig. 3C). Overall, we achieved an optimized fit of the core 2609  $\delta^{18}\text{O}$  records to the core 2614G reference record (linear correlation = 0.86, averaged from all  $\delta^{18}\text{O}$  records), by applying 14 tuning tie-lines.

Gelöscht: ¶

Formatiert: Englisch (USA)

### 3.3 Foraminiferal Mg/Ca-paleothermometry

399 Prior to elemental analysis, the foraminiferal samples were cleaned following the protocols of  
400 Boyle and Keigwin (1985/86) and Boyle and Rosenthal (1996). These include oxidative and  
401 reductive (with hydrazine) cleaning steps. Elemental analyses were accomplished with a  
402 VARIAN 720-ES Axial ICP-OES, a simultaneous, axial-viewing inductively coupled plasma  
403 optical emission spectrometer coupled to a VARIAN SP3 sample preparation system at  
404 GEOMAR. The analytical quality control included regular analysis of standards and blanks,  
405 with results normalized to the ECRM 752-1 standard (3.761 mmol/mol Mg/Ca; Greaves et al.,  
406 2008) and drift correction. The external reproducibility for the ECRM standard was  
407  $\pm 0.01$  mmol/mol for Mg/Ca ( $2\sigma$  standard deviation). Replicate measurements reveal a  
408 reproducibility of  $\pm 0.28$  mmol/mol for *G. truncatulinoides* ( $2\sigma$  standard deviation).

Formatiert: Englisch (Vereinigtes Königreich)

409 *G. truncatulinoides* from core 2614 were only oxidatively cleaned and analyzed on a  
410 simultaneous, radially viewing ICP-OES (Ciros CCD SOP, Spectro A.I., Univ. Kiel). A cooled  
411 cyclonic spray-chamber in combination with a microconcentric nebulizer (200  $\mu\text{L}/\text{min}$  sample  
412 uptake) was optimized for best analytical precision and minimized uptake of sample solution.  
413 Sample introduction was performed via an autosampler (Spectra A.I.). Matrix effects caused  
414 by varying concentrations of Ca were cautiously checked and found to be insignificant. Drift  
415 of the machine during analytical sessions was negligible ( $\sim 0.5\%$ , as determined by analysis of  
416 an internal consistency standard after every 5 samples) (c.f. Nürnberg et al., 2008). To account  
417 for the different cleaning techniques prior to Mg/Ca analyses, the initial foraminiferal Mg/Ca

440 data of *G. truncatulinoides* from core 2614 were corrected by 10% according to Barker et al.  
 441 (2003). See further details and information on contamination and dissolution issues in the  
 442 Supplement. Also, the impact of pH on foraminiferal Mg/Ca is discussed here in detail. In the  
 443 following, species-specific Mg/Ca ratios are termed Mg/Ca<sub>ruber</sub>, Mg/Ca<sub>universa</sub> and  
 444 Mg/Ca<sub>truncatulinoides</sub>.  
 445 Mg/Ca<sub>universa</sub> values were converted into sea surface temperatures (SST<sub>Mg/Ca</sub>) using the species-  
 446 specific paleotemperature calibration of Hathorne et al. (2003):  $Mg/Ca = 0.95 * \exp^{(0.086 * T)}$ .  
 447 This calibration function is based on a North Atlantic core-top calibration study and provides  
 448 reliable SST<sub>Mg/Ca</sub> estimates (Supplement Fig. S8, S9) with an error (standard deviation  $2\sigma$ ) of  
 449  $\pm 0.2$  units of  $\ln(Mg/Ca)$ , which is equivalent to  $\pm 1.1^\circ C$ . The calibration provides a mean  
 450 Holocene (<10 ka BP) SST<sub>Mg/Ca</sub> estimate of  $\sim 20.5^\circ C$  in the eastern core 2609, which exceeds  
 451 the modern annual SST conditions by  $\sim 3-5^\circ C$  (c.f. Fig. 4 C). In the western core 2614, the  
 452 SST<sub>Mg/Ca</sub> estimate of  $\sim 19.6^\circ C$  (Fig. 4 C) is in broad agreement with the modern austral summer  
 453 SST range at 30-80 m water depth in the upper thermocline/mixed layer (see discussion further  
 454 below; c.f. Supplement Fig. S8, S9). In the case of *G. ruber*, we refrained from converting the  
 455 Mg/Ca<sub>ruber</sub> ratios into temperatures due to reasons discussed in the Supplement.  
 456 The Mg/Ca<sub>truncatulinoides</sub> values were converted into thermocline temperatures (TT<sub>Mg/Ca</sub>) using  
 457 the deep-dweller calibration equation of Regenberg et al. (2009):  $Mg/Ca = 0.84 * \exp^{(0.083 * T)}$ .  
 458 This calibration provides core-top TT<sub>Mg/Ca</sub> estimates (on average  $\sim 10-12^\circ C$ ) (Fig. 5), which  
 459 agree with the modern annual thermocline temperatures ( $\sim 9-12^\circ C$ ) at the preferred depth of  
 460 *G. truncatulinoides* ( $\sim 9-12^\circ C$ ) (Fig. 2). The error (standard deviation  $2\sigma$ ) of the calibration is  
 461  $\pm 1.0^\circ C$ . The TT<sub>Mg/Ca</sub> estimates from other existing paleotemperature calibrations specific to  
 462 *G. truncatulinoides* are discussed in the Supplement (Fig. S8, S9).  
 463 For the vertical gradient calculation, we used evenly sampled (200 yrs apart) and linearly  
 464 interpolated datasets using the software AnalySeries (Paillard et al., 1996), because  
 465 foraminiferal specimens were partly too rare not allowing for combined isotope and trace  
 466 element analyses throughout the entire records, or because data were missing in one or the  
 467 other record. In particular for core location 2614, negative vertical  $\Delta T_{SST-TT}$  values were  
 468 interpreted the way that thermocline temperature came close or even became similar to sea  
 469 surface temperatures (c.f. Fig. 6 A). Even though the calibrations were carefully chosen, there  
 470 remains considerable uncertainty in the absolute temperature values over time. First,  
 471 calibrations should ideally be region-specific to allow for best reconstructions. None of the  
 472 calibrations applied, however, were developed for the region south of Australia. Second, the  
 473 range in downcore temperature amplitudes highly depends on the applied calibration. The less

Formatiert: Schriftart: (Standard) Times New Roman, 12 Pt.,  
Nicht Hervorheben

Formatiert: Schriftart: (Standard) Times New Roman, 12 Pt.,  
Nicht Hervorheben

Formatiert: Schriftart: (Standard) Times New Roman, 12 Pt.

Gelöscht: core-top

Gelöscht: s

Formatiert: Englisch (USA)

Formatiert: Schriftart: (Standard) Times New Roman, 12 Pt.

Formatiert: Schriftart: (Standard) Times New Roman, 12 Pt.

Formatiert: Englisch (USA)

Formatiert: Schriftart: (Standard) Times New Roman, 12 Pt.

Gelöscht: ,

Gelöscht: and

Gelöscht: in the western core 2614)

Gelöscht: ), which are

Gelöscht: s

Gelöscht: °

Formatiert: Nicht Hochgestellt/ Tiefgestellt

Gelöscht: 2.0.8

Gelöscht: 6B

484 exponential the calibration, the larger the downcore amplitude variations. These  
485 imponderabilities cannot be solved in this context.

### 486 **3.4 Stable oxygen isotopes in foraminiferal calcite**

488 Measurements of stable oxygen ( $\delta^{18}\text{O}$ ) and carbon isotopes ( $\delta^{13}\text{C}$ ) on foraminiferal test  
489 fragments were performed at GEOMAR on a Thermo Scientific MAT 253 mass spectrometer  
490 with an automated Kiel IV Carbonate Preparation Device. The isotope values were calibrated  
491 versus the NBS 19 (National Bureau of Standards) carbonate standard and the in-house  
492 carbonate standard 'Standard Bremen' (Solnhofen limestone). Isotope values in  $\delta$ -notation are  
493 reported in permil (‰) relative to the VPDB (Vienna Peedee Belemnite) scale. The long-term  
494 analytical precision is  $\pm 0.06$  ‰ for  $\delta^{18}\text{O}$  and  $\pm 0.05$  ‰ for  $\delta^{13}\text{C}$  (1-sigma value). Replicate  
495 measurements were not done, due to the low numbers of specimens found. A previous study  
496 on the same device revealed a  $\delta^{18}\text{O}_{\text{VPDB}}$  reproducibility of  $\pm 0.14$  ‰ from 148 replicate  
497 measurements of *G. truncatulinoides* (Nürnberg et al., 2021). In the following, species-specific  
498  $\delta^{18}\text{O}$  values are termed  $\delta^{18}\text{O}_{\text{ruber}}$ ,  $\delta^{18}\text{O}_{\text{universa}}$  and  $\delta^{18}\text{O}_{\text{trunca}}$ .

### 500 **3.5 Oxygen isotope signature of seawater approximating paleo salinity ( $\delta^{18}\text{O}_{\text{sw}}$ )**

501 Commonly, modern  $\delta^{18}\text{O}_{\text{sw}}$  and salinity are linearly correlated in the upper ocean.  
502 Unfortunately, the sparse database of modern  $\delta^{18}\text{O}_{\text{sw}}$  south of Australia does not allow to  
503 accurately describe the relationship (c.f. Schmidt et al., 1999). Past local salinity variations at  
504 sea surface and thermocline depths were approximated from  $\delta^{18}\text{O}_{\text{sw}}$  derived from combined  
505  $\delta^{18}\text{O}$  and SST<sub>Mg/Ca</sub> respective TT<sub>Mg/Ca</sub> measured on the surface and thermocline dwelling  
506 foraminiferal species (e.g., Nürnberg et al., 2008; 2015; 2021). First, the temperature effect  
507 was removed from the initial foraminiferal  $\delta^{18}\text{O}$  by using the temperature versus  $\delta^{18}\text{O}_{\text{calcite}}$   
508 equation of Bemis et al. (1998) for planktonic foraminifera:  $\delta^{18}\text{O}_{\text{sw}} = 0.27 + ((T -$   
509  $16.5 + 4.8 * \delta^{18}\text{O}_{\text{foram}}) / 4.8)$ . By applying the correction of 0.27 ‰ (Hut, 1987), we converted  
510 from calcite on the VPDB scale to water on the Vienna Standard Mean Ocean Water  
511 (VSMOW) scale. Second, we calculated the regional ice-volume-corrected  $\delta^{18}\text{O}_{\text{sw}}$  record  
512 ( $\delta^{18}\text{O}_{\text{sw-ivc}}$ ) by accounting for changes in global  $\delta^{18}\text{O}_{\text{sw}}$ , which were due to continental ice  
513 volume variability. Here, we applied the Grant et al. (2012) relative sea-level reconstruction to  
514 approximate variations in the global ice volume, because it provides a high temporal resolution  
515 during MIS 3 and times of D/O variability (Fig. 4 A).

516 The propagated  $2\sigma$ -error in  $\delta^{18}\text{O}_{\text{sw-ivc}}$  is  $\pm 1.16$  ‰ for *G. truncatulinoides* (c.f. Reissig et al.,  
517 2019) and hence, is larger than for shallow-dwellers ( $\pm 0.4$  ‰ for *G. ruber*; e.g., Bahr et al.,

Gelöscht: ¶

Formatiert: Englisch (USA)

Formatiert: Schriftart: Fett, Englisch (USA)

Formatiert: Standard

Formatiert: Schriftart: (Standard) Times New Roman, 12 Pt.,  
Schriftfarbe: Text 1

Formatiert: Schriftart: (Standard) Times New Roman, 12 Pt.,  
Schriftfarbe: Text 1

Formatiert: Schriftart: (Standard) Times New Roman, 12 Pt.,  
Schriftfarbe: Text 1

Formatiert: Schriftfarbe: Text 1

Gelöscht: e

Gelöscht: g

Gelöscht: free

Gelöscht: ivf

Gelöscht: ivf

524 2013; Schmidt and Lynch-Stieglitz, 2011). The overall Holocene (<10.5 ka BP)  $\delta^{18}\text{O}_{\text{sw-ivc}}$   
525 amplitude of  $\sim 1$  ‰ calculated for *O. universa* and *G. truncatulinoides* corresponds to the  
526 modern surface  $\delta^{18}\text{O}_{\text{sw}}$  variability of  $\sim 0.5$  to  $0.5$  ‰ for close-to-coast regions south of  
527 Australia (Schmidt et al., 1999). The calculated **late** Holocene (<5 ka BP) surface  $\delta^{18}\text{O}_{\text{sw-ivc}}$   
528 (*O. universa*) values of 1.2-2 ‰, however, are heavier than the  $\delta^{18}\text{O}_{\text{sw}}$  values reported by  
529 Richardson et al. (2019) for surface waters (STSW >0.05 ‰). Also, the calculated **late**  
530 Holocene (<5 ka BP) subsurface  $\delta^{18}\text{O}_{\text{sw-ivc}}$  (*G. truncatulinoides*) values of 0.2-0.3 ‰ appear  
531 heavier than the reported  $\delta^{18}\text{O}_{\text{sw}}$  value for TSAMW (-0.1 to -0.25 ‰) (Richardson et al., 2019).  
532 In spite of the potential errors in our  $\delta^{18}\text{O}_{\text{sw-ivc}}$  calculations, which are related to i) the large  
533 ecological and hydrographical variability and ii) the comparatively large uncertainty of the  
534 Mg/Ca-temperature calibrations applied, we note that the relative difference between  
535 isotopically heavy STSW and the light TSAMW is well reflected in the calculated sea surface  
536 and thermocline  $\delta^{18}\text{O}_{\text{sw-ivc}}$  values. The  $\delta^{18}\text{O}_{\text{sw-ivc}}$  values were not converted into salinity units,  
537 as it is not warranted that the modern linear relationship between  $\delta^{18}\text{O}_{\text{sw}}$  and salinity held  
538 through time due to changes in the ocean circulation, and freshwater budget (e.g. Caley and  
539 Roche, 2015). We, therefore, interpret the downcore  $\delta^{18}\text{O}_{\text{sw-ivc}}$  records as relative variations in  
540 salinity.

Gelöscht: ivf

Gelöscht: -

Gelöscht: ; c.f. Figs. 2, 4

Gelöscht: mean

Gelöscht: ivf

Gelöscht: mean

Gelöscht: ivf

Gelöscht: ivf

Gelöscht: ivf

Gelöscht: ivf

Gelöscht: o

Gelöscht: ivf

## 542 4 Results and discussion

### 543 4.1 Sea surface temperature and salinity development over the last 60 kyrs

544 All raw analytical data of cores 2416 and 2409 versus core depth are presented in the  
545 Supplement (Fig. S6, S7). Over the last 60 kyrs, the SST<sub>Mg/Ca</sub> development in the western and  
546 eastern study areas differ substantially. In the western area south of Cape Pasley (core 2614),  
547 **the** MIS 3 (~57-29 ka BP; Lisiecki and Raymo, 2005) is characterized by long-term sea surface  
548 warming by on average  $\sim 4^\circ\text{C}$  from  $\sim 17^\circ\text{C}$  to  $21^\circ\text{C}$  until  $\sim 37$  ka BP (**Fig. 4 C**). This warming  
549 trend is underlain by large-amplitude variations in SST<sub>Mg/Ca</sub> of up to  $4$ - $5^\circ\text{C}$ , ranging between  
550  $\sim 15^\circ\text{C}$  and  $22^\circ\text{C}$ . The sea surface warming pulses are commonly accompanied by changes to  
551 more saline conditions (high  $\delta^{18}\text{O}_{\text{sw-ivc}}$ -values) (Fig. 4 **D**). Most of the short-term changes to  
552 warm and saline sea surface conditions appear at the Antarctic Warming Events 3 and Antarctic  
553 Isotope Maxima (AIM) 12, and 8, and during northern hemisphere cool periods. These glacial  
554 MIS 3 warming pulses compare to and even exceed the modern SST conditions. After  $\sim 37$  ka,  
555 the SST<sub>Mg/Ca</sub> decline continuously, accompanied by short-term and high-amplitude warming  
556 events rather similar to those events observed during the early MIS3.

Gelöscht: (Fig. 4)



570 The subsequent MIS 2 (~29-14 ka BP; Lisiecki and Raymo, 2005) shows rather low SST<sub>Mg/Ca</sub>  
571 of ~14-17°C and fresh conditions specifically at the beginning of MIS 2. While *O. universa*  
572 specimens are missing during the remaining MIS2, the highly variable Mg/Ca/*G.ruber* data during  
573 MIS 2 imply similarly variable SST<sub>Mg/Ca</sub>-conditions as during MIS 3 (see Supplement Fig. S8).  
574 During the last deglaciation (~18-12 ka BP), the SST<sub>Mg/Ca</sub> gradually increase from ~15°C to  
575 20°C, with intermittent prominent high-amplitude SST<sub>Mg/Ca</sub> variations and maxima of up to  
576 ~22°C. Similarly, salinity conditions vary considerably ( $\delta^{18}\text{O}_{\text{sw-ivc}} = 1.5 \pm 0.5\text{‰}$ ), with  $\delta^{18}\text{O}_{\text{sw-ivc}}$   
577 values mostly exceeding the modern values (>0.05 ‰; Richardson et al., 2019) and pointing  
578 to rather saline conditions during times of sea surface warming. The high-amplitude SST<sub>Mg/Ca</sub>  
579 variations of ~4°C during the Holocene (<10 ka BP) are close to the modern austral summer  
580 SST conditions, but in particular during the late Holocene exhibit a slight cooling and  
581 freshening trend.

582 In the eastern study area (core 2609) northwest of King Island, the SST<sub>Mg/Ca</sub> range between ~16  
583 and ~20°C during MIS 3 (Fig. 4 C). This is at the upper limit of the modern SST range in this  
584 area, which is overall cooler than the western study area. Only temporally, SST<sub>Mg/Ca</sub> comes close  
585 to the core 2614 SST conditions. SST<sub>Mg/Ca</sub> amplitudes are approximately half the amplitude  
586 observed in the western core 2614. The  $\delta^{18}\text{O}_{\text{sw-ivc}}$  variations are rather comparable to those of  
587 core 2614, pointing to commonly more saline sea surface conditions than today (Fig. 4 D).  
588 Notably, the prominent AIM-related sea surface warming pulses observed in the western core  
589 2614 and the synchronous changes to saline conditions are not seen in core 2609.

590 During the **Last Glacial Maximum (LGM)**, between ~24 ka BP and 18 ka BP, the SST<sub>Mg/Ca</sub>  
591 decline to on average ~11-16°C, clearly cooler by ~2°C than modern austral winter conditions,  
592 and temporally reach values of even <12°C. The  $\delta^{18}\text{O}_{\text{sw-ivc}}$  values of 0.5-1.5 ‰ gradually  
593 approach the modern values, pointing to fresher conditions when sea surface is cooling. During  
594 the deglaciation, the core 2609 SST<sub>Mg/Ca</sub> increase gradually by >5°C, with increasingly saline  
595 sea surface conditions. Conditions became relatively similar in both the eastern and western  
596 study areas, although remaining more variable in the west (Fig. 4 C).

597 The Holocene SST<sub>Mg/Ca</sub> in core 2609 increase to ~19-22°C, seemingly warmer and more saline  
598 ( $\delta^{18}\text{O}_{\text{sw-ivc}} = 1.6-2.4\text{‰}$ ) than modern austral summer conditions and those conditions at the  
599 western site 2614. This disparity will be discussed further below. We note, however, that the  
600 youngest samples in both cores provide rather similar SST<sub>Mg/Ca</sub> and salinity conditions when  
601 relying on the *G. ruber* proxy data (c.f. Supplement Fig. S9: SST<sub>Mg/Ca</sub> in both cores is 16-18°C,  
602 which fairly reflects modern conditions at depths <50 m). We also note that the youngest  
603 *O. universa*-derived SST<sub>Mg/Ca</sub> estimate from core 2609 matches the SST<sub>LDI</sub> estimate of ~22°C

Gelöscht: °

Formatiert: Nicht Hochgestellt/ Tiefgestellt

Gelöscht:

Gelöscht: (

Gelöscht: - after HS2 -

Formatiert: Nicht Hochgestellt/ Tiefgestellt

Gelöscht:

Gelöscht:

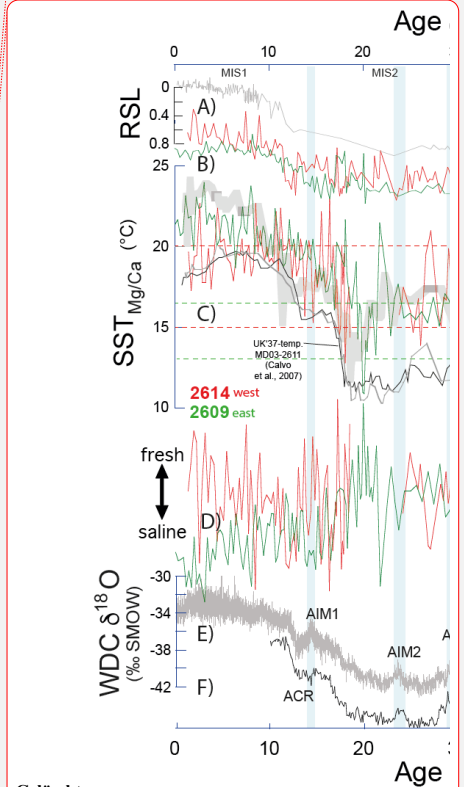
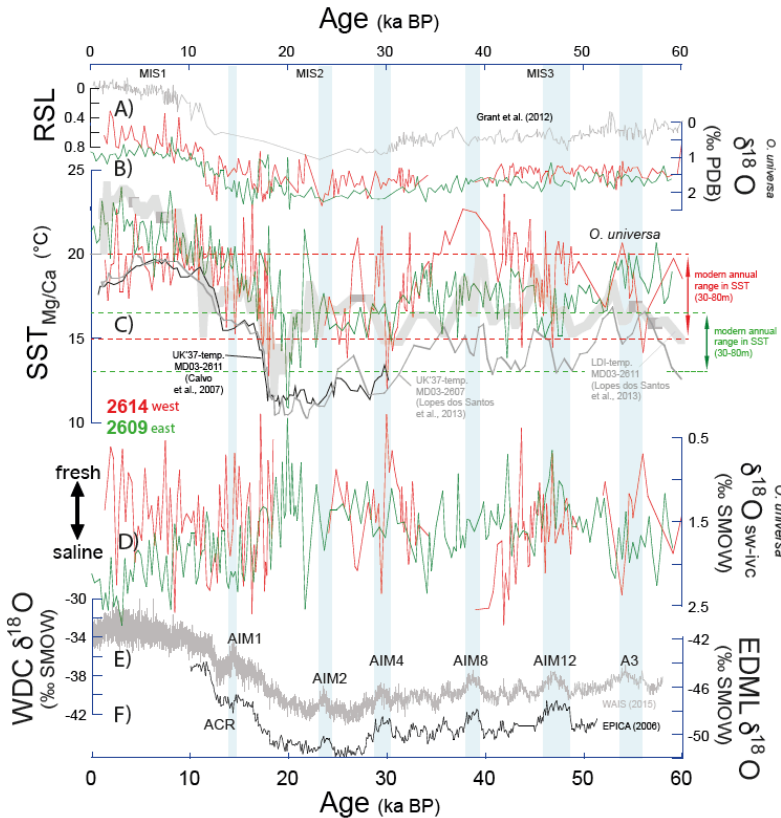
610 from nearby core MD03-2607 (Lopes dos Santos et al., 2013) (Fig. 4 C). The SST<sub>LDI</sub> estimates  
 611 are based on long-chain diols, and LDI-inferred temperatures supposedly reflect SSTs of the  
 612 warmest month (Lopes dos Santos et al., 2013).

Gelöscht: ; close to the Murray Canyon; 36°57.64'S  
 137°24.39'E

[1] nach unten verschoben: We hence hypothesize that the *O. universa* SST<sub>Mg/Ca</sub> signal is seasonally biased towards the austral summer season. We note also that the entire core 2609 SST<sub>Mg/Ca</sub> record matches the SST<sub>LDI</sub> record from nearby core MD03-2607 reasonably well, with similar absolute temperature estimates (~11-24°C) and in particular, similar deglacial amplitudes of up to 7°C (Fig. 4 C). Both, the SST<sub>LDI</sub> and SST<sub>Mg/Ca</sub> estimates are warmer by 4°C than the alkenone-based SST<sub>UK<sup>37</sup></sub> estimate from cores MD03-2607

Gelöscht: The core 2614 SST<sub>Mg/Ca</sub> record broadly follows the Clement et al. (1999) modelled El Niño-Southern Oscillation (ENSO) power (c.f. Tudhope et al., 2001) (Fig. 6), relating the enhanced SST conditions at core 2614 to weak ENSO.. [1]

Formatiert: Durchgestrichen



613  
 614 **Figure 4. Hydrographic development at sea surface over the last 60 kyr.** Colored curves = this study, gray  
 615 and black curves = reference records. A) Relative sea level curve of Grant et al. (2012), in ‰. B) Sea surface  
 616  $\delta^{18}\text{O}_{O.universa}$  records at the western (red; core 2614) and the eastern (green; core 2609) core locations. C) SST<sub>Mg/Ca</sub>  
 617 records derived from *O. universa* (red: core 2614; green: core 2609). The long-chain diol-based SST<sub>LDI</sub> (thick  
 618 gray) and alkenone-based SST<sub>UK<sup>37</sup></sub> records (thin gray and black) of nearby cores MD03-2607 and MD03-2611  
 619 (Calvo et al., 2007; Lopes dos Santos et al., 2013) are for comparison. D) Relative sea surface salinity  
 620 approximations ( $\delta^{18}\text{O}_{sw-ivc}$ ) at the western (red) and eastern (green) core locations. E) West Antarctic Ice Sheet  
 621 Divide Core (gray; WAIS Divide Project Members, 2015) and the EDML (black; EPICA Community Members,  
 622 2006)  $\delta^{18}\text{O}$  records as reference for the southern hemisphere climate signal. Blue shadings = Antarctic Isotope  
 623 Maxima (AIM). Dashed red and green lines = modern annual SST range at 50-100 m water depth at the eastern  
 624 and western core locations, 2609 and 2614 (Locarnini et al., 2018). MIS = Marine Isotope Stages 1-3 (Martinson  
 625 et al., 1987).

Gelöscht:

Gelöscht: Group

Gelöscht: wd

Gelöscht: s

Gelöscht: ;

Gelöscht: WOA

Gelöscht: ;

667 We hence hypothesize that the *O. universa* SST<sub>Mg/Ca</sub> signal is seasonally biased towards the  
 668 austral summer season. We note also that the entire core 2609 SST<sub>Mg/Ca</sub> record matches the  
 669 SST<sub>LDI</sub> record from nearby core MD03-2607 reasonably well, with similar absolute  
 670 temperature estimates (~11-24°C) and in particular, similar deglacial amplitudes of up to 7°C  
 671 (Fig. 4 C). Both, the SST<sub>LDI</sub> and SST<sub>Mg/Ca</sub> estimates are warmer by ~4°C than the alkenone-  
 672 based SST<sub>U<sup>k</sup><sub>37</sub></sub> estimate from cores MD03-2607 (Lopes dos Santos et al., 2012) and MD03-  
 673 2611 (Calvo et al., 2007; 36°44'S, 136°33'E) (Fig. 1), likely due to the fact that SST<sub>U<sup>k</sup><sub>37</sub></sub> reflect  
 674 the cooler early spring conditions.

**Gelösch:** eddy energetics, and the poleward transport of warm waters (Pearce and Phillips, 1988; Feng et al., 2003; Wjiffels and Meyer, 2004; Middleton and Bye, 2007; Pattiaratchi and Siji, 2020) (Fig. 5 A). The correlation cannot be expected to be one-to-one, as the SST signal off Cape Pasley is biased and experienced (austral summer) contributions of high-salinity South Indian Central Water (SICW) (Cresswell and Peterson, 1993). However, as the Leeuwin Current is mainly fed by low-salinity and nutrient-depleted waters from the Indo-Pacific Warm Pool (Meyers et al., 1995; Domingues et al., 2007), and as its modern dynamic evolution is clearly linked to ENSO being weaker during El Niño years (3 Sv) and stronger during La Niña years (4.2 Sv) (Feng et al., 2003), we argue that ENSO was effectively shaping the Leeuwin Current even during the rapid climatic changes of MIS3.

[1] verschoben (Einfügung)  
 Gelösch: ¶

676 **4.2 Thermocline temperature and salinity development over the last 60 kyrs**

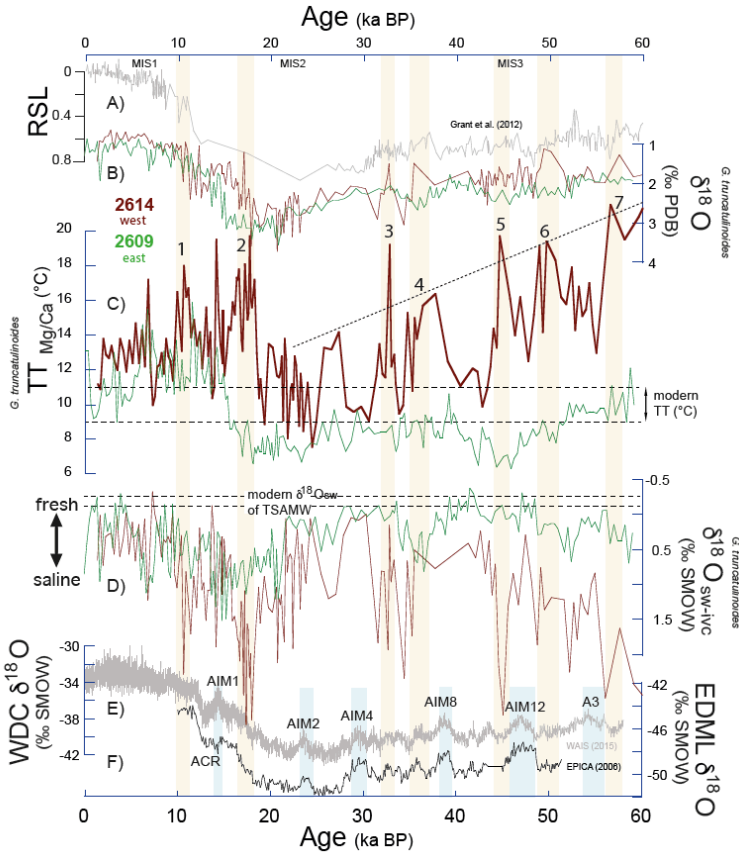
677 All raw analytical data of cores 2614 and 2609 versus core depth are presented in the  
 678 Supplement (Fig. S6, S7). Over the last 60 kyrs, the development at thermocline depth in the  
 679 western study area south of Cape Pasley (core 2614) differs substantially from the eastern area,  
 680 with prominent and rapid high-amplitude changes in TT<sub>Mg/Ca</sub> and the according δ<sup>18</sup>O<sub>sw-ivc</sub> in the  
 681 western area. The proxy records from the eastern core 2609, instead, appear rather muted,  
 682 cooler and fresher (Fig. 5 C, D).

683 During MIS 3, the TT<sub>Mg/Ca</sub> in western core 2614 range between 10°C and 21°C, revealing a  
 684 long-term cooling trend from on average ~20°C at 60 ka BP to ~11°C at ~23 ka BP (Fig. 5 C).  
 685 This cooling trend is accompanied by high-amplitude TT<sub>Mg/Ca</sub> variations even exceeding 5°C.  
 686 The TT<sub>Mg/Ca</sub> and thermocline depth δ<sup>18</sup>O<sub>sw-ivc</sub> minima correspond to the modern TT (9-11°C,  
 687 c.f. Fig. 2) and δ<sup>18</sup>O<sub>sw</sub> ranges at core location 2614 (Richardson et al., 2019), while distinct  
 688 warming pulses at thermocline depth along with saline conditions exceed modern conditions  
 689 by up to ~10°C and ~2 ‰, respectively (Fig. 5 C, D). Although some of these TT<sub>Mg/Ca</sub> warming  
 690 pulses are only represented by single Mg/Ca-data points (due to rare foraminiferal sample  
 691 material), we assess them as robust as the peaks are mostly supported by several  
 692 δ<sup>18</sup>O<sub>G.truncatulinoides</sub> and δ<sup>13</sup>C<sub>G.truncatulinoides</sub>-excursions to light values (Fig. 5 B).

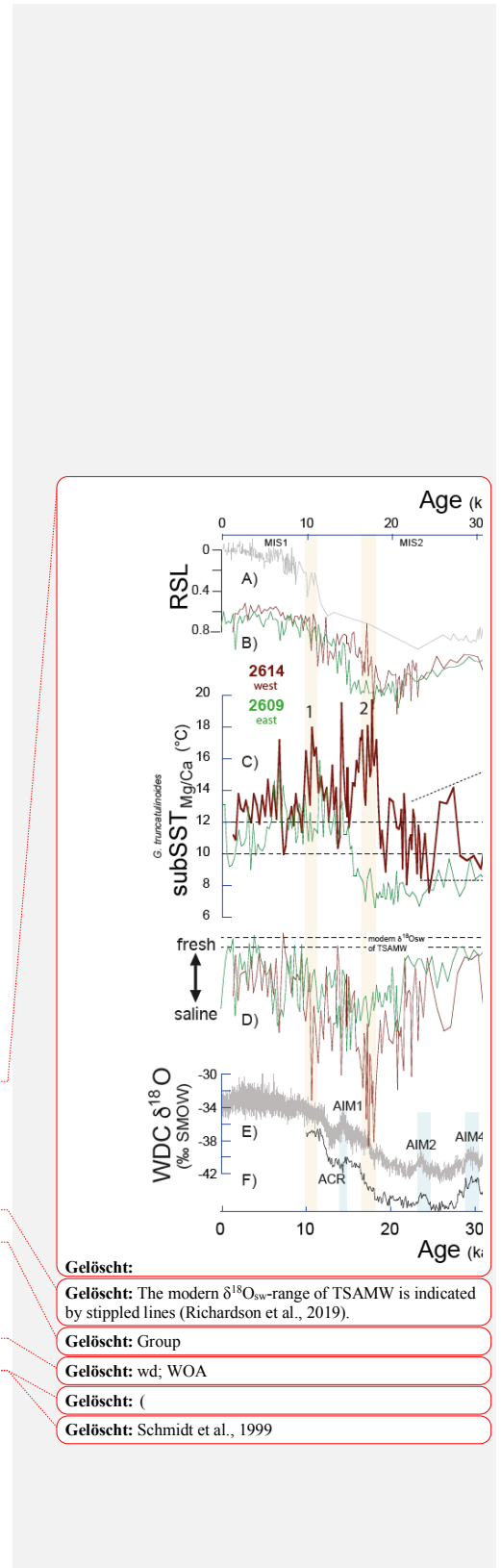
693 In the eastern core 2609, the MIS3 TT<sub>Mg/Ca</sub> range between ~7°C and 11°C, which is cooler by  
 694 max. 2°C than the modern TT range of 9-11°C (c.f. Fig. 2). The thermocline depth δ<sup>18</sup>O<sub>sw-ivc</sub>  
 695 values (-0.5 to ~0.5 ‰) are mostly equal or more positive than the modern value (Richardson  
 696 et al., 2019; c.f. Fig. 5 D), but remain clearly fresher by up to 2 ‰ and less variable than at the  
 697 western core (0-2 ‰). During MIS 2 and in particular during the LGM, the conditions at  
 698 thermocline depth at core 2609 are cooler-than-modern by ~2°C, while remaining fresher and  
 699 lower in amplitude compared to the clearly more variable and warmer thermocline conditions  
 700 at core 2614 (Fig. 5 C, D). The western location rather exhibits short-term TT<sub>Mg/Ca</sub> variations

- Gelösch: 18
- Gelösch: site
- Gelösch: 10
- Gelösch: °
- Formatiert: Nicht Hervorheben
- Formatiert: Nicht Hochgestellt/ Tiefgestellt
- Formatiert: Nicht Hervorheben
- Gelösch: ~
- Gelösch: -3
- Formatiert: Nicht Hervorheben
- Gelösch: negative
- Formatiert: Nicht Hervorheben
- Gelösch: (-0.5-0.5 ‰)
- Formatiert: Nicht Hervorheben
- Formatiert: Nicht Hervorheben
- Formatiert: Nicht Hervorheben
- Formatiert: Nicht Hervorheben
- Gelösch: implying
- Formatiert: Nicht Hervorheben
- Gelösch: conditions
- Gelösch: variability
- Formatiert: Nicht Hervorheben
- Gelösch: ,

730 between  $\approx 8^{\circ}\text{C}$  and  $\approx 13^{\circ}\text{C}$ , which is close to the modern TT in the region. Relative salinity  
 731 varied correspondingly (0.5-1.5‰).



732  
 733 **Figure 5. Hydrographic development at thermocline depth over the last 60 kyr.** Colored curves = this study,  
 734 gray and black curves = reference records. A) Relative sea level curve of Grant et al. (2012), in ‰. B) Thermocline  
 735  $\delta^{18}\text{O}_{G.truncatulinoides}$  records at the western (brown; core 2614) and the eastern (green; core 2609) core locations. C)  
 736  $\text{TT}_{\text{Mg/Ca}}$  records derived from *G. truncatulinoides* (brown: core 2614; green: core 2609). D) Thermocline salinity  
 737 approximations ( $\delta^{18}\text{O}_{\text{sw-ivc}}$ ) at the western (brown) and eastern (green) core locations. E) West Antarctic Ice Sheet  
 738 Divide Core (gray; WAIS Divide Project Members, 2015) and F) EDML (black; EPICA Community Members,  
 739 2006)  $\delta^{18}\text{O}$  records as reference for the southern hemisphere climate signal. Blue shadings = Antarctic Isotope  
 740 Maxima (AIM). Red shadings = prominent thermocline warming pulses and changes to high salinities at  
 741 thermocline depth (black numbers). Dashed lines = modern annual TT range at 50-100 m water depth (Locarnini  
 742 et al., 2018), and modern  $\delta^{18}\text{O}_{\text{sw}}$ -range of TSAMW (Richardson et al., 2019). MIS = Marine Isotope Stages 1-3  
 743 (Martinson et al., 1987); ACR = Antarctic Cold Reversal.



- Gelöscht:
- Gelöscht: The modern  $\delta^{18}\text{O}_{\text{sw}}$ -range of TSAMW is indicated by stippled lines (Richardson et al., 2019).
- Gelöscht: Group
- Gelöscht: wd; WOA
- Gelöscht: (
- Gelöscht: Schmidt et al., 1999

751 In the western study area, the deglaciation is characterized by rapid and prominent changes in  
 752 thermocline conditions (Fig. 5 C). Increases in  $TT_{Mg/Ca}$  by up to 10°C to max. 20°C, and in  
 753  $\delta^{18}O_{sw-ivc}$  by up to 2.5‰ in amplitude occur during the early Heinrich Stadial 1, the early  
 754 Bølling/Allerød, and the Preboreal. In contrast, the deglacial change in the eastern study area  
 755 lags the western development and is less prominent, with  $TT_{Mg/Ca}$  rising from 7°C to 12°C in  
 756 line with the southern hemisphere deglacial climate change as reflected in the EDML  $\delta^{18}O$   
 757 record (EPICA Community Members, 2006) (Fig. 5 F).

758 The Holocene is characterized in both regions by subtle variations in  $TT_{Mg/Ca}$  and  
 759 corresponding  $\delta^{18}O_{sw-ivc}$ . The western core shows higher  $TT_{Mg/Ca}$  (~12-14°C and warmer-than-  
 760 modern conditions) than the eastern core (~10-12°C, rather similar to modern conditions at  
 761 thermocline depth), while the salinity (0 to 0.5‰) in both areas appears rather similar and close  
 762 to the modern values (which is 34.8-35.1 in the western core and 34.7-34.9 in the eastern core)  
 763 (Fig. 5 C, D).

764

#### 765 4.3 Sea surface - thermocline interrelationships reflecting Leeuwin Current dynamics

766 We interpret the SST and surface  $\delta^{18}O_{sw-ivc}$  data derived from *O. universa* in terms of changes  
 767 in the surface mixed layer, which is dominated by STSW (contributions of Leeuwin Current-  
 768 transported TSW, and South Indian Ocean Current-transported SICW) at the western core  
 769 location, and by the South Australian Current (SAC) in the eastern study area (Fig. 1). The  
 770 thermocline-dwelling *G. truncatulinoides* proxy data, instead, reveal changes in the underlying  
 771 Central Water, which comprises SABCW and Tasman Subantarctic Mode Water (TSAMW).

772 The boundary between STSW and Central Water defines the interface between the eastward-  
 773 directed Leeuwin Current System and the westward flow of the Flinders Current System (c.f.  
 774 Fig. 2 B; see Chapter 2.2).

775 To assess the dynamics of the Leeuwin Current-transported STSW and its interaction with both  
 776 the surface SAC and the underlying SABCW/TSAMW south of Australia through time, we  
 777 calculated the vertical temperature gradients at both core locations (see Chapter 3.3). The  
 778 vertical temperature gradient ( $\Delta T_{SST-TT}$ ) provides insight into the thermocline depth, with small  
 779 (large)  $\Delta T_{SST-TT}$  pointing to a shallow (steep) thermal gradient and a deep (shallow) thermocline  
 780 with accompanying strong (weak) vertical mixing. In conjunction with the lateral gradients at  
 781 both sea surface ( $\Delta SST_{west-east}$ ) and thermocline depths ( $\Delta TT_{west-east}$ ) (Fig. 6 A, B), which define  
 782 the regional differences at the two depth levels, we derive insight on how the Leeuwin Current  
 783 System developed spatially in relation to the Flinders Current System during different climate  
 784 regimes. The similarity ( $R = 0.87$ ) of the  $\Delta TT_{west-east}$ -record (Fig. 6 B) and the  $TT_{Mg/Ca}$ -record

Gelöscht: S

Gelöscht: H

Gelöscht: Group

Gelöscht: C

Gelöscht: -

Gelöscht: s

Gelöscht: According to Richardson et al. (2019),

Formatiert: Nicht Hervorheben

Gelöscht: t

Gelöscht: (in particular the top surface of SABCW) along the southern Australian margin

Gelöscht: transporting subtropical waters

Gelöscht: , which brings subantarctic waters into the region (SABCW coupled to TSAMW and Tasmanian Intermediate Water (TIW))

Formatiert: Nicht Hervorheben

Formatiert: Nicht Hervorheben

Gelöscht: c.f.

Gelöscht: Methods

Gelöscht: low

Gelöscht: high

Gelöscht: deep

Gelöscht: shallow

Formatiert: Schriftart: (Standard) Times New Roman

Gelöscht: thermocline

Gelöscht: strong

Gelöscht: weak

Gelöscht: stratification

809 of the western core 2614 (Fig. 5 C) pinpoints that it is the thermocline changes in the western  
810 area, which are crucial to the oceanographic setting south of Australia, and which best reflect  
811 the relative presence of the different water masses.

### 812 MIS3

813 The oceanographic setting as existent today was considerably different during the early MIS3  
814 (~60-45 ka BP) with tangible differences between both regions. The thermocline was generally  
815 deeper (Fig. 6 A), and the thermocline waters were considerably warmer and more saline in  
816 the western than in the eastern region (Fig. 5 C, D), pointing to an overall thick STSW in line  
817 with a strong Leeuwin Current. The SST<sub>Mg/Ca</sub> conditions were rather similar in both areas  
818 during these times (Fig. 4 C, 6 A). In the western core 2614, we observe five time periods of

819 thermocline warming and deepening during the extreme cool climate conditions in Antarctica  
820 (c.f. EPICA Community Members, 2006; WAIS Divide Project Members, 2015): ~58.8-55.8  
821 ka BP, ~50.8-48.4 ka BP, ~46.6-44.2 ka BP, ~37.4-34.2 ka BP, ~33.0-31.4 ka BP (termed 7 to  
822 3 in Figs. 5 C, 6 B). These warm events at thermocline depth were likely related to the strong  
823 southward transfer of tropical heat *via* the Leeuwin Current and the poleward shift of the STF.

824 On average, they become cooler towards the younger part of the core, supporting the notion of  
825 i) a gradually shoaling thermocline depth ( $\Delta T_{SST-TT}$ ) at the western core 2614, and ii) the  
826 narrowing of the lateral temperature gradient at thermocline depth ( $\Delta T_{west-east}$ ) from on  
827 average 13°C to 3°C during the course of MIS3 (Fig. 6 B). Fig. 7 A illustrates the straight  
828 relationship between core 2614  $\Delta T_{SST-TT}$  and  $\Delta T_{west-east}$ .

829 Overall, the rapidly developing (within centuries) thermocline warming events are intercalated  
830 by times of cool, fresh, and shallow thermocline conditions. These conditions predominated  
831 during Antarctic Isotope Maxima (A3, AIM12, AIM11, and AIM 4) when in particular the sea  
832 surface experienced warming by a couple of degrees, pointing to the presence of a shallow and  
833 weak Leeuwin Current in the west rather analogous to a modern austral summer scenario (Fig.  
834 4 C, 6 B).

835 We argue that the highly variable sea surface and thermocline conditions during MIS3 were  
836 likely related to rapid shifts of the oceanic and atmospheric frontal systems: i) The poleward  
837 movement of the Subtropical Ridge and the STF promoting an enhanced STSW contribution  
838 in relation to a stronger Leeuwin Current, and ii) the successive equatorward frontal migration  
839 leading into the full glacial conditions with an overall weak Leeuwin Current (see discussion  
840 below). This is in line with Moros et al. (2009) and De Deckker et al. (2012), who related  
841 reduced (increased) Leeuwin Current strength to the northward (southward) displacement of  
842 the STF prompted by the strengthening (weakening) of the westerlies in response to changing

**Gelöscht:** The latest Holocene  $\Delta T_{west-east}$  and  $T_{Mg/Ca}$ -data (< 2ka BP) suggesting warmer by 2°C SST<sub>Mg/Ca</sub> and a shallower thermocline in the east, and slightly warmer by 1°C  $T_{Mg/Ca}$  in the west (Fig. 6) compare to the modern situation: During austral autumn and winter, the Leeuwin Current-transported STSW is thicker (~300 m in the western and ~200-250 m in the eastern study area; Richardson et al., 2019) with a rather equalized vertical temperature gradient in the west (Fig. 2). When opposing winds cease, it reaches further to the east due to a strong Zeehan Current adjoining the Leeuwin Current (Cresswell, 2000; Ridgway and Condie, 2004; Ridgway, 2007) and causes warming at depth. During austral summer (November to March), the STSW is at shallower depths (~200-250 m in the west and ~150-50 m in the east; Richardson et al., 2019) (c.f. Fig. 2) with a well-defined shallow thermocline during times of a weak Leeuwin Current, when opposing winds (blowing from the southwest northwards) are strong (Godfrey and Ridgway, 1985; Smith et al., 1991; Feng et al., 2003; 2009). ¶

**Formatiert:** Durchgestrichen

**Formatiert:** Durchgestrichen, Hervorheben

**Formatiert:** Durchgestrichen

**Formatiert:** Schriftart: (Standard) Times New Roman, 12 Pt.

**Formatiert:** Schriftart: (Standard) Times New Roman, 12 Pt.

**Formatiert:** Schriftart: (Standard) Times New Roman, 12 Pt.

**Formatiert:** Schriftart: (Standard) Times New Roman, 12 Pt.

**Formatiert:** Schriftart: (Standard) Times New Roman, 12 Pt.

**Gelöscht:** The oceanographic setting as existent today was considerably different during the early MIS3 with tangible differences between both regions. The thermocline was generally deeper (Fig. 6 B), and the sea surface and thermocline waters were considerably warmer and more saline in the western than in the eastern region (Figs. 4, 5), pointing to an overall thick STSW in line with a strong Leeuwin Current

**Gelöscht:** climate records

**Gelöscht:** C

**Gelöscht:** dislocation

**Gelöscht:** C

**Gelöscht:** for core 2614

**Gelöscht:** A

876 low to high latitude pressure and thermal gradients (c.f. Fig. 6 C, D). The comparison to the  
877 Wu et al. (2021) proxy record of bottom current strength in the Drake Passage (Fig. 8 C) further  
878 illustrates that times of a strong Leeuwin Current (thermocline warming events 7 to 3; orange  
879 shading in Fig. 8) were mostly accompanied by a weakly developed ACC. A weak Leeuwin  
880 Current, instead predominated during times of ACC acceleration to higher flow speeds during  
881 warm intervals in the southern hemisphere (A3, AIM12, AIM11, and AIM 4).  
882 Strength variations in the ACC are commonly attributed to changes of the Southern Westerly  
883 Wind Belt (SWW; Lamy et al., 2015) associated with northward shifts of the Subantarctic  
884 Front (Roberts et al., 2017). However, model simulations imply that changes in the westerlies  
885 alone were likely insufficient to influence high-amplitude changes in ACC speeds (Gottschalk  
886 et al., 2015). Wu et al. (2021), suggested that the millennial-scale ACC flow speed variations  
887 were closely linked to variations of Antarctic sea ice extent (maxima in ACC strength at major  
888 winter sea ice retreat; weaker ACC at a more extensive sea ice cover), closely related to the  
889 strength and latitudinal position of the SWW (Toggweiler et al., 2006), oceanic frontal shifts  
890 (Gersonde et al., 2005), and buoyancy forcing (Shi et al., 2020).  
891 At the eastern core location 2609, the thermocline and halocline changes vary only marginally  
892 ( $TT_{Mg/Ca}$  amplitude of  $\sim 3^{\circ}C$  compared to  $>10^{\circ}C$  at the western site;  $\delta^{18}O_{sw-ivc}$  amplitude of  
893  $\sim 1\text{‰}$  compared to  $>3\text{‰}$  at the western site) with no apparent relationship to the short-term  
894 MIS3 climate variability (which is likely due to our low sampling coverage) (Fig. 5 C, D). The  
895 relationship between  $\Delta T_{SST-TT}$  and  $\Delta T_{west-east}$  is not well expressed, and clearly different from  
896 core 2614 (Fig. 6 A, B; Fig. 7). We note that even during most intensive STSW transport via  
897 the Leeuwin Current during the MIS 3 thermocline warming periods 7, 6, 5, 4, 3, the eastern  
898 core location was hardly affected. We speculate that the Leeuwin Current (defined by Ridgway  
899 and Condie, 2004, as “southward shelf edge flow off western Australia that turns around Cape  
900 Leeuwin and penetrates eastward as far as the central Great Australian Bight”) was not present  
901 at the core 2609 location at all. Instead, it is likely the South Australian Current (defined by  
902 Ridgway and Condie, 2004, as “winter shelf edge flow largely driven by reversing wind...  
903 that originates from a gravity outflow from the eastern Great Australian Bight and spreads  
904 eastward as far as the eastern edge of Bass Strait”), which determines when the core 2609  
905  $SST_{Mg/Ca}$  approach those of core 2614. Approaching  $SST_{Mg/Ca}$  conditions at both study sites  
906 with according  $\Delta SST_{Mg/Ca}$  minima occurred consistently during the MIS 3 warming periods 7,  
907 6, 5, and 3, implying that the formation of the South Australian Current intensified at times of  
908 a strong Leeuwin Current (Fig. 6 B).

Gelöscht: S

Gelöscht: H

Gelöscht: (Gottschalk et al., 2015)

Gelöscht: , recently,

Gelöscht: partly incomplete

Gelöscht: ing

Gelöscht: B

Gelöscht: C

Gelöscht: s

Gelöscht: Rather equalized

Gelöscht: 4,

Gelöscht: C

921 The differences in thermocline development at both core locations might have been fostered  
 922 by the functioning of the Subtropical Ridge (~30°S and ~40°S (e.g. Drosowsky, 2005)). We  
 923 argue that the eastern core 2609 at ~39°S is more effectively influenced by temporal and spatial  
 924 changes in the Subtropical Ridge as being closer to the rainy westerlies than the western core  
 925 2614 at ~34°S. Congruently, the core 2609 surface and thermocline  $\delta^{18}\text{O}_{\text{sw-ivc}}$ -records point to  
 926 overall fresher sea surface conditions during MIS3 cool periods than core 2614. A new pollen  
 927 record from in between our core locations (De Deckker et al., 2021; core MD03-2607; Fig. 1)  
 928 does unfortunately not capture the rapid MIS 3 variability we see in our oceanographic  
 929 reconstructions, although revealing subtle changes in regional vegetation and fluvial discharge  
 930 patterns in the Murray Darling Basin,

931 MIS2 and LGM

932 At the western core location 2614, the few but relatively heavy  $\delta^{18}\text{O}_{\text{O.universa}}$  data point to rather  
 933 cool sea surface conditions during the LGM (Fig. 4 B). The thermocline conditions (~8-13°C)  
 934 appear cool but variable (Fig. 5 C). At the eastern core location 2609, instead, the thermocline  
 935 was even cooler-than-modern by ~2°C, fresher, and low in amplitude. Overall, we note a  
 936 shallow thermocline at core location 2609 (Fig. 6 A) and a low West-East gradient at  
 937 thermocline depth (Fig. 6 B), pointing to a narrower, shallower and weaker Leeuwin Current  
 938 influencing the western study area. This is in accordance with Martinez et al. (1999), who  
 939 described the northward dislocation and shrinking of the Indo-Pacific Warm Pool during the  
 940 LGM, which should have significantly reduced the export of tropical low saline and warm ITW  
 941 water via the Leeuwin Current, and consequently, should have reduced the geostrophic gradient  
 942 similar to El Niño conditions (Meyers et al., 1995; Feng et al., 2003).

943 The northward movement of the STF (Howard and Prell, 1992; Martinez et al., 1997; Passlow  
 944 et al., 1997; Findlay and Flores, 2000; Nürnberg and Groeneveld; 2006) and the northward  
 945 shift of the Subtropical Ridge by 2-3° latitude (Kawahata, 2002) during full glacial climate  
 946 conditions likely strengthened the West Australian Current as eastern boundary current,  
 947 introducing higher portions of cool SICW into the Leeuwin Current (Wandres, 2018; Barrows  
 948 and Juggins, 2005). The enhanced glacial dominance of the West Australian Current implies  
 949 that either wind conditions became favorable for its flow, and/or the alongshore geopotential  
 950 pressure gradient, which drives the Leeuwin Current, was excelled by the wind stress from the  
 951 coastal southwesterly winds (Wandres, 2018; Spooner et al., 2011). The resulting glacial  
 952 reduction of southward heat transfer should have resulted in the significant reduction of cloud  
 953 cover, and hence precipitation. Courtillot et al. (2020) noted that today's rainfall is more  
 954 important in the cool winter months, when the subtropical highs (or subtropical ridges) move

- Formatiert: Nicht Durchgestrichen
- Gelöscht: , a belt of high-pressure systems (anticyclones) dividing the tropical south-easterly circulation (trade winds) from the mid-latitude westerlies. The Subtropical Ridge is shaped by the Indian Ocean Dipole and the Southern Annual Mode, and to a lesser degree by ENSO (Cai et al., 2011). During austral autumn/winter (austral spring/summer), it moves north (south), allowing the westerlies to seasonally strengthen (weaken) rainfall in SE Australia (Cai et al., 2011). During El Niño conditions, the Subtropical Ridge is displaced farther equatorward than normal, while during La Niña conditions it is shifted poleward (Drosowsky, 2003). Today, the Subtropical Ridge lies between ~30°S and ~40°S (e.g., Drosowsky, 2005).
- Formatiert: Durchgestrichen
- Gelöscht: therefore
- Formatiert: Durchgestrichen
- Formatiert: Durchgestrichen
- Gelöscht: .....Seitenumbruch.....
- Gelöscht: M
- Formatiert: Schriftart: Kursiv
- Gelöscht: Last Glacial Maximum (
- Gelöscht: )
- Gelöscht: , 6 A
- Gelöscht: cooler,
- Gelöscht: an equalized



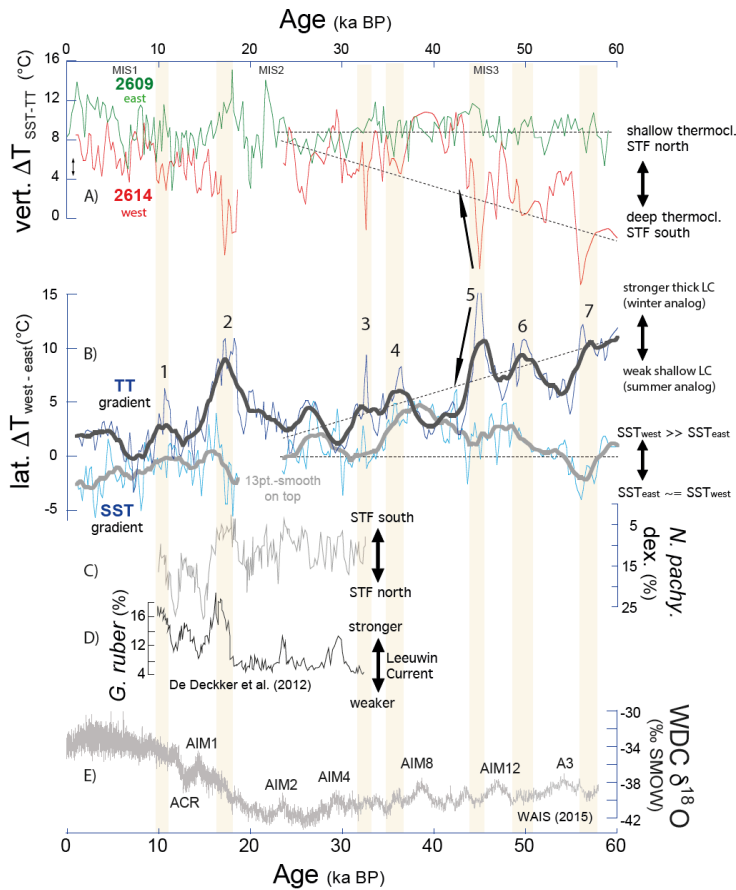
977 to the north and the cold fronts embedded in the westerly circulation bring moisture over the  
978 continent (Suppiah, 1992).

979 At the eastern core location 2609, the relatively fresh and cool conditions at both surface and  
980 thermocline depth, the shallow thermocline, and the small  $\Delta T T_{\text{West-East}}$  gradient at times of a  
981 narrower and shallower Leeuwin Current (Fig. 6 [A](#), [B](#)) rather imply that during the LGM i) the  
982 formation of the South Australian Current was rather inactive and ii) SABCW increasingly  
983 formed along the northerly displaced STF by convective overturning and subduction  
984 (Richardson et al., 2018) during times of intensified westerlies (e.g. Kaiser and Lamy, 2010),  
985 and was carried northward by a glacially strengthened Flinders Current.

986 Our marine proxy records allow to draw new conclusions on the oceanic and climatic evolution  
987 south of Australia during MIS3 and 2, which confirms but also adds to the climatic information  
988 available from low-resolution Australian terrestrial records. Petherick et al. (2013) concluded  
989 from a large compilation of vegetational data that the glacial climate of the Australian  
990 temperate region was relatively cool with the expansion of grasslands and increased fluvial  
991 activity in the Murray-Darling Basin, likely in response to a northerly shift of the Southern  
992 Ocean oceanic frontal system. Expanded sea ice around Antarctica, and a concomitant influx  
993 of subantarctic waters along the southeast and southwest Australian coasts occurred at the same  
994 time. Notably, the cooling and aridification in Australia during the LGM (c.f. DeDeckker et  
995 al., 2021) led to pronounced geographic contractions of human populations and abandonment  
996 of large parts of the continent (Williams et al., 2013), followed by a deglacial re-expansion of  
997 populations (Tobler et al., 2017).

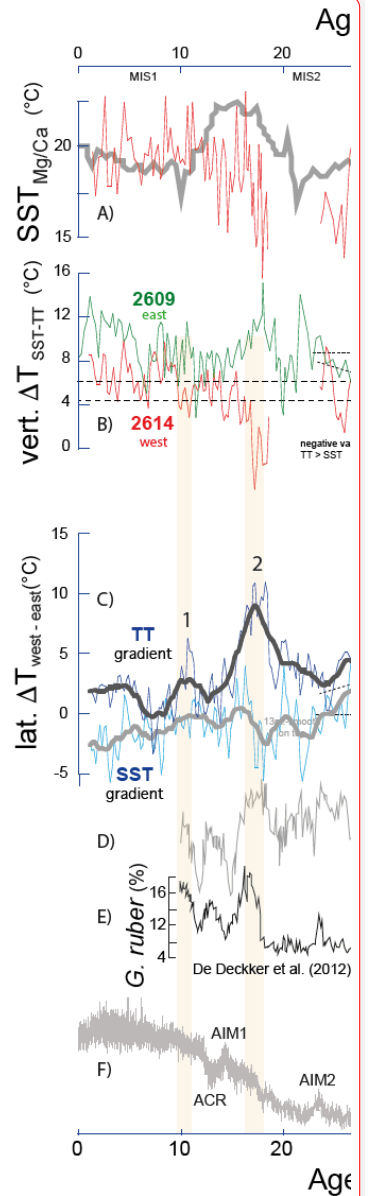
Gelöscht: McBride, 1987;

Gelöscht:



**Figure 6. Variability of lateral and vertical temperature gradients south of Australia in comparison to other proxy records over the last 60 kyr.** **A)** Vertical temperature gradients ( $\Delta T_{SST-TT}$ ) between sea surface and thermocline reflecting thermocline changes in the western (red) and eastern (green) study areas **in line with migrations of the STF.** **B)** Lateral (west-east) 13-point-smoothed temperature gradients at sea surface (gray) and at thermocline depth (black) reflecting Leeuwin Current strength, underlain by the raw data (equally sampled at 0.2 kyr spacings, using AnalySeries 2.0; Paillard et al., 1996). Stippled lines in **A)** and **B)** indicate long-term trends. **C)** *N. pachyderma* dextral and **D)** *G. ruber* percentages of core MD03-2614, from De Deckker et al. (2012) reflecting lateral migrations of the STF and changes in Leeuwin Current strength, respectively. **E)** West Antarctic Ice Sheet Divide Core  $\delta^{18}O$  record (WAIS Divide Project Members, 2015) as a reference for the southern hemisphere climate signal. Orange shading = short time periods of a strong Leeuwin Current. A3 = Antarctic warming event; AIM = Antarctic Isotope Maxima; MIS = Marine Isotope Stages 1-3 (Martinson et al., 1987); ACR = Antarctic Cold Reversal.

Gelöscht: 1



Gelöscht:

Formatiert: Beschriftung

**Gelöscht:** A) Western core 2614  $SST_{Mg/Ca}$  record (red) underlain by the ENSO-strength (gray; dimensionless) of Tudhope et al. (2001). The ENSO strength was simulated using the Zebiak-Cane coupled ocean-atmosphere model forced by changing orbital parameters. Higher power inference suggests more El Niño events causing drier-than-normal conditions over northern Australia, Indonesia and the Philippines (c.f. Saltré et al., 2016). ...B... Vertical temperature gradients ( $\Delta T_{SST-TsubSS...}$ ) between sea surface and thermocline reflecting thermocline changes in the western (red) and eastern (green) study areas in line with migrations of the STF. Hatched lines ... **small double arrow along the y-axis marks the modern vertical gradient (30-350 m) in the west (WOA, ...ocarmini et al., 2018).** BC... Lateral (west-east) 13...point-smoothed temperature gradients at sea surface (gray) and at thermocline depth (black) reflecting... [2]

1081 Deglaciation

1082 The deglacial warming in Antarctica was accompanied by sea ice retreat, sea level rise, and  
1083 rapidly increasing SSTs in the Southern Ocean between ~18 ka BP and 15 ka BP (Barrows et  
1084 al., 2007; Pedro et al., 2011). In both our cores, the beginning of the deglaciation is defined by  
1085 the common decline in planktonic  $\delta^{18}\text{O}$ -values (*G. ruber*, *O. universa*, *G. truncatulinoides*)  
1086 starting at ~18 ka BP (Fig. 3 A, B, C). It is further characterized by sea surface warming closely  
1087 related to the southern hemisphere climate signal (WAIS Divide Project Members, 2015;  
1088 EPICA Community Members, 2006), with  $\text{SST}_{\text{Mg/Ca}}$  being overall warmer in the western core  
1089 region, and rather congruent to other deglacial SST proxy records from the region (Fig. 4 C,  
1090 Lopes dos Santos et al., 2013; Calvo et al., 2007).

1091 The deglacial thermocline development, however, differs between core locations, with a rapid  
1092 (within a few centuries) and variable change to high  $\text{TT}_{\text{Mg/Ca}}$  and high salinities from ~18.3-  
1093 15.8 ka BP in the western area, similar to the thermocline deepening and warming episodes  
1094 described earlier for MIS3 (Fig. 5 C). The enhanced lateral temperature gradient at thermocline  
1095 depth ( $\Delta T_{\text{West-East}}$ ) and the lowered vertical ( $\Delta T_{\text{SST-TT}}$ ) temperature gradient at the western core  
1096 2614 (Fig. 6 A, B) point to the rapid formation of a deep thermocline in response to a  
1097 strengthened Leeuwin Current, and the greater influx of ITW waters at the expense of SICW  
1098 contributions during the times of poleward migration of the STF. A second major, although  
1099 less prominent advance of the Leeuwin Current took place at ~11.1-9.9 ka BP before relatively  
1100 weak Holocene conditions were achieved. These deglacial intensifications of the Leeuwin  
1101 Current were synchronous to foraminiferal assemblage changes detected by De Deckker et al.  
1102 (2012) on Great Australian Bight core MD03-2611 (c.f. Fig. 1), which were interpreted in terms  
1103 of southward migrations of the STF (Fig. 6 C, D).

1104 At the eastern core 2609, the prominent deglacial changes in the thermocline are missing,  
1105 suggesting that the Leeuwin Current did not reach the eastern study area (Fig. 4, 5). Slight  
1106 increases in  $\text{SST}_{\text{Mg/Ca}}$  during these short time periods of a strong Leeuwin Current imply that  
1107 the formation of the South Australian Current might have been active though. The vegetational  
1108 record from the Australian temperate region showing the expansion of arboreal taxa at the  
1109 expense of herbs and grasses points to a gradual deglacial (~18-12 ka BP) rise in air  
1110 temperature and precipitation in the Murray-Darling Basin, and the strengthened influence of  
1111 the westerlies across the southern Australian temperate zone (Fletcher and Moreno, 2011).

1112  
1113

Gelöscht: ¶

¶ Our marine proxy records allow to draw new conclusions on the oceanic and climatic evolution south of Australia during MIS3 and 2, which confirms but also adds to the climatic information available from low-resolution Australian terrestrial records. Petherick et al. (2013) concluded from a large compilation of vegetational data that the glacial climate of the Australian temperate region was relatively cool with the expansion of grasslands and increased fluvial activity in the Murray-Darling Basin, likely in response to a northerly shift of the Southern Ocean oceanic frontal system. Expanded sea ice around Antarctica, and a concomitant influx of subantarctic waters along the southeast and southwest Australian coasts occurred at the same time. Notably, the cooling and aridification in Australia during the LGM led to (c.f. DeDeckker et al., 2021; core MD03-2607; Fig. 1) pronounced geographic contractions of human populations and abandonment of large parts of the continent (Williams et al., 2013), followed by a deglacial re-expansion of populations (Tobler et al., 2017).¶

Formatiert: Schriftart: 12 Pt.

Gelöscht: (Fig. 3)

Gelöscht: B

Gelöscht: , C

Gelöscht: enhanced

Gelöscht: and lateral temperature gradients ( $\Delta T_{\text{West-East}}$ ) (Fig. 6)

Gelöscht: D

Gelöscht: E

Gelöscht: s

1144 *Holocene*

1145 The oceanographic development during the Holocene closely corresponds to the vegetational  
1146 and climatic development of Australia. Most importantly, the thermocline off S Australia was  
1147 considerably shallower during the Holocene compared to the prominent MIS3 and deglacial  
1148 periods of Leeuwin Current intensification, pointing to a comparably weak Leeuwin Current  
1149 (Fig. 6 A, B). At the sea surface, the eastern study area was apparently warmer and more saline  
1150 than the western area (Fig. 4 C). On land, Petherick et al. (2013) described an early Holocene  
1151 expansion of sclerophyll woodland and rainforest taxa across the Australian temperate region  
1152 after ~12 ka BP, which they related to increasing air temperature and a spatially heterogeneous  
1153 hydroclimate with increased effective precipitation (c.f. Williams et al., 2006; Kiernan et al.,  
1154 2010; Moss et al., 2013), a widespread re-vegetation of the highlands, and a return to full  
1155 interglacial conditions. At the same time, the East Australian Current re-invigorated flowing  
1156 south down the east coast of Australia and seasonally affecting the south coast (Bostock et al.,  
1157 2006).

1158 The differential behaviour at surface and thermocline depths became most pronounced after ~6  
1159 ka BP, when the thermocline at the eastern core location 2609 became distinctly shallower than  
1160 in the western study area, while SST<sub>Mg/Ca</sub> continued to increase. We relate the warmer and more  
1161 saline late Holocene conditions at sea surface in the east (Fig. 4 C, D) to intensified surface  
1162 heating near the eastern edge of the Great Australian Bight during austral summer (c.f. Herzfeld  
1163 and Tomzcak, 1997). These shallow waters then spread eastward over the shelf and continued  
1164 to flow as South Australian Current towards Bass Strait (Middleton and Platov, 2003;  
1165 Ridgeway and Condie, 2004) (c.f. Fig. 1). Also after ~6 ka, Petherick et al. (2013) describe a  
1166 higher frequency climatic variability in the Australian temperate region and a spatial patterning  
1167 of moisture balance changes that possibly reflect the increasing influence of ENSO climate  
1168 variability originating in the equatorial Pacific (Moy et al., 2002)

1169 At thermocline depth, the development of gradually declining TT<sub>Mg/Ca</sub> and salinities appear  
1170 rather similar in the eastern and western study areas over the Holocene, although the western  
1171 area remained warmer by ~2°C and the thermocline was deeper due to an active but relatively  
1172 weak Leeuwin Current (Fig. 5 C, D). These conditions gradually approached the modern  
1173 situation, and imply a strengthened influence of the SABCW and SAMW in the course of the  
1174 Holocene, transported by an intensified Flinders Current/Leeuwin Undercurrent system. The  
1175 eastern study area was more affected, likely because the Subtropical Ridge gradually shifted  
1176 northward across the core 2609 location in response to the increasing influence of ENSO  
1177 climate variability. From geochemical proxy data of annually banded massive Porites corals

Gelöscht: B

Gelöscht: o

Formatiert: Englisch (Vereinigtes Königreich)

Gelöscht: B

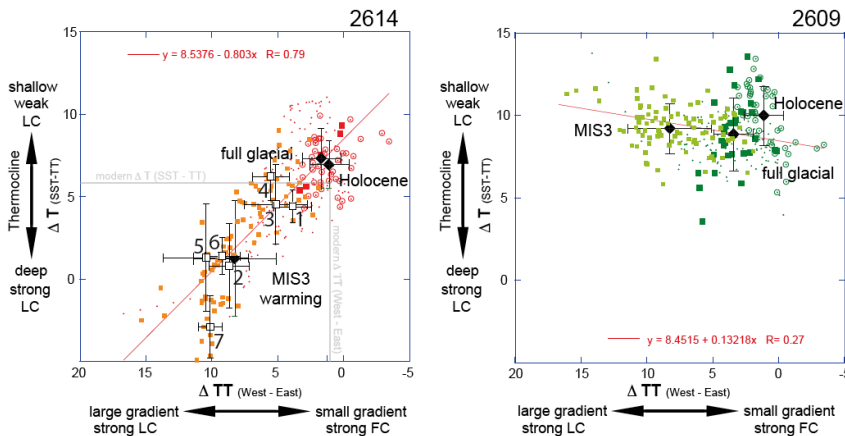
Gelöscht: .

Formatiert: Standard, Block, Zeilenabstand: 1.5 Zeilen

[2] verschoben (Einfügung)

Formatiert: Englisch (USA)

1182 from Papua New Guinea, Tudhope et al. (2001) concluded that ENSO developed from weak  
 1183 conditions in the early to mid-Holocene to variable but stronger-than-during-the-past-150,000  
 1184 years conditions today, mainly driven by effects of orbital precession.



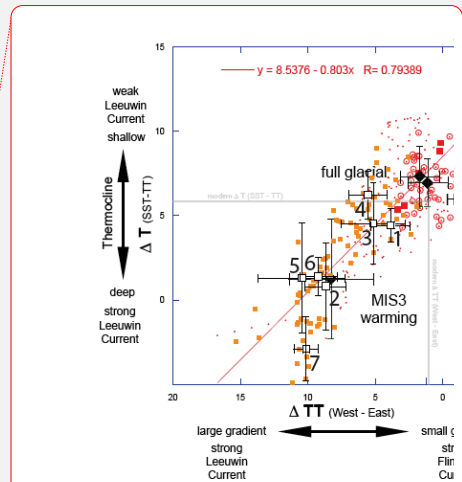
1185  
 1186 **Figure 7. Vertical temperature versus lateral thermocline temperature gradient as expression of Leeuwin**  
 1187 **Current System variability.** The vertical temperature gradient ( $\Delta T_{SST-TT}$ ) provides insight into the thermocline  
 1188 depth, with low (high)  $\Delta T_{SST-TT}$  pointing to a deep (shallow) thermocline. The lateral gradient at thermocline depth  
 1189 ( $\Delta TT_{west-east}$ ) defines how the Leeuwin Current developed in relation to the Flinders Current. Left: western core  
 1190 2614 showing a well-defined relationship between  $\Delta T_{SST-TT}$  and  $\Delta TT_{west-east}$  ( $R = 0.8$ ). Prominent MIS3  
 1191 thermocline warming periods (orange symbols; white squares = averages, numbered from 7 to 1) point to a strong  
 1192 Leeuwin Current, which weakened across MIS3 (black diamond = averages) approaching LGM (red squares) and  
 1193 Holocene conditions (red circles; black diamonds = averages). Right: eastern core 2609 lacks a relationship  
 1194 between  $\Delta T_{SST-TT}$  and  $\Delta TT_{west-east}$ , implying that the Leeuwin Current is not affecting this study site over time.

1195  
 1196 **4.4 Australian megafaunal extinction in relation to ocean/climate dynamics**

1197 Palynological studies on our western core 2614 record a substantial decline of the dung fungus  
 1198 *Sporormiella*, a proxy for herbivore biomass, which was taken as evidence for the prominent  
 1199 Australian megafaunal population collapse from ~45 ka BP to 43.1 ka BP (van der Kaars et al.,  
 1200 2017) (Fig. 8 A). Climate change likely played a significant role in most of the disappearance  
 1201 events of the continent's megafauna during the Pleistocene, while in particular for the last  
 1202 megafaunal population collapse after ~45 ka BP human involvement appears [Jikley](#) but is still  
 1203 debated (Wroe et al., 2013).

1204 A new chronology constrains the early dispersal of modern humans out of Africa across south  
 1205 Asia into 'Sahul' (North Australia and New Guinea connected by a land bridge at times of

Gelöscht:



Gelöscht:

Gelöscht: .....Seitenumbruch

Formatiert: Schriftart: 12 Pt.

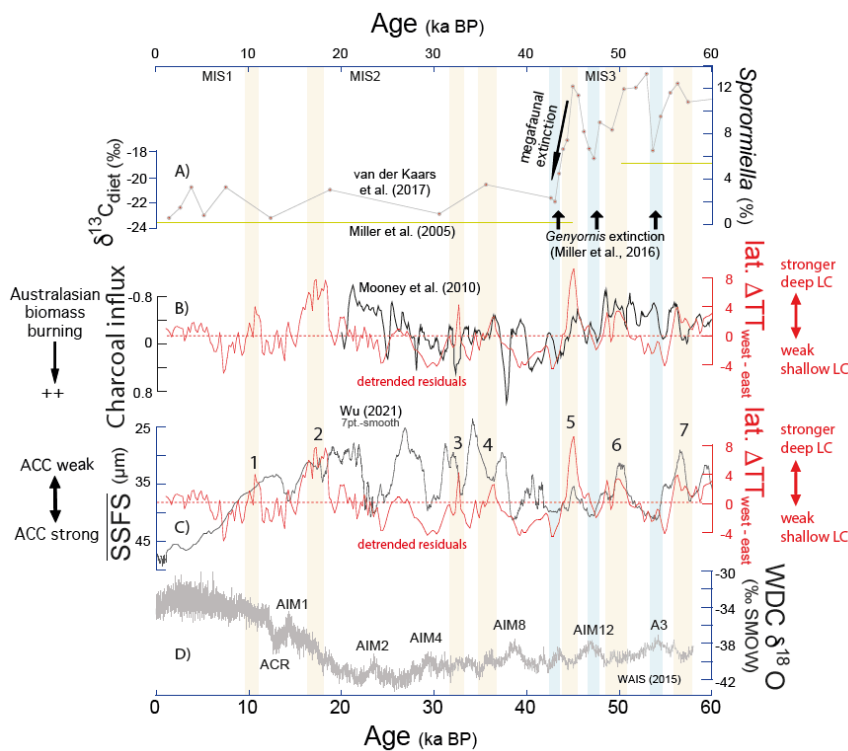
[2] nach oben verschoben: At thermocline depth, the development of gradually declining  $TT_{Mg/Ca}$  and salinities appear rather similar in the eastern and western study areas over the Holocene, although the western area remained warmer by ~2°C and the thermocline was deeper due to an active but relatively weak Leeuwin Current (Fig. 5 C, D). These conditions gradually approached the modern situation, and imply a strengthened influence of the SABCW and SAMW in the course of the Holocene, transported by an intensified Flinders Current/Leeuwin Undercurrent system. The eastern study area was more affected, likely because the Subtropical Ridge gradually shifted northward across the core 2609 location in response to the increasing influence of ENSO climate variability. From geochemical proxy data of annually banded massive *Porites* corals from Papua New Guinea, Tudhope et al. (2001) concluded that ENSO developed from weak conditions in the early to mid-Holocene to variable but stronger-than-during-the-past-150,000 years conditions today, mainly driven by effects of orbital precession.

Gelöscht: possible

Gelöscht: t

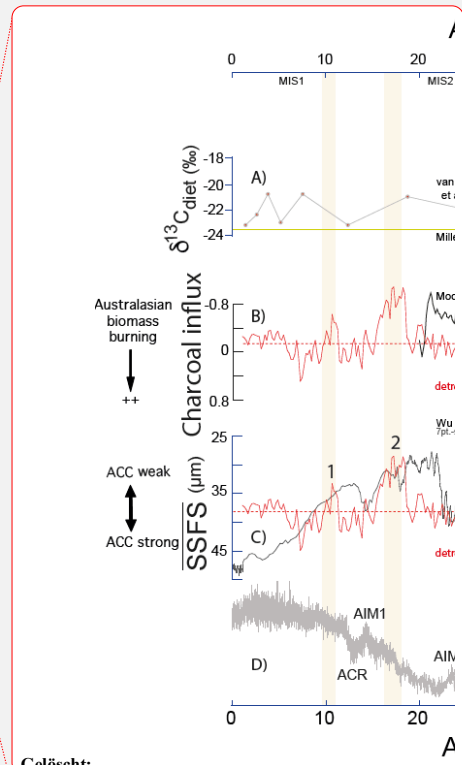
1234 glacially lowered sea level; c.f. Saltré et al., 2016) to ~65-50 ka BP (Clarkson et al., 2017;  
1235 Tobler et al., 2017). The further settlement comprised a single, rapid (within a few thousand  
1236 years; Tobler et al., 2017) migration along the east and west coasts with Aboriginal Australians  
1237 reaching the south of Australia by ~49-45 ka BP. It is clear, also, that humans were present in  
1238 Tasmania by ~39 ka BP (Allen and O'Connell, 2014) and in the arid centre of Australia by ~35  
1239 ka BP (Smith, 2013). This places the initial human colonization of Australia clearly before the  
1240 continent-wide extinction of the megafauna (c.f. Saltré et al., 2016). Rule et al. (2012) and van  
1241 der Kaars et al. (2017) claimed that human arrival causing overhunting, vegetation change due  
1242 to landscape burning, or a combination thereof was the primary extinction cause, not climate  
1243 change. Brook and Johnson (2006) showed with model simulations that species with low  
1244 population growth rates, such as large-bodied mammals in Australia, might have been easily  
1245 exterminated by even small groups of hunter-gatherers using stone-based tools. Also, Saltré et  
1246 al. (2016) hypothesized that climate change was not responsible for late Quaternary (last 120  
1247 kyrs) megafauna extinctions in Australia, as they appeared independent of climate aridity and  
1248 variability.  
1249 Our record of detrended  $\Delta T_{west-east}$ , which approximates the strength of the Leeuwin Current,  
1250 provides additional views on these issues. It shows a robust covariance on millennial to  
1251 centennial time scales from ~60-20 ka BP to a charcoal composite record reflecting biomass  
1252 burning in the Australasian region (Mooney et al., 2010) (Fig. 8 B). Commonly, less fires  
1253 appeared during periods associated with an intensified Leeuwin Current, a southward located  
1254 STF and Subtropical Ridge, with wetter conditions in the Australasian region at times of a  
1255 weakened ACC (c.f. Fig. 8 B, C). The consistent timing of changes in both ocean dynamics  
1256 and biomass burning over such a long period even prior to the arrival of humans in Australia  
1257 (c.f. Singh et al., 1981) suggests a strong coupling between climate-modulated changes related  
1258 to the Leeuwin Current and changes in terrestrial vegetation productivity and distribution. This  
1259 might have been an important factor for controlling Australasian fire regimes (Mooney et al.,  
1260 2010). We hence argue that it is rather the joint interplay between natural ocean and climate  
1261 variability, vegetational response, and human interference that caused the Australian  
1262 megafaunal extinction.  
1263  
1264  
1265

[3] verschoben (Einfügung)



1266  
 1267 **Figure 8. Variability of Leeuwin Current strength** in comparison to Australasian mega-faunal extinction, biomass  
 1268 burning, and Antarctic Circumpolar (ACC) strength over the last 60 kyr. A) Record of dung fungus *Sporormiella*  
 1269 percentages in western core 2614, pointing to the Australian mega-faunal population collapse at ~45 ka BP to 43.1  
 1270 ka BP (van der Kaars et al., 2017). The yellow lines depict the Australian emu *Dromaius* dietary  $\delta^{13}C$  change  
 1271 documenting a permanent change in food sources (Miller et al., 2005). Three black arrows indicate most probable  
 1272 extinction dates of the Australian mega-faunal bird *Genyornis newtoni* at ~54, ~47 and ~43 ka BP (Miller et al.,  
 1273 2016). B) Residuals of detrended lateral (west-east) temperature gradients at thermocline depth reflecting Leeuwin  
 1274 Current strength (red; detrended with Past4 software; <https://www.nhm.uio.no/english/research/infrastructure/past/>), underlain by the Mooney et al. (2010) record of  
 1275 Australasian biomass burning. C) Residuals of detrended lateral (west-east) temperature gradients at thermocline  
 1276 depth reflecting Leeuwin Current strength (red), underlain by the sortable silt record (SSFS; 7pt-smooth) of Drake  
 1277 Passage sediment core PS97-85 reflecting the strength variability of the ACC (Wu et al., 2021). D) West Antarctic  
 1278 Ice Sheet Divide Core  $\delta^{18}O$  record (WAIS Divide Project Members, 2015) as a reference for the southern  
 1279 hemisphere climate signal. Orange shading = short time periods of a strong Leeuwin Current, mostly accompanied  
 1280 by less Australasian biomass burning and ACC weakening. Blue shadings = Antarctic warming event (A3) and  
 1281 Antarctic Isotope Maxima (AIM 12, 10). MIS = Marine Isotope Stages 1-3. ACR = Antarctic Cold Reversal.

Gelöscht: 1



Gelöscht:

Gelöscht: .

Gelöscht: (Martinson et al., 1987)

1287 Fig. 8 shows the *Sporormiella* record of western core 2614 (van der Kaars et al., 2017) in  
 1288 comparison to our detrended record of Leeuwin Current variability. It is evident that before  
 1289 ~45-43.1 ka BP the *Sporormiella* abundances were highly variable, placing *Sporormiella*  
 1290 abundance maxima (>10-13%) into times of extensive thermocline expansion and the strong  
 1291 southward transfer of tropical heat *via* the Leeuwin Current (see above: warming phases 7, 6,  
 1292 5; Fig. 8 A, B). This is when Antarctica cooled (WAIS Divide Project Members, 2015), and  
 1293 the ACC weakened likely in response to sea ice expansion (Wu et al., 2021) (Fig. 8 C, D).  
 1294 *Sporormiella* minima (<~8%), instead, consistently occurred during times of a shallow  
 1295 thermocline and a weakened Leeuwin Current, with percentages becoming stepwise lower  
 1296 during Antarctic warm periods A3 (~7%) and AIM12 (~6%) until they reach lowest values  
 1297 (~2%) during AIM11 at ~45-43.1 ka BP (Fig. 8 A).

1298 The successive decline of *Sporormiella* during Antarctic warm periods and its rapid  
 1299 recuperation in between during times of Antarctic cooling, sea ice expansion, and ACC  
 1300 slowdown is mirrored in the decline of the Australian megafaunal bird *Genyornis newtoni*.  
 1301 From widespread eggshell fragments of *Genyornis* exhibiting diagnostic burn patterns, Miller  
 1302 et al. (2016) concluded that humans depredating and cooking eggs significantly reduced the  
 1303 reproductive success of *Genyornis*. They dated the egg predation and the related extinction of  
 1304 *Genyornis* to ~47 ka BP, although admitting that an age range from ~54 to 43 ka BP could not  
 1305 confidently be excluded (Fig. 8 A). This places the given extinction dates of *Genyornis* into  
 1306 the periods of prominent declines in *Sporormiella* abundances (A3, AIM12, AIM11) and  
 1307 hence, into periods of a weak Leeuwin Current system, while in the warming Southern Ocean  
 1308 (WAIS Divide Project Members, 2015) sea ice extension shrank, and the ACC strengthened  
 1309 (Wu et al., 2021) (Fig. 8 C).

1310 The tight coupling between oceanographic changes and changes in the Australian megafauna  
 1311 as we show brings ocean dynamics as an important player into the game: We hypothesize that  
 1312 the apparent rapid variations in the ocean/climate system from ~60 ka BP to ~43 ka BP with  
 1313 an overall tendency towards a weakening of the Leeuwin Current and the equatorward  
 1314 migration of the southern hemisphere frontal system (Fig. 8) must have caused considerable  
 1315 climatic and ecosystem response in Australia, with negative aftereffects on the continent's  
 1316 megafauna. A recuperation of the megafauna, however, is documented (and expected) by the  
 1317 increasing *Sporormiella* abundances during *each of* the short time periods 7, 6, and 5 of an  
 1318 intensified southward transfer of tropical heat *via* the Leeuwin Current and the poleward *shift*  
 1319 of the *Subtropical Ridge*, (Fig. 8 B), even though human impact should have persisted or even  
 1320 raised during this period.

[3] **nach oben verschoben:** exterminated by even small groups of hunter-gatherers using stone-based tools. Also, Saltré et al. (2016) hypothesized that climate change was not responsible for late Quaternary (last 120 kyrs) megafauna extinctions in Australia, as they appeared independent of climate aridity and variability.

**Gelösch:** exterminated by even small groups of hunter-gatherers using stone-based tools. Also, Saltré et al. (2016) hypothesized that climate change was not responsible for late Quaternary (last 120 kyrs) megafauna extinctions in Australia, as they appeared independent of climate aridity and variability.

Our record of detrended  $\Delta T_{\text{west-east}}$ , which approximates the strength of the Leeuwin Current, provides additional views on these issues. It shows a robust covariance on millennial to centennial time scales from ~60-20 ka BP to a charcoal composite record reflecting biomass burning in the Australasian region (Mooney et al., 2010) (Fig. 8 B). Commonly, less fires appeared during periods associated with an intensified Leeuwin Current, a southward located STF and Subtropical Ridge, with wetter conditions in the Australasian region at times of a weakened ACC. The consistent timing of changes in both ocean dynamics and biomass burning over such a long period even prior to the arrival of humans in Australia (c.f. Singh et al., 1981) suggests that climate-modulated changes related to the Leeuwin Current led to changes in terrestrial vegetation productivity and distribution, and finally controlled Australasian fire regimes (Mooney et al., 2010). From this point of view, the anthropogenic impact as the main driving mechanism for causing aridification of Australia and for megafaunal extinctions (e.g. Miller et al., 2005) appears unlikely. In the following we argue, however, that it is rather the joint interplay between natural ocean and climate variability, vegetational response, and human interference that caused the Australian megafaunal extinction.

**Gelösch:** direct

**Gelösch:** c.f.

**Gelösch:** S

**Gelösch:** B

**Gelösch:** dislocation

**Gelösch:** TR



1362 The final extinction phase defined to ~45-43.1 ka BP on the basis of the core 2614 *Sporormiella*  
1363 record (van der Kaars et al., 2017) and supported by other studies (e.g. Miller et al., 2005;  
1364 2016; Rule et al., 2012) appeared synchronous to the significant decline in the core 2614  
1365 thermocline temperature, salinity, and depth, the reduction of  $\Delta T T_{\text{west-east}}$  by more than 10°C,  
1366 and the clearly warmer and more saline sea surface conditions in the western study area, while  
1367 the eastern sea surface remained cool and fresh (Fig. 5, 6). This all points to the drastic  
1368 weakening and shoaling of the Leeuwin Current (analogous to the modern austral summer  
1369 conditions) with the STF being pushed to the north, and a larger impact of the glacial Southern  
1370 Ocean *via* an enhanced Flinders Current. The significant re-organization of the ocean  
1371 circulation south of Australia at ~45-43.1 ka BP is accompanied by a transient change in  
1372 climate and vegetation in Australia. Bowler et al. (2012) described a drying trend in SE  
1373 Australia (Willandra Lakes) since ~45 ka, synchronous to the weakening of the Australian  
1374 monsoon (Johnson et al., 1999) and also visible in the Mooney et al. (2010) charcoal record  
1375 (Fig. 8 B). The dietary  $\delta^{13}\text{C}$ -change of the Australian emu *Dromaius novaehollandiae* at that  
1376 time (Fig. 8 A) also points to the reorganization of vegetation communities across the  
1377 Australian semiarid zone (Miller et al., 2005). The abrupt decline in C4-plants between ~44 ka  
1378 BP and 42 ka BP observed in core MD03-2607, however, was interpreted by Lopes dos Santos  
1379 et al. (2013) not in terms of climate change but in terms of a large ecological change, primarily  
1380 caused by the absence of the megafaunal browsers due to extinction. The extinction left  
1381 increased C3-vegetation biomass in the landscape, which would have fostered fires, eventually  
1382 aided by human activities (Lopes dos Santos et al., 2013).

1383 We hypothesize, **alternatively**, that the centennial-scale severe change in the ocean/climate  
1384 system beginning at ~45 ka BP must have had aftereffects on the continental environment. We  
1385 argue that the megafauna, which might have been significantly decimated by human activity  
1386 at that point, likely did not keep track with the rapidly increasing ecological stress and was no  
1387 longer able to adopt to the changing conditions related to the weakening of the Leeuwin  
1388 Current. Humans might indeed have effectively contributed to the extinction of the Australian  
1389 megafauna as previously suggested (e.g. Rule et al., 2012; Miller et al., 2016; van der Kaars et  
1390 al., 2017), but the ocean/climate dynamics provide an important prerequisite and amplifying  
1391 factor until a tipping point was reached, after which faunal recuperation no longer happened.

1392

Gelöscht: s

Gelöscht: in contrast

Gelöscht: , in this respect,

Gelöscht: ;

1397 **5. Conclusion**

1398 The Leeuwin Current as important conduit for the poleward heat transport and interocean water  
1399 exchange between the tropical and the subantarctic ocean areas is highly crucial for the climatic  
1400 and vegetational evolution of Australia. The thermocline, south of Australia, reflects changes  
1401 between the eastward-directed Leeuwin Current System transporting subtropical waters and  
1402 the westward flow of the Flinders Current System, which brings subantarctic waters into the  
1403 region.

1404 During MIS3, the centennial-scale variations in the Leeuwin Current and the related migrations  
1405 of the southern hemisphere frontal system reveal a tendency towards weakening of the Leeuwin  
1406 Current. It was, instead, strongly developed during Antarctic cool periods at times when the  
1407 ACC weakened in response to the expanded sea ice cover around Antarctica.

1408 During the LGM we note an even narrower, shallower and weaker Leeuwin Current, likely in  
1409 response to the northward dislocation and shrinking of the Indo-Pacific Warm Pool, which  
1410 significantly reduced the export of tropical low saline and warm ITW water. The northward  
1411 shift of the Subtropical Ridge during the LGM likely strengthened the West Australian Current,  
1412 introducing higher portions of cool SICW into the Leeuwin Current.

1413 During deglacial times, the enhanced vertical and lateral temperature gradients point to the  
1414 rapid formation of a deep thermocline in response to a strengthened Leeuwin Current, and the  
1415 greater influx of ITW waters at the expense of SICW contributions at times of poleward  
1416 migration of the STF.

1417 During the Holocene, the thermocline off S Australia was considerably shallower compared to  
1418 the prominent MIS3 and deglacial periods of Leeuwin Current intensification, pointing to a  
1419 comparably weak Leeuwin Current. After ~6 ka BP, the intensified surface heating near the  
1420 eastern edge of the Great Australian Bight suggests an intensified South Australian Current. At  
1421 thermocline depth, the strengthened influence of the SABCW and SAMW is visible,  
1422 transported by an intensified Flinders Current/Leeuwin Undercurrent system.

1423 Overall, the Leeuwin Current variability from ~60-20 ka BP captures the biomass burning  
1424 development in Australasia with less fire when the Leeuwin Current intensified, the STF and  
1425 the Subtropical Ridge moved southward creating wetter conditions across Australia, and the  
1426 ACC weakened. The consistent timing of changes suggests that climate-modulated changes  
1427 related to the Leeuwin Current were likely crucial for driving Australasian fire regimes. In  
1428 consequence we concluded that the concerted action of natural ocean and climate variability,  
1429 vegetational response, and human interference enhanced the ecological stress on the Australian

Gelösch: We note that the western core SST<sub>Mg/Ca</sub> record broadly follows the modelled El Niño- Southern Oscillation (ENSO) power, relating enhanced SST conditions to strong La Niña conditions in line with high sea level anomalies and strengthened Leeuwin Current volume transport being responsible for the poleward transport of warm waters.

Gelösch: , instead,

Gelösch: reveals

Gelösch: Southern

Gelösch: h

Gelösch: AC

Gelösch:

Gelösch: points to

Gelösch: controlled

1444 megafauna until a tipping point was reached at ~43 ka BP, after which faunal recuperation no  
1445 longer took place.

1447 **Data availability.** Presented data (Nürnberg et al., 2022 a, b) are available online at the Data  
1448 Publisher for Earth and Environmental Science, PANGAEA ([www.pangaea.de](http://www.pangaea.de)):  
1449 <https://doi.pangaea.de/10.1594/PANGAEA.943197>;  
1450 <https://doi.pangaea.de/10.1594/PANGAEA.943199>.

1452 **Sample availability.** Cores MD03-2614 and MD03-2609 and remaining sample material are  
1453 stored in the GEOMAR core and rock repository ([https://www.geomar.de/en/centre/central-](https://www.geomar.de/en/centre/central-facilities/tlz/core-rock-repository)  
1454 [facilities/tlz/core-rock-repository](https://www.geomar.de/en/centre/central-facilities/tlz/core-rock-repository)).

1456 **Supplement.** Supporting information associated with this article.

1458 **Author contributions.** Study conception and design was completed by DN, AK and KM. Data  
1459 collection was completed by DN, AK, and KM. Data analysis and the interpretation of results  
1460 was completed by DN, AK, KM and CK. Draft manuscript preparation and editing was  
1461 completed by DN, AK, KM and CK. All authors reviewed the results and approved the final  
1462 version of the paper.

1464 **Competing interests.** The authors declare that they have no conflict of interest.

1466 **Disclaimer.** Publisher's note: Copernicus Publications remains neutral with regard to  
1467 jurisdictional claims in published maps and institutional affiliations.

1469 **Acknowledgements.** We thank the captain, crew, and shipboard scientific crew of R/V  
1470 MARION DUFRESNE. The studied sediment cores were retrieved during cruise MD131  
1471 (AUSCAN-campaign) in 2003. We further thank J. Schönfeld as well as lab technicians N.  
1472 Gehre and S. Fessler for their great support. We are thankful to the reviewers, whose comments  
1473 considerably helped to improve the manuscript.

1475 **Financial support.** We thank the German Science Foundation (DFG), which provided initial  
1476 funding for the recovery of the sediment cores (DFG-project Nu60/11-1).

1477

Gelöscht: ¶

Gelöscht: ([www.pangaea.de](http://www.pangaea.de))

Formatiert: Schriftart: (Standard) Times New Roman, 12 Pt.

Feldfunktion geändert

Formatiert: Hyperlink, Schriftart: (Standard) Times New Roman, 12 Pt., Schriftfarbe: Automatisch

Gelöscht: <https://doi.org/.....>

Gelöscht:

Formatiert: Schriftart: (Standard) Times New Roman, 12 Pt.

Gelöscht: <https://doi.org/.....> (upload currently underway!)

Formatiert: Schriftart: (Standard) Times New Roman, 12 Pt.

Gelöscht: .

Formatiert: Schriftfarbe: Automatisch

Feldfunktion geändert

1485 **Review statement.** This paper was reviewed by [B. Opdyke](#) and one anonymous referee.

1487 **References**

1488 [Allen, J. and O'Connell, J.F.:](#) Both half right: updating the evidence for dating first human arrivals in Sahul. [Aust. Archaeol.](#) 79, 86–108, 2014.

1489 Anand, P., Elderfield, H., and Conte, M.H.: Calibration of Mg/Ca thermometry in planktonic foraminifera from a sediment trap time series. [Paleoceanography](#), 18 (2), 1050, doi:10.1029/2002PA000846, 2003.

1490 Bahr, A., Nürnberg, D., Karas, C., and Grütznert, J.: Millennial-scale versus long-term dynamics in the surface and subsurface of the western North Atlantic Subtropical Gyre during marine isotope stage 5. [Glob. Planet. Change](#), 111, 77–87, <https://doi.org/10.1016/j.gloplacha.2013.08.013>, 2013.

1491 Barker, P.M.: The circulation and formation of water masses south of Australia and the inter-annual wind variability along the southern Australian coast, PhD. Thesis. University of Melbourne, Victoria, Australia, 351pp., 2004.

1492 Barker, S., Greaves, M., and Elderfield, H.: A study of cleaning procedures used for foraminiferal Mg/Ca paleothermometry. [Geochem. Geophys. Geosystems](#), 4 (9), 8407, doi:10.1029/2003GC000559, 2003.

1493 Barrows, T.T. and Juggins, S.: Sea-surface temperatures around the Australian margin and Indian Ocean during the Last Glacial Maximum. [Quat. Sci. Rev.](#) 24, 1017-1047, 2005.

1494 Barrows, T.T., Juggins, S., De Deckker, P., Calvo, E., and Pelejero, C.: Long-term sea surface temperature and climate change in the Australian-New Zealand region. [Paleoceanography](#), 22 (2), PA2215, 2007.

1495 Bé, A.W.H. and Tolderlund, D.S.: Distribution and ecology of living planktonic foraminifera in surface water of the Atlantic and Indian Oceans. [Micropaleontol. Oceans](#), Cambridge University Press, London, 105-149, 1971.

1496 Bemis, B.E., Spero, H.J., Bijma, J., and Lea, D.W.: Reevaluation of the oxygen isotopic composition of planktonic foraminifera: Experimental results and revised paleotemperature equations. [Paleoceanography](#), 13(2), 150-160, 1998.

1497 Bostock, H.C., Opdyke, B.N., Gagan, M.K., Kiss, A.E., and Fifield, L.K.: Glacial/interglacial changes in the East Australian current. [Clim. Dyn.](#) 26, 645–659, doi:10.1007/s00382-005-0103-7, 2006.

1498 Bowler, J.M., Gillespie, R., Johnston, H., and Boljkovac, K.: Wind v water: Glacial maximum records from the Willandra Lakes. in: [Peopled landscapes: archaeological and biogeographic approaches to landscapes](#), edited by Haberle, S., David, B., Chapter 13, ANU e-press, doi: 10.22459/TA34.01.2012.13, 2012.

1499 Boyle, E.A. and Keigwin, L.D.: Comparison of Atlantic and Pacific paleochemical records for the last 215,000 years: changes in deep ocean circulation and chemical inventories. [Earth Planet. Sci. Lett.](#) 76, 135-150, 1985/86.

1500 Boyle, E.A. and Rosenthal, Y.: Chemical hydrography of the South Atlantic during the Last Glacial Maximum: Cd vs.  $\delta^{13}\text{C}$ . in: [The South Atlantic: Present and Past Circulation](#), edited by Wefer, G., Berger, W.H., Siedler, G., Webb, D., Springer, Berlin, Heidelberg, 423-443, 1996.

1501 Brook, B.W. and Johnson, C.N.: Selective hunting of juveniles as a cause of the imperceptible overkill of the Australian Pleistocene megafauna. [Alcheringa](#), 30, 39–48, 2006.

1502 Cai, W., van Rensch, P., and Cowan, T.: Influence of global-scale variability on the Subtropical Ridge over Southeast Australia. [J. Clim.](#) 24, 6035-6053, doi: 10.1175/2011JCLI4149.1, 2011.

1503 Caley, T. and Roche, D.M.: Modeling water isotopologues during the last glacial: implications for quantitative paleosalinity reconstruction. [Paleoceanography](#), 30 (6), 739–750, 2015.

Gelöscht: edited by XXX and ...e-	... [3]
Formatiert	... [4]
Gelöscht: XXX	...
Formatiert	... [5]
Gelöscht: ...O'Connell, J.F.: (2014).	... [6]
Formatiert	... [7]
Gelöscht: r...alian	... [8]
Formatiert	... [9]
Gelöscht: ogy	...
Formatiert	... [10]
Gelöscht: (2003).	...
Formatiert	... [11]
Gelöscht: )... 2003..	... [12]
Formatiert	... [13]
Gelöscht: (2013).	...
Formatiert	... [14]
Formatiert	... [15]
Gelöscht: obal	...
Formatiert	... [16]
Gelöscht: ary	...
Formatiert	... [17]
Gelöscht: ...https://doi.	... [18]
Gelöscht: Bahr, A., Hoffmann, J., Schönfeld, J., Schmidt	... [19]
Formatiert	... [20]
Gelöscht: (2004). ... The circulation and formation of water	... [21]
Formatiert	... [22]
Gelöscht: ,	...
Formatiert	... [23]
Gelöscht: (2005).	...
Formatiert	... [24]
Gelöscht: aternary	...
Formatiert	... [25]
Gelöscht: ience	...
Formatiert	... [26]
Gelöscht: iews	...
Formatiert	... [27]
Gelöscht: .	...
Formatiert	... [28]
Gelöscht: (2007).	...
Formatiert	... [29]
Gelöscht: .	...
Gelöscht: Bé, A.W.H., Harrison, S.M., Lott, L. (1973)...	... [30]
Formatiert	... [31]
Gelöscht: ...Tolderlund, D.S. (1971).	... [32]
Formatiert	... [33]
Gelöscht: logy	...
Formatiert	... [34]
Gelöscht: of ...ceans, Cambridge University Press, London	... [35]
Formatiert	... [36]
Gelöscht: (1998).	...
Formatiert	... [37]
Gelöscht: .	...
Formatiert	... [38]
Gelöscht: (2006). ... Glacial/interglacial changes in the	... [39]
Formatiert	... [40]
Gelöscht: ... doi:10.1007/s00382-005-0103-7. 2006.	... [41]
Formatiert	... [42]
Gelöscht: (2012). ... Wind v water: Glacial maximum...	... [43]
Formatiert	... [44]
Gelöscht: S.	...
Formatiert	... [45]
Gelöscht: (eds.) Peopled landscapes: archaeological and	... [46]
Gelöscht: .	...
Gelöscht: Feldfunktion geändert	...

1682 Calvo, E., Pelejero, C., De Deckker, P., and Logan, G.A.: Antarctic deglacial pattern in a 30 kyr record of sea  
1683 surface temperature offshore South Australia. *Geophys. Res. Lett.*, 34, <http://doi.org/10.1029/2007GL029937>,  
1684 2007.

1685 Church, J.A., Cresswell, G.R., and Godfrey, J.S.: The Leeuwin Current. Poleward flows along eastern boundaries.  
1686 Eds., 34, Coastal and estuarine studies, *AGU*, 230-254, 1989.

1687 Cirano, M., and Middleton, J.F.: Aspects of the mean wintertime circulation along Australia's southern shelves:  
1688 numerical studies. *J. Phys. Oceanogr.*, 34 (3), 668-684, 2004.

1689 Clarkson, C., Jacobs, Z., Marwick, B. et al.: Human occupation of northern Australia by 65,000 years ago. *Nature*,  
1690 54 (306), doi:10.1038/nature22968, 2017.

1691 Cléroux, C., Cortijo, E., and Duplessy, J.-C.: Deep-dwelling foraminifera as thermocline temperature recorders.  
1692 *Geochem. Geophys. Geosystems*, 8 (4), doi:10.1029/2006GC001474, 2008.

1693 Courtillot, M., Hallenberger, M., Bassetti, M.-A., Aubert, D., Jeandel, C., Reuning, L., Korpanty, C., Moissette,  
1694 P., Mounic, S., and Saavedra-Pellitero, M.: New record of dust input and provenance during glacial periods in  
1695 Western Australia shelf (IODP Expedition 356, Site U1461) from the Middle to Late Pleistocene. *Atmosphere*,  
1696 11 (11), doi: 10.3390/atmos1111251, 2020.

1697 Cresswell, G.R.: Currents of the continental shelf and upper slope of Tasmania. *Pap. Proc. - R. Soc. Tasman*,  
1698 133, 21-30, 2000.

1699 Cresswell, G.R. and Golding, T.J.: Observations of a southward flowing current in the south-eastern Indian Ocean.  
1700 *Deep Sea Res. Part I*, 27 (6), 449-466, 1980.

1701 Cresswell, G.R. and Peterson, J.L.: The Leeuwin Current south of western Australia. *Aust. J. Mar. Freshwater*  
1702 *Res.*, 44, 285-303, 1993.

1703 De Deckker, P., Moros, M., Perner, K., and Jansen, E.: Influence of the tropics and southern westerlies on glacial  
1704 interhemispheric asymmetry. *Nat. Geosci.*, 5, 266-269, 2012.

1705 De Deckker, P., van der Kaars, S., Haberle, S., Hua, Q., and Stuut, J.-B.W.: The pollen record from marine core  
1706 MD03-2607 from offshore Kangaroo Island spanning the last 125 ka; implications for vegetation changes across  
1707 the Murray-Darling Basin. *Aust. J. Earth Sci.*, 68 (7), 928-951, doi: 10.1080/08120099.2021.1896578, 2021.

1708 Domingues, C.M., Maltrud, M.E., Wijffels, S.E., Church, J.A., and Tomczak, M.: Simulated Lagrangian pathways  
1709 between the Leeuwin Current System and the upper ocean circulation of the southeast Indian Ocean. *Deep Sea*  
1710 *Res. Part II*, 54 (8-10), 797-817, 2007.

1711 Drosowsky, W.: An analysis of Australian seasonal rainfall and teleconnection patterns anomalies: 1950-1987.  
1712 II: Temporal variability. *Int. J. Climatol.*, 13, 111-149, 2003.

1713 Drosowsky, W.: The latitude of the subtropical ridge over eastern Australia: The L-index revisited. *Int. J.*  
1714 *Climatol.*, 25, 1291-1299, 2005.

1715 EPICA Community Members: One-to-one coupling of glacial climate variability in Greenland and Antarctica.  
1716 *Nature*, 444 (7116), 195-198, 2006.

1717 Elderfield, H., Vautravers, M., and Cooper, M.: The relationship between shell size and Mg/Ca, Sr/Ca,  $\delta^{18}\text{O}$ , and  
1718  $\delta^{13}\text{C}$  of species of planktonic foraminifera. *Geochem. Geophys. Geosystems*, 3(8), 10.1029/2001GC000194,  
1719 2002.

Formatiert	...	[64]
Gelöscht: (2007). ... Antarctic deglacial pattern in a 30 kyr record of sea surface temperature offshore South Australia.		[65]
Gelöscht: Research		
Gelöscht: Letters ...ett., 34,		[68]
Formatiert	...	[66]
Formatiert	...	[67]
Feldfunktion geändert	...	[69]
Formatiert	...	[70]
Gelöscht: (1989). ... The Leeuwin Current. Poleward flows along eastern boundaries.		[71]
Formatiert	...	[72]
Gelöscht: ,		
Formatiert	...	[73]
Gelöscht: , (2004). ... Aspects of the mean wintertime circulation along Australia's southern shelves: numerical studies.		[74]
Formatiert	...	[75]
Gelöscht: p...ysical		[76]
Formatiert	...	[77]
Gelöscht: o...ceanography		[78]
Gelöscht: (2017).		
Formatiert	...	[79]
Gelöscht: .		
Gelöscht: Clement, A.C., Seager, R., Cane, M.A. (1999).		[80]
Formatiert	...	[81]
Gelöscht: (2008a). ... Deep-dwelling foraminifera as thermocline temperature recorders.		[82]
Formatiert	...	[83]
Gelöscht: .		
Gelöscht: Cléroux, C., Cortijo, E., Anand, P., Labeyrie, I. et al. (2021). ... New record of dust input and provenance during glacial periods in Western Australia shelf (IODP Expedition 356, Site U1461) from the Middle to Late Pleistocene.		[84]
Formatiert	...	[85]
Gelöscht: et al. (2021). ... New record of dust input and provenance during glacial periods in Western Australia shelf (IODP Expedition 356, Site U1461) from the Middle to Late Pleistocene.		[86]
Formatiert	...	[87]
Gelöscht: .		
[4] verschoben (Einfügung)		
Gelöscht: (2000).		
Formatiert	...	[88]
Gelöscht: Papers and Proceedings of the Royal Society of London.		[89]
Formatiert	...	[90]
Gelöscht: .		[91]
Formatiert	...	[92]
Gelöscht: (1980).		
Formatiert	...	[93]
Gelöscht: Research		
Formatiert	...	[94]
Gelöscht: ,		
Formatiert	...	[95]
Gelöscht: (1993). ... The Leeuwin Current south of western Australia.		[96]
Formatiert	...	[97]
Gelöscht: journal		
Formatiert	...	[98]
Gelöscht: of ...marine		[99]
Formatiert	...	[100]
Gelöscht: and ...freshwater Research		[101]
[4] nach oben verschoben: Cresswell, G.R. (2000). Currents of the continental shelf and upper slope of Tasmania.		
Formatiert	...	[102]
Gelöscht: (2012).		
Formatiert	...	[103]
Gelöscht: Nature		
Formatiert	...	[104]
Gelöscht: Geoscience		
Formatiert	...	[105]
Formatiert	...	[106]
Gelöscht: (2021).		
Formatiert	...	[107]
Gelöscht: Australian Journal of Earth Sciences		
Gelöscht: .		
Formatiert	...	[108]

1876 Farmer, E.C., Kaplan, A., de Menocal, P.B., and Lynch-Stieglitz, J.: Corroborating ecological depth preferences  
1877 of planktonic foraminifera in the tropical Atlantic with stable oxygen isotope ratios of core-top specimens.  
1878 *Paleoceanography*, 22, 1-14, 2007.

1879 Feng, M., Meyers, G., Pearce, A., and Wijffels, S.: Annual and interannual variations of the Leeuwin Current at  
1880 32°S. *J. Geophys. Res., Oceans*, 108, 33-55, 2003.

1881 Feng, M., Weller, E., and Hill, K.: The Leeuwin Current, in: *A Marine Climate Change Impacts and Adaptation  
1882 Report Card for Australia 2009*, edited by Poloczanska, E., Hobday, A.J., Richardson, A., NCCARF Publication  
1883 05/09, ISBN 978-1-921609-03-9, 2009.

1884 Findlay, C.S. and Flores, J.A.: Subtropical Front fluctuations south of Australia (45°09'S, 146°17'E) for the last  
1885 130 ka years based on calcareous nannoplankton. *Mar. Micropaleontol.*, 40, 403-416, 2000.

1886 Fletcher, M.-S. and Moreno, P.I.: Zonally symmetric changes in the strength and position of the Southern  
1887 Westerlies drove atmospheric CO<sub>2</sub> variations over the past 14 k.y. *Geology*, 39 (5), 419-422, 2011.

1888 Friedrich, O., Schiebel, R., Wilson, P.A., Weldeab, S., Beer, C.J., Cooper, M.J., and Fiebig, J.: Influence of test  
1889 size, water depth and ecology on Mg/Ca, Sr/Ca, δ<sup>18</sup>O and δ<sup>13</sup>C in nine modern species of planktic foraminifers.  
1890 *Earth Planet. Sci. Lett.*, 319-320, 133-145, 2012.

1891 Gersonde, R., Crosta, X., Abelmann, A., and Armand, L.: Sea-surface temperature and sea ice distribution of the  
1892 Southern Ocean at the EPILOG Last Glacial Maximum — a circum-Antarctic view based on siliceous  
1893 microfossil records. *Quat. Sci. Rev.*, 24, 869–896, 2005.

1894 Godfrey, J.S. and Ridgway, K.R.: The large-scale environment of the poleward-flowing Leeuwin Current,  
1895 Western Australia: Longshore steric height patterns, wind stresses and geostrophic flow. *J. Phys. Oceanogr.*, 15,  
1896 481–495, 1985.

1897 Gottschalk, J., Skinner, L.C., Misra, S., Waelbroeck, C., Menviel, L., and Timmermann, A.: Abrupt changes in  
1898 the southern extent of North Atlantic Deep Water during Dansgaard–Oeschger events. *Nat. Geosci.*, 8, 950, doi:  
1899 10.1038/NCEO2558, 2015.

1900 Grant, K.M., Rohling, E.J., Bar-Matthews, M., Ayalon, A., Medina-Elizalde, M., Ramsey, C.B., Satow, C., and  
1901 Roberts, A.P.: Rapid coupling between ice volume and polar temperature over the past 150,000 years. *Nature*,  
1902 491 (7426), 744–747, 2012.

1903 Greaves, M., Caillon, N., Rebaubier, H., Bartoli, G., Bohaty, S., Cacho, I., Clarke, L., Cooper, M., Daunt, C.,  
1904 Delaney, M., deMenocal, P., Dutton, A., Eggins, S., Elderfield, H., Garbe-Schönberg, D., Goddard, E., Green,  
1905 D., Gröneveld, J., Hastings, D., Hathorne, E., Kimoto, K., Klinkhammer, G., Labeyrie, L., Lea, D.W., Marchitto,  
1906 T., Martínez-Botí, M.A., Mortyn, P.G., Ni, Y., Nürnberg, D., Paradis, G., Pena, L., Quinn, T., Rosenthal, Y.,  
1907 Russell, A., Sagawa, T., Sosdian, S., Stott, L., Tachikawa, K., Tappa, E., Thunell, R., and Wilson, P.A.:  
1908 Interlaboratory comparison study of calibration standards for foraminiferal Mg/Ca thermometry. *Geochem.  
1909 Geophys. Geosystems*, 9 (8), Q08010, doi:10.1029/2008GC001974, 2008.

1910 Hathorne, E.C., Alard, O., James, R.H., and Rogers, N.W.: Determination of intratest variability of trace elements  
1911 in foraminifera by laser ablation inductively coupled plasma-mass spectrometry. *Geochem. Geophys.  
1912 Geosystems*, 4 (12), 8408, doi:10.1029/2003GC000539, 2003.

1913 Heaton, T.J., Köhler, P., Butzin, M., Bard, E., Reimer, R.E., Austin, W.E.N., Bronk Ramsey, C., Grootes, P.M.,  
1914 Hughen, K.A., Kromer, B., Reimer, P.J., Adkins, J., Burke, A., Cook, M.S., Olsen, J., and Skinner, L.C.:

Gelösch: (2007).	
Formatiert	... [121]
Formatiert	... [122]
Gelösch: (2003). ... Annual and interannual variations of the Leeuwin Current at 32°S.	... [124]
Formatiert	... [123]
Gelösch: of ... eophysical	... [126]
Formatiert	... [127]
Gelösch: Research...es.:	... [128]
Formatiert	... [125]
Formatiert	... [129]
Formatiert	... [130]
Gelösch: and ...ill, K. (2009) ... The Leeuwin Current	... [131]
Formatiert	... [132]
Gelösch: ,	
Gelösch: (2000). ... Subtropical Front fluctuations south of Australia	... [134]
Formatiert	... [133]
Formatiert	... [135]
Gelösch: Micropaleontology	
Gelösch: ,	
Formatiert	... [136]
Gelösch: (2011).	
Formatiert	... [137]
Gelösch: e	
Formatiert	... [138]
Gelösch: (2012).	
Formatiert	... [139]
Gelösch: and ...lanetary	... [140]
Formatiert	... [141]
Gelösch: Science	
Formatiert	... [142]
Gelösch: Letters	
Formatiert	... [143]
Gelösch: (2005). ... Sea-surface temperature and sea ice distribution of the Southern Ocean	... [144]
Formatiert	... [145]
Gelösch: Science	
Formatiert	... [146]
Gelösch: Reviews	
Gelösch: ,	
Formatiert	... [147]
Gelösch: (1985). ... The large-scale environment of the Leeuwin Current	... [148]
Formatiert	... [149]
Gelösch: (2015).... Abrupt changes in the southern extent of North Atlantic Deep Water	... [150]
Formatiert	... [151]
Gelösch: Geoscience	
Formatiert	... [152]
Gelösch: .	
Formatiert	... [153]
Gelösch: (2012).	
Formatiert	... [154]
Formatiert	... [155]
Gelösch: (2008). ... Interlaboratory comparison study of calibration standards for foraminiferal Mg/Ca thermometry	... [156]
Formatiert	... [157]
Gelösch: ,	
Formatiert	... [158]
Gelösch: ics...	... [159]
Formatiert	... [160]
Gelösch:	
Formatiert	... [161]
Gelösch: (2003). ... Determination of intratest variability of trace elements in foraminifera by laser ablation inductively coupled plasma-mass spectrometry	... [162]
Formatiert	... [163]
Formatiert	... [164]

2026 [MARINE20 – The marine radiocarbon age calibration curve \(0–55,000 CAL BP\)](#), *Radiocarbon*, 62 (4), 779–  
2027 820. doi:10.1017/RDC.2020.68. 2020.

2028 Herzfeld, M. and Tomczak, M.: Numerical modelling of sea surface temperature and circulation in the Great  
2029 Australian Bight. *Progr. Oceanogr.*, 39, 29-78, 1997.

2030 Holbrook, N. J., Davidson, J., Feng, M., Hobday, A.J., Lough, J.M., McGregor, S., Power, S., and Risbey, J.S.:  
2031 El Niño-southern oscillation in: *A Marine Climate Change Impacts and Adaptation Report Card for Australia*  
2032 2012, edited by Poloczanska, E., Hobday, A.J., Richardson, A., NCCARF Publication, 2012.

2033 Holbrook, N.J., Goodwin, I.D., McGregor, S., Molina, E., and Power, S.B.: ENSO to multi-decadal time scale  
2034 changes in East Australian Current transports and Fort Denison sea level: Oceanic Rossby waves as the  
2035 connecting mechanism. *Deep Sea Res. Part II*, 58 (5), 547-558. doi:10.1016/j.dsr2.2010.06.007. 2011.

2036 Holloway, P.E. and Nye, H.C.: Leeuwin Current and wind distributions on the southern part of the Australian  
2037 North West Shelf between January 1982 and July 1983. *Aust. J. Mar. Freshwater Res.*, 36, 123-137, 1985.

2038 Howard, W.R. and Prell, W.L.: Late Quaternary surface circulation of the southern Indian Ocean and its  
2039 relationship to orbital variations. *Paleoceanography*, 7 (1), 79-118. <https://doi.org/10.1029/91PA02994>, 1992.

2040 Hut, G.: Consultants' group meeting on stable isotope reference samples for geochemical and hydrological  
2041 investigations. *International Atomic Energy Agency (IAEA)*, 18, 42, 1987.

2042 James, N.P. and Bone, Y.: Neritic carbonate sediments in a temperate realm, Southern Australia. *Springer, Berlin*,  
2043 254 pp., 2011.

2044 James, N.P., Boreen, T.D., Bone, Y., and Feary, D.A.: Holocene carbonate sedimentation on the west Eucla Shelf,  
2045 Great Australian Bight: a shaved shelf. *Sediment. Geol.*, 90, 161-177, 1994.

2046 Johnson, B.J., Miller, G.H., Fogel, M.L., Magee, J.W., Gagan, M.K., and Chivas, A.R.: 65,000 years of vegetation  
2047 change in central Australia and the Australian Summer Monsoon. *Science*, 284, 1150-1152, 1999.

2048 [Kaiser, J. and Lamv, F.: Links between Patagonian Ice Sheet fluctuations and Antarctic dust variability during the](#)  
2049 [last glacial period \(MIS 4-2\). \*Quat. Sci. Rev.\*, 29, 1464-1471. doi:10.1016/j.quascirev.2010.03.005. 2010.](#)

2050 [Karstensen, I. and Quadfasel, D.: Formation of Southern Hemisphere Thermocline Waters: Water Mass](#)  
2051 [Conversion and Subduction. \*J. Phys. Oceanogr.\*, 32, 3020-3038. \[https://doi.org/10.1175/1520-\]\(https://doi.org/10.1175/1520-0485\(2002\)032<3020:FOSHTW>2.0.CO;2\)](#)  
2052 [0485\(2002\)032<3020:FOSHTW>2.0.CO;2. 2002.](#)

2053 Kawahata, H.: Shifts in oceanic and atmospheric boundaries in the Tasman Sea (Southwest Pacific) during the  
2054 Late Pleistocene: Evidence from organic carbon and lithogenic fluxes. *Palaeogeogr. Palaeoclimatol.*  
2055 *Palaeoecol.*, 184 (3), 225-249. doi:10.1016/S0031-0182(01)00412-6. 2002.

2056 Kierman, K., Fink, D., Greig, D., and Mifud, C.: Cosmogenic radionuclide chronology of pre-last glacial cycle  
2057 moraines in the Western Arthur range, Southwest Tasmania. *Quat. Sci. Rev.*, 29 (23-24), 3286-3297, 2010.

2058 Lamy, F., Arz, H.W., Kilian, R., Lange, C.B., Lembke-Jene, L., Wengler, M., Kaiser, J., Baeza-Urrea, O., Hall,  
2059 I.R., Harada, N., and Tiedemann, R.: Glacial reduction and millennial-scale variations in Drake Passage  
2060 throughflow. *Proc. Natl. Acad. Sci. U.S.A.*, 112, 13496–13501, 2015.

2061 Legeckis, R. and Cresswell, G.: Satellite observations of sea-surface temperature fronts off the coast of western  
2062 and southern Australia. *Deep Sea Res.*, 28A, 297-306, 1981.

2063 Li, Q., James, N.P., Bone, Y., and McGowan, B.: Paleooceanographic significance of recent foraminiferal biofacies  
2064 on the southern shelf of Western Australia: a preliminary study. *Palaeoceanogr. Palaeoclimatol. Palaeoecol.*  
2065 147, 101-120, 1999.

Formatiert	... [165]
Gelöscht: ,	
Gelöscht: (1997). ... Numerical modelling of sea surface	[167]
Formatiert	... [166]
Formatiert	... [168]
Gelöscht: in ...ceanography	... [169]
Formatiert	... [170]
Gelöscht: (2012)... El Niño-southern oscillation. In:...	[171]
Formatiert	... [172]
Gelöscht: ...., Goodwin, I.	... [173]
Formatiert	... [174]
Gelöscht: & ...ower, S. .... (2011).	... [175]
Formatiert	... [176]
Gelöscht: -	
Gelöscht: Research	
Formatiert	... [178]
Gelöscht: i-Topical Studies in Oceanography... 58 (5),	[179]
Formatiert	... [177]
Gelöscht: ,	
Formatiert	... [180]
Gelöscht: (1985). ... Leeuwin Current and wind	... [181]
Formatiert	... [182]
Gelöscht: Journal	
Formatiert	... [183]
Gelöscht: of ...arine	... [184]
Formatiert	... [185]
Gelöscht: and ...reshwater Research	... [186]
Gelöscht: ,	
Formatiert	... [187]
Gelöscht: (1992).	
Gelöscht: ....	... [189]
Formatiert	... [188]
Feldfunktion geändert	... [190]
Formatiert	... [191]
Gelöscht: (1987).	
Formatiert	... [192]
Gelöscht: (...8)	... [193]
Gelöscht: ,	
Formatiert	... [194]
Gelöscht: (2011).	
Formatiert	... [195]
Formatiert	... [196]
Gelöscht: (1994). ... Holocene carbonate sedimentation	[197]
Formatiert	... [198]
Gelöscht: Geology	
Formatiert	... [199]
Gelöscht: (1999).	
Formatiert	... [200]
Gelöscht: Jonkers, L., Kucera, M. (2015). Global analysis	[201]
Formatiert	... [202]
Formatiert	... [203]
Gelöscht: ,	
Formatiert	... [204]
Gelöscht: (2002)... Formation of Southern Hemisphere	[205]
Formatiert	... [206]
Gelöscht: Physical	
Formatiert	... [207]
Gelöscht: Oceanography... ceanogr., 32, 3020-3038,...	[208]
Feldfunktion geändert	... [209]
Gelöscht: .	
Gelöscht: (2002).	
Gelöscht: aphy	
Formatiert	... [212]

2219 Lisiecki, E.L. and Raymo, M.E.: A Pliocene-Pleistocene stack of 57 globally distributed benthic  $\delta^{18}\text{O}$  records.  
2220 *Paleoceanography*, 20, PA1003, <https://doi.org/10.1029/2004PA001071>, 2005.

2221 Locarnini, R.A., Mishonov, A.V., Baranova, O.K., Boyer, T.P., Zweng, M.M., Garcia, H.E., Reagan, J.R., Seidov,  
2222 D., Weathers, K.W., Paver, C.R., and Smolyar, I.V.: Temperature. NOAA Atlas NESDIS, in: *World Ocean*  
2223 *Atlas 2018 (1)*, edited by Levitus, S., 2018.

2224 Lohmann, G.P. and Schweitzer, P.N.: *Globorotalia truncatulinoides* growth and chemistry as probes of the past  
2225 thermocline: 1. Shell size. *Paleoceanography*, 5 (1), 55-75, 1990.

2226 Lopes dos Santos, A.R., Wilkins, D., De Deckker, P., and Schouten, S.: Late Quaternary productivity changes  
2227 from offshore southern Australia: a biomarker approach. *Palaeoceanogr. Palaeoclimatol. Palaeoecol.*, 363-364,  
2228 48-56, 2012.

2229 Lopes dos Santos, A.R., De Deckker, P., Hopmans, E.C., Magee, J.W., Mets, A., Sinninghe Damsté, J.S., and  
2230 Schouten, S.: Abrupt vegetation change after the Late Quaternary megafaunal extinction in south-eastern  
2231 Australia. *Nat. Geosci.*, 6, 627-631, 2013.

2232 Marshall, G.J.: Trends in the southern annular mode from observations and reanalyses. *J. Clim.*, 16, 4134-4143,  
2233 2003.

2234 Martinez, J.I., De Deckker, P., and Barrows, T.: Paleooceanography of the Last glacial maximum in the eastern  
2235 Indian Ocean: planktonic foraminifera evidence. *Palaeoceanogr. Palaeoclimatol. Palaeoecol.*, 147, 73-99, 1999.

2236 Martinson, D.G., Pisias, N.G., Hays, J.D., Imbrie, J., Moore, T., and Shackleton, N.J.: Age dating and the orbital  
2237 theory of the Ice Ages: Development of a high resolution 0 to 30,000-year chronostratigraphy. *Quat. Res.*, 27  
2238 (1), 1-29, 1987.

2239 McCartney, M.S.: Subantarctic Mode Water, in: *A Voyage of Discovery*, edited by Angel, M., Supplement to  
2240 *Deep Sea Res.*, 24, 103-119, 1977.

2241 McCartney, M.S. and Donohue, K.A.: A deep cyclonic gyre in the Australian-Antarctic Basin. *Progr. Oceanogr.*,  
2242 75 (4), 675-750, 2007.

2243 McClatchie, S., Middleton, J., Pattiaratchi, C., Currie, D., and Kendrick G.: The south-west marine region:  
2244 ecosystems and key species groups. Department of the Environment and Water Resources, ISBN  
2245 9780642553815, <https://www.researchgate.net/publication/235223445>, 2006.

2246 Meyers, G., Bailey, R.J., and Worby, A.P.: Geostrophic transport of Indonesian Throughflow. *Deep Sea Res. Part*  
2247 *I*, 42, 1163-1174, 1995.

2248 Michel, E., De Deckker, P., and Nürnberg, D.: MD131 / AUSCAN cruise, RV Marion Dufresne.  
2249 <https://doi.org/10.17600/3200090>, 2003.

2250 Middleton, J.F. and Cirano, M.: A northern boundary current along Australia's southern shelves: Flinders Current.  
2251 *J. Geophys. Res.: Oceans*, 107 (C9), 3129, doi:10.1029/2000JC000701, 2002.

2252 Middleton, J.F. and Platov, G.: The mean summertime circulation along Australia's southern shelves: a numerical  
2253 study. *J. Phys. Oceanogr.*, 33 (11), 2270-2287, 2003.

2254 Middleton, J.F. and Bye, J.A.T.: A review of the shelf-slope circulation along Australia's southern shelves: Cape  
2255 Leeuwin to Portland. *Progr. Oceanogr.*, 75 (1), 1-41, 2007.

2256 Miller, G.H., Fogel, M.L., Magee, J.W., Gagan, M.K., Clarke, S.J., and Johnson, B.J.: Ecosystem collapse in  
2257 Pleistocene Australia and a human role in megafaunal extinction. *Science*, 309, 287-290, doi:  
2258 10.1126/science.1111288, 2005.

Gelöscht: ,	
Gelöscht: (2005).	
Formatiert	... [231]
Formatiert	... [232]
Gelöscht: ...0, PA1003.	... [233]
Feldfunktion geändert	... [234]
Gelöscht: Locarnini, R.A., Mishonov, A.V., Antonov, J.	... [235]
Formatiert	... [236]
Gelöscht: (2018). ... Temperature. NOAA Atlas NESDIS	... [237]
Formatiert	... [238]
Gelöscht: Levitus, S. (Ed.),	
Gelöscht: , ... and Schweitzer, P.N. (1990).	... [239]
Formatiert	... [240]
Gelöscht: '... growth and chemistry as probes of the pas	... [241]
Gelöscht: and Paloclimatology... 5 (1), 55-75, 1990...	... [243]
Formatiert	... [242]
Formatiert	... [244]
Formatiert	... [245]
Formatiert	... [246]
Gelöscht: (2013). ... Abrupt vegetation change after the	... [247]
Gelöscht: Geoscience... eosci.,	... [249]
Formatiert	... [248]
Gelöscht: Lopes dos Santos, A.R., Wilkins, D., De Deck	... [250]
Formatiert	... [251]
Formatiert	... [252]
Formatiert	... [253]
Gelöscht: (1999). ... Paleooceanography of the Last glaci	... [254]
Formatiert	... [255]
Gelöscht: .	
Formatiert	... [256]
Gelöscht: c...ackleton, N.J. (1987)... Age dating and the	... [257]
Formatiert	... [258]
Gelöscht: Research...es.,	... [259]
Gelöscht: McBride, J.L. The Australian summer monsoo	... [260]
Formatiert	... [261]
Gelöscht:	
Formatiert	... [262]
[5] verschoben (Einfügung)	
Gelöscht: .	
Formatiert	... [263]
Gelöscht: (Ed.),	
[5] nach oben verschoben: A Voyage of Discovery.	
Formatiert	... [264]
Gelöscht: Research	
Formatiert	... [265]
Gelöscht:	
Formatiert	... [266]
Gelöscht: (2007). ... A deep cyclonic gyre in the	... [267]
Formatiert	... [268]
Gelöscht: in ...ceanography...,	... [269]
Formatiert	... [270]
Gelöscht: (2006) ... The south-west marine region: ...	... [271]
Feldfunktion geändert	... [272]
Gelöscht: McKenna, V.S., Prell, W.L. (2004). Calibration	... [273]
Formatiert	... [274]
Gelöscht: (1995).	
Formatiert	... [275]
Gelöscht: -	
Formatiert	... [276]
Gelöscht: Research	
Formatiert	... [277]
Gelöscht: , Part 1	
Gelöscht: (2003)	



2439	Miller, G., Magee, J., Smith, M., Spooner, N., Baynes, A., Lehman, S., Fogel, M., Johnston, H., Williams, D., Clark, P., Florian, C., Holst, R., and deVogel, S.; Human predation contributed to the extinction of the Australian megafaunal bird <i>Genyornis newtoni</i> ~47 ka. <i>Nat. Commun.</i> , 7, 10496, 2016.	Gelöscht: et al. (2016). ... Human predation contributed to the extinction of the Australian megafaunal bird <i>Genyornis newtoni</i> ~47 ka. <i>Nat. Commun.</i> , 7, 10496, 2016. [296] Formatiert ... [295]
2440	Clark, P., Florian, C., Holst, R., and deVogel, S.; Human predation contributed to the extinction of the Australian megafaunal bird <i>Genyornis newtoni</i> ~47 ka. <i>Nat. Commun.</i> , 7, 10496, 2016.	Gelöscht: (2016). ... Human predation contributed to the extinction of the Australian megafaunal bird <i>Genyornis newtoni</i> ~47 ka. <i>Nat. Commun.</i> , 7, 10496, 2016. [297] Gelöscht: Science Formatiert ... [298]
2441	Mooney, S.D., Harrison, S.P., Bartlein, P.J. et al.; Late Quaternary fire regimes of Australasia. <i>Quat. Sci. Rev.</i> , doi:10.1016/j.quascirev.2010.10.010, 2010.	Formatiert ... [299] Gelöscht: Reviews...ev., ... [300] Formatiert ... [301]
2442	Mooney, S.D., Harrison, S.P., Bartlein, P.J. et al.; Late Quaternary fire regimes of Australasia. <i>Quat. Sci. Rev.</i> , doi:10.1016/j.quascirev.2010.10.010, 2010.	Gelöscht: (2009). Formatiert ... [302]
2443	Moros, M., De Deckker, P., Jansen, E., Perner, K., and Telford, R.; Holocene climate variability in the Southern Ocean recorded in a deep-sea sediment core off South Australia. <i>Quat. Sci. Rev.</i> , 28, 1932-1940, 2009.	Gelöscht: Quaternary Science Reviews Formatiert ... [303]
2444	Moros, M., De Deckker, P., Jansen, E., Perner, K., and Telford, R.; Holocene climate variability in the Southern Ocean recorded in a deep-sea sediment core off South Australia. <i>Quat. Sci. Rev.</i> , 28, 1932-1940, 2009.	Gelöscht: Formatiert ... [304]
2445	Moss, P.T., Tibby, J., Petherick, L.M., McGowan, H.A., and Barr, C.; Late Quaternary vegetation history of the sub-tropics of Eastern Australia. <i>Quat. Sci. Rev.</i> , 74, 257-272, 2013.	Gelöscht: (2013).... Late Quaternary vegetation history of the sub-tropics of Eastern Australia. <i>Quat. Sci. Rev.</i> , 74, 257-272, 2013. [305] Formatiert ... [306]
2446	Moy, C.M., Seltzer, G.O., Rodbell, D.T., and Anderson, D.M.; Variability of El Nino/Southern Oscillation activity at millennial timescales during the Holocene epoch. <i>Nature</i> , 420, 162-165, 2002.	Formatiert ... [307] Gelöscht: (2002). Formatiert ... [308]
2447	Moy, C.M., Seltzer, G.O., Rodbell, D.T., and Anderson, D.M.; Variability of El Nino/Southern Oscillation activity at millennial timescales during the Holocene epoch. <i>Nature</i> , 420, 162-165, 2002.	Gelöscht: (1961). ... Hydrology of south-east Australian waters: Bass Strait and New South Wales tuna fishing area. <i>Fish. Oceanogr. Techn. Papers</i> , 10, 22 pp., 1961. [309] Formatiert ... [310]
2448	Moy, C.M., Seltzer, G.O., Rodbell, D.T., and Anderson, D.M.; Variability of El Nino/Southern Oscillation activity at millennial timescales during the Holocene epoch. <i>Nature</i> , 420, 162-165, 2002.	Gelöscht: Oceanography Formatiert ... [311]
2449	Newell, B.S.; Hydrology of south-east Australian waters: Bass Strait and New South Wales tuna fishing area. CSIRO Div. <i>Fish. Oceanogr. Techn. Papers</i> , 10, 22 pp., 1961.	Gelöscht: Technical Formatiert ... [312]
2450	Newell, B.S.; Hydrology of south-east Australian waters: Bass Strait and New South Wales tuna fishing area. CSIRO Div. <i>Fish. Oceanogr. Techn. Papers</i> , 10, 22 pp., 1961.	Gelöscht: Nürnberg, D., Bijma, J., Hemleben, C. (1996). Formatiert ... [313]
2451	Nürnberg, D., Brughmans, N., and Schönfeld, J.; Paleo-export production, terrigenous flux, and sea surface temperatures around Tasmania – Implications for glacial/interglacial changes in the Subtropical Convergence Zone. <i>Geophys. Monogr. Ser.</i> , 151, 291-318, 2004.	Gelöscht: (2004). Formatiert ... [314]
2452	Nürnberg, D., Brughmans, N., and Schönfeld, J.; Paleo-export production, terrigenous flux, and sea surface temperatures around Tasmania – Implications for glacial/interglacial changes in the Subtropical Convergence Zone. <i>Geophys. Monogr. Ser.</i> , 151, 291-318, 2004.	Formatiert ... [315] Gelöscht: Geophysical Gelöscht: Monograph Formatiert ... [317]
2453	Nürnberg, D., Brughmans, N., and Schönfeld, J.; Paleo-export production, terrigenous flux, and sea surface temperatures around Tasmania – Implications for glacial/interglacial changes in the Subtropical Convergence Zone. <i>Geophys. Monogr. Ser.</i> , 151, 291-318, 2004.	Gelöscht: Series Formatiert ... [316]
2454	Nürnberg, D., and Groeneveld, J.; Pleistocene variability of the Subtropical Convergence at East Tasman Plateau: evidence from planktonic foraminiferal Mg/Ca (ODP Site 1172A). <i>Geochem. Geophys. Geosystems</i> , 7, Q04P11, <a href="http://dx.doi.org/10.1029/2005GC000984">http://dx.doi.org/10.1029/2005GC000984</a> , 2006.	Gelöscht: , Formatiert ... [318]
2455	Nürnberg, D., Ziegler, M., Karas, C., Tiedemann, R., and Schmidt, M.W.; Interacting Loop Current variability and Mississippi River discharge over the past 400 kyr. <i>Earth Planet. Sci. Lett.</i> , 272 (1–2), 278–289, <a href="https://doi.org/10.1016/j.epsl.2008.04.051">https://doi.org/10.1016/j.epsl.2008.04.051</a> , 2008.	Gelöscht: (2006). ... Pleistocene variability of the Subtropical Convergence at East Tasman Plateau: evidence from planktonic foraminiferal Mg/Ca (ODP Site 1172A). <i>Geochem. Geophys. Geosystems</i> , 7, Q04P11, <a href="http://dx.doi.org/10.1029/2005GC000984">http://dx.doi.org/10.1029/2005GC000984</a> , 2006. [319] Formatiert ... [320]
2456	Nürnberg, D., Ziegler, M., Karas, C., Tiedemann, R., and Schmidt, M.W.; Interacting Loop Current variability and Mississippi River discharge over the past 400 kyr. <i>Earth Planet. Sci. Lett.</i> , 272 (1–2), 278–289, <a href="https://doi.org/10.1016/j.epsl.2008.04.051">https://doi.org/10.1016/j.epsl.2008.04.051</a> , 2008.	Gelöscht: , Formatiert ... [321]
2457	Nürnberg, D., Ziegler, M., Karas, C., Tiedemann, R., and Schmidt, M.W.; Interacting Loop Current variability and Mississippi River discharge over the past 400 kyr. <i>Earth Planet. Sci. Lett.</i> , 272 (1–2), 278–289, <a href="https://doi.org/10.1016/j.epsl.2008.04.051">https://doi.org/10.1016/j.epsl.2008.04.051</a> , 2008.	Gelöscht: Geophysics Formatiert ... [322]
2458	Nürnberg, D., Böschen, T., Doering, K., Mollier-Vogel, E., Raddatz, J., and Schneider, R.; Sea surface and subsurface circulation dynamics off equatorial Peru during the last ~17 kyr. <i>Paleoceanography</i> , 30 (7), 984–999, 2015.	Gelöscht: , Formatiert ... [323]
2459	Nürnberg, D., Böschen, T., Doering, K., Mollier-Vogel, E., Raddatz, J., and Schneider, R.; Sea surface and subsurface circulation dynamics off equatorial Peru during the last ~17 kyr. <i>Paleoceanography</i> , 30 (7), 984–999, 2015.	Gelöscht: (2008). Formatiert ... [324]
2460	Nürnberg, D., Riff, T., Bahr, A., Karas, C., Meier, K., and Jippold, J.; Western boundary current in relation to Atlantic Subtropical Gyre dynamics during abrupt glacial climate fluctuations. <i>Global Planet. Change</i> , 201, doi:10.1016/j.gloplacha.2021.103497, 2021.	Gelöscht: and ...lanetary Formatiert ... [325] Formatiert ... [326] Gelöscht: Science Formatiert ... [327]
2461	Nürnberg, D., Riff, T., Bahr, A., Karas, C., Meier, K., and Jippold, J.; Western boundary current in relation to Atlantic Subtropical Gyre dynamics during abrupt glacial climate fluctuations. <i>Global Planet. Change</i> , 201, doi:10.1016/j.gloplacha.2021.103497, 2021.	Gelöscht: Letters Formatiert ... [328]
2462	Nürnberg, D., Riff, T., Bahr, A., Karas, C., Meier, K., and Jippold, J.; Western boundary current in relation to Atlantic Subtropical Gyre dynamics during abrupt glacial climate fluctuations. <i>Global Planet. Change</i> , 201, doi:10.1016/j.gloplacha.2021.103497, 2021.	Gelöscht: , Feldfunktion geändert ... [329] Formatiert ... [330]
2463	Nürnberg, D., Kayode, A., Meier, K.J.F., and Karas, C.; Stable isotopes and Mg/Ca ratios of planktonic foraminiferal species ( <i>G. truncatulinoides</i> , <i>O. universa</i> , <i>G. ruber</i> ) from sediment core MD03-2416G, PANGAEA, <a href="https://doi.pangaea.de/10.1594/PANGAEA.943197">https://doi.pangaea.de/10.1594/PANGAEA.943197</a> , 2022a.	Gelöscht: (2015). Formatiert ... [331]
2464	Nürnberg, D., Kayode, A., Meier, K.J.F., and Karas, C.; Stable isotopes and Mg/Ca ratios of planktonic foraminiferal species ( <i>G. truncatulinoides</i> , <i>O. universa</i> , <i>G. ruber</i> ) from sediment core MD03-2416G, PANGAEA, <a href="https://doi.pangaea.de/10.1594/PANGAEA.943197">https://doi.pangaea.de/10.1594/PANGAEA.943197</a> , 2022a.	Gelöscht: Formatiert ... [332]
2465	Nürnberg, D., Kayode, A., Meier, K.J.F., and Karas, C.; Stable isotopes and Mg/Ca ratios of planktonic foraminiferal species ( <i>G. truncatulinoides</i> , <i>O. universa</i> , <i>G. ruber</i> ) from sediment core MD03-2416G, PANGAEA, <a href="https://doi.pangaea.de/10.1594/PANGAEA.943197">https://doi.pangaea.de/10.1594/PANGAEA.943197</a> , 2022a.	Gelöscht: (2021). Formatiert ... [333]
2466	Nürnberg, D., Kayode, A., Meier, K.J.F., and Karas, C.; Stable isotopes and Mg/Ca ratios of planktonic foraminiferal species ( <i>G. truncatulinoides</i> , <i>O. universa</i> , <i>G. ruber</i> ) from sediment core MD03-2416G, PANGAEA, <a href="https://doi.pangaea.de/10.1594/PANGAEA.943199">https://doi.pangaea.de/10.1594/PANGAEA.943199</a> , 2022b.	Feldfunktion geändert ... [334]
2467	Paillard, D., Labeyrie, L., and Yiou, P.; Macintosh program performs time-series analysis. <i>Eos Transactions AGU</i> , 77, 379, 1996.	
2468	Paillard, D., Labeyrie, L., and Yiou, P.; Macintosh program performs time-series analysis. <i>Eos Transactions AGU</i> , 77, 379, 1996.	
2469	Passlow V., Pinxian, W., and Chivas, A.R.; Late Quaternary paleoenvironment near Tasmania, southern Australia. <i>Palaeogeogr. Palaeoclimatol. Palaeoecol.</i> , 131, 433-463, 1997.	
2470	Passlow V., Pinxian, W., and Chivas, A.R.; Late Quaternary paleoenvironment near Tasmania, southern Australia. <i>Palaeogeogr. Palaeoclimatol. Palaeoecol.</i> , 131, 433-463, 1997.	
2471	Pattiaratchi, C., and Woo, M.; The mean state of the Leeuwin Current system between North West Cape and Cape Leeuwin. <i>J. R. Soc. West. Aust.</i> , 92, 221-241, 2009.	
2472	Pattiaratchi, C., and Woo, M.; The mean state of the Leeuwin Current system between North West Cape and Cape Leeuwin. <i>J. R. Soc. West. Aust.</i> , 92, 221-241, 2009.	
2473	Pattiaratchi, C., and Woo, M.; The mean state of the Leeuwin Current system between North West Cape and Cape Leeuwin. <i>J. R. Soc. West. Aust.</i> , 92, 221-241, 2009.	
2474	Pattiaratchi, C., and Woo, M.; The mean state of the Leeuwin Current system between North West Cape and Cape Leeuwin. <i>J. R. Soc. West. Aust.</i> , 92, 221-241, 2009.	
2475	Pattiaratchi, C., and Woo, M.; The mean state of the Leeuwin Current system between North West Cape and Cape Leeuwin. <i>J. R. Soc. West. Aust.</i> , 92, 221-241, 2009.	
2476	Pattiaratchi, C., and Woo, M.; The mean state of the Leeuwin Current system between North West Cape and Cape Leeuwin. <i>J. R. Soc. West. Aust.</i> , 92, 221-241, 2009.	
2477	Pattiaratchi, C., and Woo, M.; The mean state of the Leeuwin Current system between North West Cape and Cape Leeuwin. <i>J. R. Soc. West. Aust.</i> , 92, 221-241, 2009.	
2478	Pattiaratchi, C., and Woo, M.; The mean state of the Leeuwin Current system between North West Cape and Cape Leeuwin. <i>J. R. Soc. West. Aust.</i> , 92, 221-241, 2009.	

2622 Pedro, J.B., van Ommen, T.D., Rasmussen, S.O., Morgan, V.I., Chappellaz, J., Moy, A.D., and Masson-Delmotte,  
2623 V.: The last deglaciation: Timing the bipolar seasaw. *Clim. Past*, 7, 671-683, 2011.

2624 Perner, K., Moros, M., De Deckker, P., Blanz, T., Wacker, L., Telford, R., Siegel, H., Schneider, R., and Jansen,  
2625 E.: Heat export from the tropic drives mid to late Holocene paleoceanographic changes offshore southern  
2626 Australia. *Quat. Sci. Rev.*, 180, 96-110, 2018.

2627 Petherick, L., Bostock, H., Cohen, T.J., Fitzsimmons, K., Tibby, J., Fletcher, M., Fletcher, S., Moss, P., Reeves,  
2628 J., Mooney, S., Barrows, T., Kemp, J., Jansen, J., Nanson, G., and Dosseto, A.: Climatic records over the past  
2629 30 ka from temperate Australia – a synthesis from the Oz-INTIMATE workgroup. *Quat. Sci. Rev.*, 74, 58-77,  
2630 2013.

2631 Regenberg, M., S. Steph. D. Nürnberg, R. Tiedemann, and Garbe-Schönberg, D.: Calibrating Mg/Ca ratios of  
2632 multiple planktonic foraminiferal species with  $\delta^{18}\text{O}$ -calcification temperatures: Paleothermometry for the upper  
2633 water column. *Earth Planet. Sci. Lett.*, 278 (3), 324-336, 2009.

2634 Reißig, S., Nürnberg, D., Bahr, A., Poggemann, D.-W., and Hoffmann, J.: Southward displacement of the North  
2635 Atlantic subtropical gyre circulation system during North Atlantic cold spells. *Paleoceanogr. Paleoclimatol.*, 34,  
2636 <https://doi.org/10.1029/2018PA003376>, 2019.

2637 Richardson, L.E., Middleton, J.F., Kyser, T.K., James, N.P., and Opdyke, B.N.: Water masses and their seasonal  
2638 variation on the Lincoln Shelf, South Australia. *Limnol. Oceanogr.*, 63 (5), 1944-1963,  
2639 <https://doi.org/10.1002/lno.10817>, 2018.

2640 Richardson, L.E., Middleton, J.F., Kyser, T.K., James, N.P., and Opdyke, B.N.: Shallow water masses and their  
2641 connectivity along the southern Australian continental margin. *Deep Sea Res. Part I*, 152, 103083,  
2642 <https://doi.org/10.1016/j.dsr.2019.103083>, 2019.

2643 Ridgway, K.R.: Seasonal circulation around Tasmania: an interface between eastern and western boundary  
2644 dynamics. *J. Geophys. Res.*, 112, C10016. <https://doi.org/10.1029/2006JC003898>, 2007.

2645 Ridgway, K.R., and Condie, S.A.: The 5500-km-long boundary flow off western and southern Australia. *J.*  
2646 *Geophys. Res.: Oceans*, 109 (C4), C04017, 2004.

2647 Rintoul, S.R., and Bullister, J.L.: A late winter hydrographic section from Tasmania to Antarctica. *Deep Sea Res.*  
2648 *Part I*, 46, 1417-1454, 1999.

2649 Rintoul, S.R., and Sokolov, S.: Baroclinic transport variability of the Antarctic Circumpolar Current south of  
2650 Australia (WOCE repeat section SR3). *J. Geophys. Res.*, 106 (C2), 2815-2832, 2001.

2651 Rintoul, S.R., and England, M.H.: Ekman transport dominates local air-sea fluxes in driving variability of  
2652 Subantarctic Mode Water. *J. Phys. Oceanogr.*, 32, 1308-1321, 2002.

2653 Roberts, J., McCave, I., McClymont, E., Kender, S., Hillenbrand, C.-D., Matano, R., Hodell, D.A., and Peck, V.:  
2654 Deglacial changes in flow and frontal structure through the Drake Passage. *Earth Planet. Sci. Lett.*, 474, 397-  
2655 408, 2017.

2656 Rochford, J.: Seasonal changes in the distribution of Leeuwin Current waters off southern Australia. *Aust. J. Mar.*  
2657 *Freshwater Res.*, 37, 1-10, 1986.

2658 Rule, S., Brook, B.W., Haberle, S.G., Turney, C.S.M., Kershaw, A.P., and Johnson, C.N.: The aftermath of  
2659 megafaunal extinction: Ecosystem transformation in Pleistocene Australia. *Science*, 335, 1483-1486. doi:  
2660 10.1126/science.1214261, 2012.

Gelöscht: Pattiaratchi, C.B., Siji, P. (2020). Variability in	[358]
Formatiert	... [359]
Gelöscht: (2011). ... The last deglaciation: Timing the	[360]
Formatiert	... [361]
Gelöscht: of the	
Formatiert	... [362]
Gelöscht: (2018).	
Formatiert	... [363]
Gelöscht: Quaternary	
Formatiert	... [364]
Gelöscht: Science	
Formatiert	... [365]
Gelöscht: Reviews	
Formatiert	... [366]
Gelöscht: (2013). ... Climatic records over the past 30	[367]
Formatiert	... [368]
Formatiert	... [369]
Gelöscht: (2009).	
Formatiert	... [370]
Gelöscht: and ...lanetary	... [371]
Formatiert	... [372]
Gelöscht: Science	
Formatiert	... [373]
Gelöscht: Letters	
Formatiert	... [374]
Formatiert	... [375]
Gelöscht: Reißig, S., Nürnberg, D., Bahr, A., Poggemann	[376]
Formatiert	... [377]
Gelöscht: (2018). ... Water masses and their seasonal	[378]
Formatiert	... [379]
Gelöscht: and ...ceanography... , 63 (5), 1944-1963,...	[380]
Feldfunktion geändert	... [381]
Formatiert	... [382]
Formatiert	... [383]
Gelöscht: (2019).	
Formatiert	... [384]
Gelöscht: -	
Formatiert	... [385]
Gelöscht: Research...es. Part I, Part I	... [386]
Feldfunktion geändert	... [387]
Formatiert	... [388]
Gelöscht: (2007). ... Seasonal circulation around Tasma	[389]
Formatiert	... [390]
Gelöscht: Geophysical	
Formatiert	... [391]
Gelöscht: Research...es., 112, C10016.	... [392]
Feldfunktion geändert	... [393]
Gelöscht: ,	
Formatiert	... [394]
Gelöscht: (2004). ... The 5500-km-long boundary flow	[395]
Formatiert	... [396]
Gelöscht: ,	
Formatiert	... [397]
Gelöscht: (1999).	
Formatiert	... [398]
Gelöscht: Research	
Formatiert	... [399]
Gelöscht: ,	
Formatiert	... [400]
Gelöscht: (2001). ... Baroclinic transport variability of	[401]
Formatiert	... [402]
Gelöscht: ,	
Gelöscht: (2002). ... Ekman transport dominates local	[404]
Formatiert	... [405]

2809 Saltré, F., Rodríguez-Rey, M., Brook, B.W., et al.: Climate change not to blame for late Quaternary megafauna  
2810 extinctions in Australia. *Nat. Commun.*, 7, 10511, doi: 10.1038/ncomms10511, 2016.

2811 Schlitzer, R.: Ocean Data View. Available at: <http://odv.awi.de>, 2019.

2812 Schmidt, G.A., Bigg, G.R., and Rohling, E.J.: Global Seawater Oxygen-18 Database - v1.22.  
2813 <https://data.giss.nasa.gov/o18data/>, 1999.

2814 Schmidt, M.W., and Lynch-Stieglitz, J.: Florida Straits deglacial temperature and salinity change: Implications for  
2815 tropical hydrologic cycle variability during the Younger Dryas. *Paleoceanography*, 26, PA4205,  
2816 <https://doi.org/10.1029/2011PA002157>, 2011.

2817 Schodlok, M.P., and Tomczak, M.: The circulation south of Australia derived from an inverse model. *Geophys.  
2818 Res. Lett.*, 24 (22), 2781-2784, 1997.

2819 Shi, J.-R., Talley, L. D., Xie, S.-P., Liu, W., and Gille, S.T.: Effects of buoyancy and wind forcing on Southern  
2820 Ocean climate change. *J. Clim.*, 33 (23), 10003-10020, <http://dx.doi.org/10.1175/JCLI-D-19-0877.1>, 2020.

2821 Singh, G., Kershaw, A.P., and Clark, P.: Quaternary vegetation and fire history in Australia, in: *Fire in the  
2822 Australian biota*, edited by Gill, A.M., Groves, R.H., Noble, I.R., Australian Academy of Science, Canberra, 23-  
2823 54, 1981.

2824 Smith, M.: *The Archaeology of Australia's Deserts* (Cambridge Univ. Press), ISBN 9781139023016,  
2825 doi: <https://doi.org/10.1017/CBO9781139023016>, 2013.

2826 Smith, R., Huyer, A., Godfrey, S., and Church, A.J.: The Leeuwin Current off western Australia, 1986-1987.  
2827 *Phys. Oceanogr.*, 21, 323-345, 1991.

2828 Speich, S., Blanke, B., de Vries, P., Drijfhout, S., Döös, K., Ganachaud, A., and Marsh, R.: Tasman leakage: a  
2829 new route in the global ocean conveyor belt. *Geophys. Res. Lett.*, 29 (10), 1416,  
2830 <https://doi.org/10.1029/2001GL014586>, 2002.

2831 Spooner, M.I., De Deckker, P., Barrows, T.T., and Fifield, K.L.: The behaviour of the Leeuwin Current offshore  
2832 NW Australia during the last five glacial-interglacial cycles. *Glob. Planet. Change*, 75, 119-132, 2011.

2833 Sprintall, J., and Tomczak, M.: On the formation of central water and thermocline ventilation in the southern  
2834 hemisphere. *Deep Sea Res. Part I*, 40, 827-848, [https://doi.org/10.1016/0967-0637\(93\)90074-D](https://doi.org/10.1016/0967-0637(93)90074-D), 1993.

2835 Suppiah, R.: The Australian summer monsoon: A review. *Progr. Phys. Geogr.*, 16, 283-318, 1992.

2836 Stuiver, M. and Reimer, P.J.: *CALIB rev. 8. Radiocarbon*, 35, 215-230, 1992.

2837 Tedesco, K.A., and Thunell, R.C.: Seasonal and interannual variations in planktonic foraminiferal flux and  
2838 assemblage composition in the Cariaco Basin, Venezuela. *J. Foram. Res.*, 33 (3), 192-210, 2003.

2839 Thompson, R.: Observations of the Leeuwin Current off Western Australia. *J. Phys. Oceanogr.*, 14, 623-628,  
2840 1984.

2841 Tobler, R., Rohrlach, A., Soubrier, J. et al.: Aboriginal mitogenomes reveal 50,000 years of regionalism in  
2842 Australia. *Nature* 544, 180-184, doi:10.1038/nature21416, 2017.

2843 Toggweiler, J.R., Russell, J.L., and Carson, S.R.: Midlatitude westerlies, atmospheric CO<sub>2</sub>, and climate change  
2844 during the ice ages. *Paleoceanogr. Paleoclimatol.*, 21, PA2005, <https://doi.org/10.1029/2005PA001154>, 2006.

2845 Tudhope, A.W., Chilcott, C.P., and McCulloch, M.T.: Variability in the El Niño-Southern Oscillation through a  
2846 glacial-interglacial cycle. *Science*, 291, 1511, doi: 10.1126/science.1057969, 2001.

Gelöscht: (2016). ... Climate change not to blame for late Quaternary megafauna extinctions in Australia. <i>Nat. Commun.</i> , 7, 10511. ...	[421]
Gelöscht: <i>Communications...ommun.</i> , 7, 10511. ...	[423]
Formatiert	[422]
Gelöscht: , 2019.	[424]
Feldfunktion geändert	[424]
Gelöscht: .	[425]
Gelöscht: (1999).	[425]
Formatiert	[425]
Feldfunktion geändert	[426]
Gelöscht: .	[427]
Gelöscht: , ... and Lynch-Stieglitz, J. (2011). ...	[427]
Formatiert	[428]
Gelöscht: .	[429]
Feldfunktion geändert	[429]
Gelöscht: ,.	[430]
Formatiert	[430]
Gelöscht: (1997). ... The circulation south of Australia ...	[431]
Formatiert	[432]
Gelöscht: Research	[433]
Formatiert	[433]
Gelöscht: Letters	[434]
Formatiert	[434]
Gelöscht: .... (2020). ... Effects of buoyancy and wind forcing on Southern Ocean climate change. <i>J. Clim.</i> , 33 (23), 10003-10020. ...	[435]
Gelöscht: <i>Climate...lim.</i> , ...	[437]
Formatiert	[436]
Formatiert	[438]
Feldfunktion geändert	[439]
Formatiert	[440]
Gelöscht: <a href="https://doi.org/10.1175/JCLI-D-19-0877.1">https://doi.org/10.1175/JCLI-D-19-0877.1</a> . ...	[441]
Formatiert	[441]
Gelöscht: (1981)... Quaternary vegetation and fire history in Australia. ...	[442]
Formatiert	[442]
Formatiert	[444]
Gelöscht: (Eds.), <i>Fire in the Australian biota</i> . ...	[445]
Formatiert	[445]
Formatiert	[446]
Formatiert	[447]
Gelöscht: (2013). ...	[448]
Formatiert	[448]
Gelöscht: , 2013	[449]
Formatiert	[449]
Gelöscht: ¶	[450]
Formatiert	[450]
Gelöscht: (1991). ... The Leeuwin Current off western Australia. ...	[451]
Formatiert	[452]
Gelöscht: Physical	[453]
Formatiert	[453]
Gelöscht: Oceanography	[454]
Formatiert	[454]
Gelöscht: (2002). ... Tasman leakage: a new route in the Tasman Sea. ...	[455]
Formatiert	[456]
Gelöscht: Research	[457]
Formatiert	[457]
Gelöscht: <i>Letters...ett.</i> , 29 (10), 1416. ...	[458]
Feldfunktion geändert	[459]
Formatiert	[460]
Gelöscht: (2011). ... The behaviour of the Leeuwin Current off western Australia. ...	[461]
Formatiert	[462]
Gelöscht: and ...lanetary	[463]
Formatiert	[464]
Gelöscht: ,.	[465]
Formatiert	[465]
Gelöscht: (1993). ...	[466]
Feldfunktion geändert	[467]

2996 van der Kaars, S., Miller, G.H., Turney, C.S.M., Cook, J.E., Nürnberg, D., Schönfeld, J., Kershaw, A.P., and  
 2997 Lehman, S.J.: Human rather than climate the primary cause of Pleistocene megafaunal extinction in Australia.  
 2998 *Nat. Commun.*, 8, 14142, <https://doi.org/10.1038/ncomms14142>, 2017.

2999 Vaux, D. and Olsen, A.M.: Use of drift bottles in fisheries research. *Aust. Fish. Newslett.*, 20, 17-20, 1961.

3000 WAIS Divide Project Members: Onset of deglacial warming in West Antarctica driven by local orbital forcing.  
 3001 *Nature*, 500, 400-444, doi:10.1038/nature12376, 2013.

3002 Wandres, M.: The influence of atmospheric and ocean circulation variability on the southwest Western Australian  
 3003 wave climate. *Ph.D. Thesis*, The University of Western Australia, <https://doi.org/10.4225/23/5ae2a57566b64>,  
 3004 2018.

3005 Wells, P.F. and Wells, G.M.: Large-scale reorganization of ocean currents offshore Western Australia during the  
 3006 Late Quaternary. *Mar. Micropaleontol.*, 24, 157-186, 1994.

3007 Wijeratne, S., Pattiaratchi, C., and Proctor, R.: Estimates of surface and subsurface boundary current transport  
 3008 around Australia. *J. Geophys. Res. Oceans*, 123(5), 3444-3466, doi:10.1029/2017jc013221, 2018.

3009 Williams, A.N., Ulm, S., Cook, A.R., Langley, M.C., and Collard, M.: Human refugia in Australia during the Last  
 3010 Glacial Maximum and terminal Pleistocene: a geospatial analysis of the 25-12 ka Australian archaeological  
 3011 record. *J. Archaeol. Sci.*, 40, 4612-4625, 2013.

3012 Woo, M. and Pattiaratchi, C.: Hydrography and water masses of the western Australian coast. *Deep Sea Res. Part*  
 3013 *I*, 55, 1090-1104, 2008.

3014 Wroe, S., Field, J.H., Archer, M., Grayson, D.K., Price, G.J., Louys, J., Faith, J.T., Webb, G.E., Davidson, I., and  
 3015 Mooney, S.: Climate change frames debate over the of megafauna in Sahul (Pleistocene Australia-New Guinea).  
 3016 *PNAS*, 110(22), 8777-8781, [www.pnas.org/cgi/doi/10.1073/pnas.1302698110](http://www.pnas.org/cgi/doi/10.1073/pnas.1302698110), 2013.

3017 Wu, S., Lembke-Jene, L., Lamy, F., Arz, H., Nowaczyk, N., Xiao, W., Zhang, X., Hass, H.C., Titschak, J., Zheng,  
 3018 X., Liu, J., Dumm, L., Diekmann, B., Nürnberg, D., Tiedemann, R., and Kuhn, G.: Orbital- and millennial-scale  
 3019 Antarctic Circumpolar Current variability in Drake Passage over the past 140,000 years. *Nat. Commun.*, 12,  
 3020 3948, <https://doi.org/10.1038/s41467-021-24264-9>, 2021.

3021 Wyrtki, K.: Physical oceanography of the Indian Ocean, in: *Ecological studies: Analysis and Synthesis 3*, edited  
 3022 by Zeitschel, B., Gerlach, S.A., Springer, Berlin, Heidelberg, 18-36, [https://doi.org/10.1007/978-3-642-65468-](https://doi.org/10.1007/978-3-642-65468-8_3)  
 3023 [8\\_3](https://doi.org/10.1007/978-3-642-65468-8_3), 1973.

Formatiert	...	[496]
Gelöscht: (2017). ... Human rather than climate the primary		[497]
Gelöscht: Communications		[498]
Formatiert	...	[498]
Formatiert	...	[499]
Gelöscht: ,		[500]
Gelöscht: (1961).		[501]
Formatiert	...	[501]
Gelöscht: .		[502]
Gelöscht: .		[503]
Gelöscht: .		[504]
Formatiert	...	[500]
Formatiert	...	[502]
Formatiert	...	[503]
Gelöscht: (2013),		[504]
Formatiert	...	[504]
Gelöscht: .		[505]
Gelöscht: (2018)....	...	[505]
Formatiert	...	[506]
Gelöscht: .		[507]
Feldfunktion geändert	...	[507]
Formatiert	...	[508]
Formatiert	...	[509]
Gelöscht: , ... and Wells, G.M. (1994). ... Large-scale		[510]
Formatiert	...	[511]
Gelöscht: m...cropaleontology	...	[512]
Formatiert	...	[513]
Gelöscht: (2018).... Estimates of surface and subsurface		[514]
Formatiert	...	[515]
Gelöscht: Geophysical		[517]
Gelöscht: Research...es.-	...	[517]
Formatiert	...	[518]
Gelöscht: .		[516]
Formatiert	...	[516]
Gelöscht: Wijffels, S., Meyers, G. (2004). An interse		[519]
Formatiert	...	[520]
Gelöscht: (2013). ... Human refugia in Australia during		[519]
Formatiert	...	[522]
Gelöscht: Archaeological		[523]
Formatiert	...	[523]
Gelöscht: Science...ci., 40, 4612-4625, 2013.	...	[524]
Gelöscht: ,		[525]
Formatiert	...	[525]
Gelöscht: (2008).		[526]
Formatiert	...	[526]
Gelöscht: s...a Rr... search	...	[527]
Formatiert	...	[528]
Formatiert	...	[529]
Gelöscht: et al. (2013).		[530]
Formatiert	...	[530]
Gelöscht: .		[531]
Feldfunktion geändert	...	[531]
Formatiert	...	[532]
Gelöscht: et al. (2021).... Orbital- and millennial-scale		[533]
Formatiert	...	[534]
Gelöscht: Communications...ommun,...12, ...948,...		[535]
Feldfunktion geändert	...	[536]
Formatiert	...	[537]
Gelöscht: (1973). ... Physical oceanography of the India		[538]
Formatiert	...	[539]
Gelöscht: , Eds., Ecological studies: Analysis and Syn		[540]
Formatiert	...	[541]
Gelöscht: .		[541]
Feldfunktion geändert	...	[541]

Seite 18: [1] Gelöscht	Dirk Nürnberg	09.09.22 11:43:00
▼		
▲		
Seite 26: [2] Gelöscht	Dirk Nürnberg	09.09.22 11:47:00
▼		
▲		
Seite 26: [2] Gelöscht	Dirk Nürnberg	09.09.22 11:47:00
▼		
▲		
Seite 26: [2] Gelöscht	Dirk Nürnberg	09.09.22 11:47:00
▼		
▲		
Seite 26: [2] Gelöscht	Dirk Nürnberg	09.09.22 11:47:00
▼		
▲		
Seite 26: [2] Gelöscht	Dirk Nürnberg	09.09.22 11:47:00
▼		
▲		
Seite 26: [2] Gelöscht	Dirk Nürnberg	09.09.22 11:47:00
▼		
▲		
Seite 26: [2] Gelöscht	Dirk Nürnberg	09.09.22 11:47:00
▼		
▲		
Seite 26: [2] Gelöscht	Dirk Nürnberg	09.09.22 11:47:00
▼		
▲		
Seite 26: [2] Gelöscht	Dirk Nürnberg	09.09.22 11:47:00
▼		
▲		
Seite 26: [2] Gelöscht	Dirk Nürnberg	09.09.22 11:47:00
▼		
▲		
Seite 26: [2] Gelöscht	Dirk Nürnberg	09.09.22 11:47:00
▼		
▲		
Seite 26: [2] Gelöscht	Dirk Nürnberg	09.09.22 11:47:00
▼		
▲		
Seite 26: [2] Gelöscht	Dirk Nürnberg	09.09.22 11:47:00
▼		
▲		
Seite 26: [2] Gelöscht	Dirk Nürnberg	09.09.22 11:47:00
▼		
▲		
Seite 26: [2] Gelöscht	Dirk Nürnberg	09.09.22 11:47:00
▼		
▲		
Seite 26: [2] Gelöscht	Dirk Nürnberg	09.09.22 11:47:00
▼		
▲		
Seite 26: [2] Gelöscht	Dirk Nürnberg	09.09.22 11:47:00
▼		
▲		
Seite 26: [2] Gelöscht	Dirk Nürnberg	09.09.22 11:47:00
▼		
▲		
Seite 26: [2] Gelöscht	Dirk Nürnberg	09.09.22 11:47:00
▼		
▲		
Seite 26: [2] Gelöscht	Dirk Nürnberg	09.09.22 11:47:00
▼		
▲		
Seite 36: [3] Gelöscht	Dirk Nürnberg	22.09.22 14:52:00
▼		
▲		
Seite 36: [3] Gelöscht	Dirk Nürnberg	22.09.22 14:52:00
▼		

▲ Seite 36: [4] Formatiert Dirk Nürnberg 22.09.22 14:52:00

Nicht Hervorheben

▲ Seite 36: [5] Formatiert Dirk Nürnberg 27.09.22 13:50:00

Englisch (USA)

▲ Seite 36: [6] Gelöscht Dirk Nürnberg 27.09.22 13:50:00

▲ Seite 36: [6] Gelöscht Dirk Nürnberg 27.09.22 13:50:00

▲ Seite 36: [7] Formatiert Dirk Nürnberg 27.09.22 13:50:00

Englisch (USA)

▲ Seite 36: [7] Formatiert Dirk Nürnberg 27.09.22 13:50:00

Englisch (USA)

▲ Seite 36: [8] Gelöscht Dirk Nürnberg 28.09.22 11:04:00

▲ Seite 36: [8] Gelöscht Dirk Nürnberg 28.09.22 11:04:00

▲ Seite 36: [9] Formatiert Dirk Nürnberg 27.09.22 13:07:00

Schriftart: Nicht Kursiv

▲ Seite 36: [10] Formatiert Dirk Nürnberg 27.09.22 13:07:00

Schriftart: Nicht Kursiv

▲ Seite 36: [11] Formatiert Dirk Nürnberg 28.09.22 10:52:00

Schriftart: Nicht Kursiv, Deutsch

▲ Seite 36: [11] Formatiert Dirk Nürnberg 28.09.22 10:52:00

Schriftart: Nicht Kursiv, Deutsch

▲ Seite 36: [11] Formatiert Dirk Nürnberg 28.09.22 10:52:00

Schriftart: Nicht Kursiv, Deutsch

▲ Seite 36: [12] Gelöscht Dirk Nürnberg 26.09.22 14:20:00

▲ Seite 36: [12] Gelöscht Dirk Nürnberg 26.09.22 14:20:00

▲ Seite 36: [13] Formatiert Dirk Nürnberg 28.09.22 10:52:00

Deutsch

▲ Seite 36: [14] Formatiert Dirk Nürnberg 26.09.22 14:58:00

Deutsch

▲ Seite 36: [15] Formatiert Dirk Nürnberg 27.09.22 14:28:00

Englisch (USA)

▲ Seite 36: [15] Formatiert Dirk Nürnberg 27.09.22 14:28:00

Englisch (USA)

Seite 36: [16] Formatiert	Dirk Nürnberg	27.09.22 14:28:00
Schriftart: Nicht Kursiv, Englisch (USA)		
Seite 36: [17] Formatiert	Dirk Nürnberg	27.09.22 14:28:00
Schriftart: Nicht Kursiv, Englisch (USA)		
Seite 36: [17] Formatiert	Dirk Nürnberg	27.09.22 14:28:00
Schriftart: Nicht Kursiv, Englisch (USA)		
Seite 36: [18] Gelöscht	Dirk Nürnberg	22.09.22 14:54:00
x		
Seite 36: [18] Gelöscht	Dirk Nürnberg	22.09.22 14:54:00
x		
Seite 36: [19] Gelöscht	Dirk Nürnberg	26.09.22 14:12:00
x		
Seite 36: [20] Formatiert	Dirk Nürnberg	26.09.22 12:18:00
Durchgestrichen		
Seite 36: [21] Gelöscht	Dirk Nürnberg	27.09.22 14:27:00
v		
Seite 36: [21] Gelöscht	Dirk Nürnberg	27.09.22 14:27:00
v		
Seite 36: [22] Formatiert	Dirk Nürnberg	27.09.22 13:59:00
Englisch (USA)		
Seite 36: [22] Formatiert	Dirk Nürnberg	27.09.22 13:59:00
Englisch (USA)		
Seite 36: [22] Formatiert	Dirk Nürnberg	27.09.22 13:59:00
Englisch (USA)		
Seite 36: [22] Formatiert	Dirk Nürnberg	27.09.22 13:59:00
Englisch (USA)		
Seite 36: [23] Formatiert	Dirk Nürnberg	27.09.22 13:59:00
Englisch (USA)		
Seite 36: [24] Formatiert	Dirk Nürnberg	27.09.22 13:07:00
Schriftart: Nicht Kursiv		
Seite 36: [25] Formatiert	Dirk Nürnberg	27.09.22 13:07:00
Schriftart: Nicht Kursiv		
Seite 36: [26] Formatiert	Dirk Nürnberg	27.09.22 13:07:00
Schriftart: Nicht Kursiv		
Seite 36: [27] Formatiert	Dirk Nürnberg	27.09.22 13:07:00
Schriftart: Nicht Kursiv		
Seite 36: [28] Formatiert	Dirk Nürnberg	27.09.22 13:59:00
Englisch (USA)		
Seite 36: [29] Formatiert	Dirk Nürnberg	27.09.22 13:07:00
Schriftart: Nicht Kursiv		

Seite 36: [30] Gelöscht	Dirk Nürnberg	26.09.22 14:13:00
▼		
▲		
Seite 36: [31] Formatiert	Dirk Nürnberg	26.09.22 12:18:00
Durchgestrichen		
▲		
Seite 36: [31] Formatiert	Dirk Nürnberg	26.09.22 12:18:00
Durchgestrichen		
▲		
Seite 36: [32] Gelöscht	Dirk Nürnberg	27.09.22 13:52:00
▼		
▲		
Seite 36: [32] Gelöscht	Dirk Nürnberg	27.09.22 13:52:00
▼		
▲		
Seite 36: [33] Formatiert	Dirk Nürnberg	27.09.22 13:07:00
Schriftart: Nicht Kursiv		
▲		
Seite 36: [34] Formatiert	Dirk Nürnberg	27.09.22 13:07:00
Schriftart: Nicht Kursiv		
▲		
Seite 36: [35] Gelöscht	Dirk Nürnberg	28.09.22 10:55:00
▼		
▲		
Seite 36: [35] Gelöscht	Dirk Nürnberg	28.09.22 10:55:00
▼		
▲		
Seite 36: [36] Formatiert	Dirk Nürnberg	27.09.22 14:01:00
Englisch (USA)		
▲		
Seite 36: [37] Formatiert	Dirk Nürnberg	27.09.22 13:07:00
Schriftart: Nicht Kursiv		
▲		
Seite 36: [38] Formatiert	Dirk Nürnberg	27.09.22 14:01:00
Englisch (USA)		
▲		
Seite 36: [39] Gelöscht	Dirk Nürnberg	27.09.22 14:29:00
▼		
▲		
Seite 36: [39] Gelöscht	Dirk Nürnberg	27.09.22 14:29:00
▼		
▲		
Seite 36: [40] Formatiert	Dirk Nürnberg	27.09.22 13:08:00
Schriftart: Nicht Kursiv		
▲		
Seite 36: [41] Gelöscht	Dirk Nürnberg	22.09.22 14:55:00
▼		
▲		
Seite 36: [41] Gelöscht	Dirk Nürnberg	22.09.22 14:55:00
▼		
▲		
Seite 36: [42] Formatiert	Dirk Nürnberg	27.09.22 14:52:00
Englisch (USA)		
▲		
Seite 36: [43] Gelöscht	Dirk Nürnberg	27.09.22 14:29:00
▼		
▲		



Seite 36: [43] Gelöscht	Dirk Nürnberg	27.09.22 14:29:00
▲		▼
Seite 36: [44] Formatiert	Dirk Nürnberg	27.09.22 13:08:00
Schriftart: Nicht Kursiv		
▲		▼
Seite 36: [45] Formatiert	Dirk Nürnberg	27.09.22 13:08:00
Schriftart: Nicht Kursiv		
▲		▼
Seite 36: [45] Formatiert	Dirk Nürnberg	27.09.22 13:08:00
Schriftart: Nicht Kursiv		
▲		▼
Seite 36: [46] Gelöscht	Dirk Nürnberg	27.09.22 15:11:00
▲		▼
Seite 36: [46] Gelöscht	Dirk Nürnberg	27.09.22 15:11:00
▲		▼
Seite 36: [47] Ändern	Unknown	
Feldfunktion geändert		
▲		▼
Seite 36: [48] Formatiert	Dirk Nürnberg	27.09.22 14:02:00
Englisch (USA)		
▲		▼
Seite 36: [49] Formatiert	Dirk Nürnberg	27.09.22 13:08:00
Schriftart: Nicht Kursiv		
▲		▼
Seite 36: [50] Formatiert	Dirk Nürnberg	27.09.22 13:08:00
Schriftart: Nicht Kursiv		
▲		▼
Seite 36: [51] Formatiert	Dirk Nürnberg	27.09.22 13:08:00
Schriftart: Nicht Kursiv		
▲		▼
Seite 36: [52] Gelöscht	Dirk Nürnberg	28.09.22 10:57:00
▲		▼
Seite 36: [52] Gelöscht	Dirk Nürnberg	28.09.22 10:57:00
▲		▼
Seite 36: [53] Formatiert	Dirk Nürnberg	27.09.22 13:52:00
Schriftart: Nicht Fett		
▲		▼
Seite 36: [54] Formatiert	Dirk Nürnberg	27.09.22 13:08:00
Schriftart: Nicht Kursiv		
▲		▼
Seite 36: [54] Formatiert	Dirk Nürnberg	27.09.22 13:08:00
Schriftart: Nicht Kursiv		
▲		▼
Seite 36: [54] Formatiert	Dirk Nürnberg	27.09.22 13:08:00
Schriftart: Nicht Kursiv		
▲		▼
Seite 36: [55] Gelöscht	Dirk Nürnberg	27.09.22 15:12:00
▲		▼
Seite 36: [55] Gelöscht	Dirk Nürnberg	27.09.22 15:12:00

▲ Seite 36: [56] Formatiert Dirk Nürnberg 27.09.22 14:02:00

Englisch (USA)

▲ Seite 36: [57] Formatiert Dirk Nürnberg 27.09.22 13:08:00

Schriftart: Nicht Kursiv

▲ Seite 36: [58] Formatiert Dirk Nürnberg 27.09.22 14:02:00

Englisch (USA)

▲ Seite 36: [59] Gelöscht Dirk Nürnberg 27.09.22 14:38:00

▲ Seite 36: [59] Gelöscht Dirk Nürnberg 27.09.22 14:38:00

▲ Seite 36: [60] Formatiert Dirk Nürnberg 27.09.22 13:08:00

Schriftart: Nicht Kursiv

▲ Seite 36: [60] Formatiert Dirk Nürnberg 27.09.22 13:08:00

Schriftart: Nicht Kursiv

▲ Seite 36: [61] Gelöscht Dirk Nürnberg 28.09.22 10:58:00

▲ Seite 36: [61] Gelöscht Dirk Nürnberg 28.09.22 10:58:00

▲ Seite 36: [62] Formatiert Dirk Nürnberg 27.09.22 14:02:00

Englisch (USA)

▲ Seite 36: [63] Formatiert Dirk Nürnberg 27.09.22 13:08:00

Schriftart: Nicht Kursiv

▲ Seite 37: [64] Formatiert Dirk Nürnberg 27.09.22 14:02:00

Englisch (USA)

▲ Seite 37: [65] Gelöscht Dirk Nürnberg 27.09.22 14:38:00

▲ Seite 37: [65] Gelöscht Dirk Nürnberg 27.09.22 14:38:00

▲ Seite 37: [66] Formatiert Dirk Nürnberg 27.09.22 13:08:00

Schriftart: Nicht Kursiv

▲ Seite 37: [66] Formatiert Dirk Nürnberg 27.09.22 13:08:00

Schriftart: Nicht Kursiv

▲ Seite 37: [67] Formatiert Dirk Nürnberg 27.09.22 13:08:00

Schriftart: Nicht Kursiv

▲ Seite 37: [68] Gelöscht Dirk Nürnberg 28.09.22 10:59:00

▲ Seite 37: [68] Gelöscht Dirk Nürnberg 28.09.22 10:59:00

▲ Seite 37: [69] Ändern Unknown

Feldfunktion geändert

▲ Seite 37: [70] Formatiert Dirk Nürnberg 27.09.22 14:02:00

Englisch (USA)

▲ Seite 37: [71] Gelöscht Dirk Nürnberg 27.09.22 14:38:00

▲ Seite 37: [71] Gelöscht Dirk Nürnberg 27.09.22 14:38:00

▲ Seite 37: [72] Formatiert Dirk Nürnberg 27.09.22 13:08:00

Schriftart: Nicht Kursiv

▲ Seite 37: [73] Formatiert Dirk Nürnberg 27.09.22 14:03:00

Englisch (USA)

▲ Seite 37: [74] Gelöscht Dirk Nürnberg 27.09.22 14:39:00

▲ Seite 37: [74] Gelöscht Dirk Nürnberg 27.09.22 14:39:00

▲ Seite 37: [75] Formatiert Dirk Nürnberg 27.09.22 13:09:00

Schriftart: Nicht Kursiv

▲ Seite 37: [75] Formatiert Dirk Nürnberg 27.09.22 13:09:00

Schriftart: Nicht Kursiv

▲ Seite 37: [76] Gelöscht Dirk Nürnberg 22.09.22 14:55:00

▲ Seite 37: [76] Gelöscht Dirk Nürnberg 22.09.22 14:55:00

▲ Seite 37: [77] Formatiert Dirk Nürnberg 27.09.22 13:09:00

Schriftart: Nicht Kursiv

▲ Seite 37: [78] Gelöscht Dirk Nürnberg 22.09.22 14:55:00

▲ Seite 37: [78] Gelöscht Dirk Nürnberg 22.09.22 14:55:00

▲ Seite 37: [79] Formatiert Dirk Nürnberg 27.09.22 13:09:00

Schriftart: Nicht Kursiv

▲ Seite 37: [80] Gelöscht Dirk Nürnberg 22.09.22 14:53:00

▲ Seite 37: [81] Formatiert Dirk Nürnberg 09.09.22 13:17:00

Durchgestrichen

▲ Seite 37: [81] Formatiert Dirk Nürnberg 09.09.22 13:17:00

Durchgestrichen

Seite 37: [82] Gelöscht	Dirk Nürnberg	27.09.22 14:39:00
Seite 37: [82] Gelöscht	Dirk Nürnberg	27.09.22 14:39:00
Seite 37: [83] Formatiert	Dirk Nürnberg	27.09.22 13:09:00
Schriftart: Nicht Kursiv		
Seite 37: [83] Formatiert	Dirk Nürnberg	27.09.22 13:09:00
Schriftart: Nicht Kursiv		
Seite 37: [84] Gelöscht	Dirk Nürnberg	22.09.22 14:57:00
Seite 37: [85] Formatiert	Dirk Nürnberg	22.09.22 15:31:00
Englisch (USA)		
Seite 37: [86] Gelöscht	Dirk Nürnberg	22.09.22 15:30:00
Seite 37: [86] Gelöscht	Dirk Nürnberg	22.09.22 15:30:00
Seite 37: [86] Gelöscht	Dirk Nürnberg	22.09.22 15:30:00
Seite 37: [87] Formatiert	Dirk Nürnberg	27.09.22 13:09:00
Schriftart: Nicht Kursiv		
Seite 37: [88] Formatiert	Dirk Nürnberg	28.09.22 12:42:00
Schriftart: (Standard) Times New Roman, 10 Pt., Englisch (USA)		
Seite 37: [88] Formatiert	Dirk Nürnberg	28.09.22 12:42:00
Schriftart: (Standard) Times New Roman, 10 Pt., Englisch (USA)		
Seite 37: [89] Gelöscht	Dirk Nürnberg	28.09.22 11:01:00
Seite 37: [90] Formatiert	Dirk Nürnberg	27.09.22 13:09:00
Schriftart: Nicht Kursiv		
Seite 37: [91] Gelöscht	Dirk Nürnberg	22.09.22 15:29:00
Seite 37: [91] Gelöscht	Dirk Nürnberg	22.09.22 15:29:00
Seite 37: [92] Formatiert	Dirk Nürnberg	27.09.22 14:03:00
Englisch (USA)		
Seite 37: [93] Formatiert	Dirk Nürnberg	27.09.22 13:09:00
Schriftart: Nicht Kursiv		
Seite 37: [94] Formatiert	Dirk Nürnberg	27.09.22 13:09:00
Schriftart: Nicht Kursiv		
Seite 37: [95] Formatiert	Dirk Nürnberg	27.09.22 14:03:00
Englisch (USA)		
Seite 37: [96] Gelöscht	Dirk Nürnberg	27.09.22 14:40:00

Seite 37: [96] Gelöscht	Dirk Nürnberg	27.09.22 14:40:00
Seite 37: [97] Formatiert	Dirk Nürnberg	27.09.22 13:09:00
Schriftart: Nicht Kursiv		
Seite 37: [97] Formatiert	Dirk Nürnberg	27.09.22 13:09:00
Schriftart: Nicht Kursiv		
Seite 37: [98] Formatiert	Dirk Nürnberg	27.09.22 13:09:00
Schriftart: Nicht Kursiv		
Seite 37: [99] Gelöscht	Dirk Nürnberg	28.09.22 11:04:00
Seite 37: [99] Gelöscht	Dirk Nürnberg	28.09.22 11:04:00
Seite 37: [99] Gelöscht	Dirk Nürnberg	28.09.22 11:04:00
Seite 37: [100] Formatiert	Dirk Nürnberg	27.09.22 13:09:00
Schriftart: Nicht Kursiv		
Seite 37: [101] Gelöscht	Dirk Nürnberg	28.09.22 11:04:00
Seite 37: [101] Gelöscht	Dirk Nürnberg	28.09.22 11:04:00
Seite 37: [101] Gelöscht	Dirk Nürnberg	28.09.22 11:04:00
Seite 37: [101] Gelöscht	Dirk Nürnberg	28.09.22 11:04:00
Seite 37: [102] Formatiert	Dirk Nürnberg	27.09.22 14:03:00
Deutsch		
Seite 37: [102] Formatiert	Dirk Nürnberg	27.09.22 14:03:00
Deutsch		
Seite 37: [103] Formatiert	Dirk Nürnberg	27.09.22 14:53:00
Englisch (USA)		
Seite 37: [104] Formatiert	Dirk Nürnberg	27.09.22 14:53:00
Schriftart: Nicht Kursiv, Englisch (USA)		
Seite 37: [104] Formatiert	Dirk Nürnberg	27.09.22 14:53:00
Schriftart: Nicht Kursiv, Englisch (USA)		
Seite 37: [104] Formatiert	Dirk Nürnberg	27.09.22 14:53:00
Schriftart: Nicht Kursiv, Englisch (USA)		
Seite 37: [104] Formatiert	Dirk Nürnberg	27.09.22 14:53:00

Schriftart: Nicht Kursiv, Englisch (USA)

Seite 37: [105] Formatiert Dirk Nürnberg 28.09.22 13:01:00

Deutsch

Seite 37: [106] Formatiert Dirk Nürnberg 28.09.22 11:06:00

Abstand zwischen asiatischem und westlichem Text anpassen, Abstand zwischen asiatischem Text und Zahlen anpassen

Seite 37: [107] Formatiert Dirk Nürnberg 27.09.22 14:53:00

Englisch (USA)

Seite 37: [107] Formatiert Dirk Nürnberg 27.09.22 14:53:00

Englisch (USA)

Seite 37: [108] Formatiert Dirk Nürnberg 27.09.22 13:10:00

Schriftart: Nicht Kursiv

Seite 37: [109] Formatiert Dirk Nürnberg 27.09.22 14:03:00

Englisch (USA)

Seite 37: [110] Gelöscht Dirk Nürnberg 27.09.22 14:40:00

Seite 37: [110] Gelöscht Dirk Nürnberg 27.09.22 14:40:00

Seite 37: [111] Formatiert Dirk Nürnberg 27.09.22 13:10:00

Schriftart: Nicht Kursiv

Seite 37: [112] Gelöscht Dirk Nürnberg 27.09.22 14:40:00

Seite 37: [112] Gelöscht Dirk Nürnberg 27.09.22 14:40:00

Seite 37: [113] Formatiert Dirk Nürnberg 27.09.22 13:10:00

Schriftart: Nicht Kursiv

Seite 37: [113] Formatiert Dirk Nürnberg 27.09.22 13:10:00

Schriftart: Nicht Kursiv

Seite 37: [114] Formatiert Dirk Nürnberg 27.09.22 13:10:00

Schriftart: Nicht Kursiv

Seite 37: [115] Gelöscht Dirk Nürnberg 27.09.22 14:40:00

Seite 37: [115] Gelöscht Dirk Nürnberg 27.09.22 14:40:00

Seite 37: [116] Formatiert Dirk Nürnberg 27.09.22 13:10:00

Schriftart: Nicht Kursiv

Seite 37: [117] Formatiert Dirk Nürnberg 27.09.22 13:10:00

Schriftart: Nicht Kursiv

Seite 37: [118] Formatiert Dirk Nürnberg 27.09.22 14:03:00

Englisch (USA)

Seite 37: [119] Gelöscht Dirk Nürnberg 27.09.22 14:41:00

Seite 37: [119] Gelöscht Dirk Nürnberg 27.09.22 14:41:00

Seite 37: [120] Formatiert Dirk Nürnberg 27.09.22 13:10:00

Schriftart: Nicht Kursiv

Seite 38: [121] Formatiert Dirk Nürnberg 27.09.22 14:53:00

Englisch (USA)

Seite 38: [122] Formatiert Dirk Nürnberg 27.09.22 13:10:00

Schriftart: Nicht Kursiv

Seite 38: [123] Formatiert Dirk Nürnberg 27.09.22 14:03:00

Englisch (USA)

Seite 38: [124] Gelöscht Dirk Nürnberg 27.09.22 14:41:00

Seite 38: [124] Gelöscht Dirk Nürnberg 27.09.22 14:41:00

Seite 38: [125] Formatiert Dirk Nürnberg 27.09.22 13:10:00

Schriftart: Nicht Kursiv

Seite 38: [125] Formatiert Dirk Nürnberg 27.09.22 13:10:00

Schriftart: Nicht Kursiv

Seite 38: [126] Gelöscht Dirk Nürnberg 28.09.22 11:10:00

Seite 38: [126] Gelöscht Dirk Nürnberg 28.09.22 11:10:00

Seite 38: [127] Formatiert Dirk Nürnberg 27.09.22 13:10:00

Schriftart: Nicht Kursiv

Seite 38: [128] Gelöscht Dirk Nürnberg 28.09.22 11:10:00

Seite 38: [128] Gelöscht Dirk Nürnberg 28.09.22 11:10:00

Seite 38: [129] Formatiert Dirk Nürnberg 27.09.22 13:10:00

Schriftart: Nicht Kursiv

Seite 38: [129] Formatiert Dirk Nürnberg 27.09.22 13:10:00

Schriftart: Nicht Kursiv

Seite 38: [130] Formatiert Dirk Nürnberg 27.09.22 14:03:00

Englisch (USA)

Seite 38: [131] Gelöscht Dirk Nürnberg 27.09.22 13:16:00

▲ Seite 38: [131] Gelöscht Dirk Nürnberg 27.09.22 13:16:00 ▼

▲ Seite 38: [131] Gelöscht Dirk Nürnberg 27.09.22 13:16:00 ▼

▲ Seite 38: [131] Gelöscht Dirk Nürnberg 27.09.22 13:16:00 ▼

▲ Seite 38: [132] Formatiert Dirk Nürnberg 27.09.22 13:11:00 ▼

Schriftart: Nicht Kursiv

▲ Seite 38: [133] Formatiert Dirk Nürnberg 27.09.22 14:04:00 ▼

Englisch (USA)

▲ Seite 38: [134] Gelöscht Dirk Nürnberg 27.09.22 14:41:00 ▼

▲ Seite 38: [134] Gelöscht Dirk Nürnberg 27.09.22 14:41:00 ▼

▲ Seite 38: [135] Formatiert Dirk Nürnberg 27.09.22 13:16:00 ▼

Schriftart: Nicht Kursiv

▲ Seite 38: [135] Formatiert Dirk Nürnberg 27.09.22 13:16:00 ▼

Schriftart: Nicht Kursiv

▲ Seite 38: [136] Formatiert Dirk Nürnberg 27.09.22 14:04:00 ▼

Englisch (USA)

▲ Seite 38: [137] Formatiert Dirk Nürnberg 27.09.22 13:16:00 ▼

Schriftart: Nicht Kursiv

▲ Seite 38: [138] Formatiert Dirk Nürnberg 27.09.22 14:53:00 ▼

Englisch (USA)

▲ Seite 38: [139] Formatiert Dirk Nürnberg 27.09.22 13:17:00 ▼

Schriftart: Nicht Kursiv

▲ Seite 38: [140] Gelöscht Dirk Nürnberg 28.09.22 11:11:00 ▼

▲ Seite 38: [140] Gelöscht Dirk Nürnberg 28.09.22 11:11:00 ▼

▲ Seite 38: [141] Formatiert Dirk Nürnberg 27.09.22 13:17:00 ▼

Schriftart: Nicht Kursiv

▲ Seite 38: [142] Formatiert Dirk Nürnberg 27.09.22 13:17:00 ▼

Schriftart: Nicht Kursiv

▲ Seite 38: [143] Formatiert Dirk Nürnberg 27.09.22 14:53:00 ▼

Englisch (USA)

▲ Seite 38: [144] Gelöscht Dirk Nürnberg 27.09.22 14:42:00 ▼



▲ Seite 38: [144] Gelöscht Dirk Nürnberg 27.09.22 14:42:00 ▼

▲ Seite 38: [145] Formatiert Dirk Nürnberg 27.09.22 13:17:00 ▼

Schriftart: Nicht Kursiv

▲ Seite 38: [145] Formatiert Dirk Nürnberg 27.09.22 13:17:00 ▼

Schriftart: Nicht Kursiv

▲ Seite 38: [146] Formatiert Dirk Nürnberg 27.09.22 13:17:00 ▼

Schriftart: Nicht Kursiv

▲ Seite 38: [147] Formatiert Dirk Nürnberg 27.09.22 14:04:00 ▼

Englisch (USA)

▲ Seite 38: [148] Gelöscht Dirk Nürnberg 27.09.22 14:42:00 ▼

▲ Seite 38: [148] Gelöscht Dirk Nürnberg 27.09.22 14:42:00 ▼

▲ Seite 38: [148] Gelöscht Dirk Nürnberg 27.09.22 14:42:00 ▼

▲ Seite 38: [148] Gelöscht Dirk Nürnberg 27.09.22 14:42:00 ▼

▲ Seite 38: [148] Gelöscht Dirk Nürnberg 27.09.22 14:42:00 ▼

▲ Seite 38: [148] Gelöscht Dirk Nürnberg 27.09.22 14:42:00 ▼

▲ Seite 38: [148] Gelöscht Dirk Nürnberg 27.09.22 14:42:00 ▼

▲ Seite 38: [148] Gelöscht Dirk Nürnberg 27.09.22 14:42:00 ▼

▲ Seite 38: [149] Formatiert Dirk Nürnberg 27.09.22 14:04:00 ▼

Englisch (USA)

▲ Seite 38: [150] Gelöscht Dirk Nürnberg 27.09.22 14:42:00 ▼

▲ Seite 38: [150] Gelöscht Dirk Nürnberg 27.09.22 14:42:00 ▼

▲ Seite 38: [151] Formatiert Dirk Nürnberg 27.09.22 13:17:00 ▼

Schriftart: Nicht Kursiv

▲ Seite 38: [151] Formatiert Dirk Nürnberg 27.09.22 13:17:00 ▼

Schriftart: Nicht Kursiv

▲ Seite 38: [152] Formatiert Dirk Nürnberg 27.09.22 13:17:00

Schriftart: Nicht Kursiv

▲ Seite 38: [153] Formatiert Dirk Nürnberg 27.09.22 14:04:00

Englisch (USA)

▲ Seite 38: [154] Formatiert Dirk Nürnberg 27.09.22 13:17:00

Schriftart: Nicht Kursiv

▲ Seite 38: [155] Formatiert Dirk Nürnberg 27.09.22 14:04:00

Englisch (USA)

▲ Seite 38: [156] Gelöscht Dirk Nürnberg 27.09.22 14:43:00

▼

▲ Seite 38: [156] Gelöscht Dirk Nürnberg 27.09.22 14:43:00

▼

▲ Seite 38: [157] Formatiert Dirk Nürnberg 27.09.22 13:17:00

Schriftart: Nicht Kursiv

▲ Seite 38: [158] Formatiert Dirk Nürnberg 27.09.22 13:17:00

Schriftart: Nicht Kursiv

▲ Seite 38: [159] Gelöscht Dirk Nürnberg 28.09.22 11:13:00

×

▲ Seite 38: [159] Gelöscht Dirk Nürnberg 28.09.22 11:13:00

×

▲ Seite 38: [160] Formatiert Dirk Nürnberg 27.09.22 13:17:00

Schriftart: Nicht Kursiv

▲ Seite 38: [161] Formatiert Dirk Nürnberg 27.09.22 14:04:00

Englisch (USA)

▲ Seite 38: [162] Gelöscht Dirk Nürnberg 27.09.22 14:43:00

▼

▲ Seite 38: [162] Gelöscht Dirk Nürnberg 27.09.22 14:43:00

▼

▲ Seite 38: [163] Formatiert Dirk Nürnberg 27.09.22 13:17:00

Schriftart: Nicht Kursiv

▲ Seite 38: [164] Formatiert Dirk Nürnberg 22.09.22 14:52:00

Englisch (USA)

▲ Seite 38: [164] Formatiert Dirk Nürnberg 22.09.22 14:52:00

Englisch (USA)

▲ Seite 39: [165] Formatiert Dirk Nürnberg 22.09.22 14:52:00

Englisch (USA)

▲ Seite 39: [166] Formatiert Dirk Nürnberg 27.09.22 14:56:00

Englisch (Vereinigtes Königreich)

▲

Seite 39: [167] Gelöscht	Dirk Nürnberg	27.09.22 14:43:00
▼		◀
▲		
Seite 39: [167] Gelöscht	Dirk Nürnberg	27.09.22 14:43:00
▼		◀
▲		
Seite 39: [168] Formatiert	Dirk Nürnberg	27.09.22 13:18:00
Schriftart: Nicht Kursiv		
▲		
Seite 39: [168] Formatiert	Dirk Nürnberg	27.09.22 13:18:00
Schriftart: Nicht Kursiv		
▲		
Seite 39: [169] Gelöscht	Dirk Nürnberg	28.09.22 11:14:00
✖		◀
▲		
Seite 39: [169] Gelöscht	Dirk Nürnberg	28.09.22 11:14:00
✖		◀
▲		
Seite 39: [170] Formatiert	Dirk Nürnberg	27.09.22 14:04:00
Englisch (USA)		
▲		
Seite 39: [171] Gelöscht	Dirk Nürnberg	27.09.22 14:44:00
▼		◀
▲		
Seite 39: [171] Gelöscht	Dirk Nürnberg	27.09.22 14:44:00
▼		◀
▲		
Seite 39: [172] Formatiert	Dirk Nürnberg	27.09.22 13:20:00
Schriftart: Nicht Kursiv		
▲		
Seite 39: [172] Formatiert	Dirk Nürnberg	27.09.22 13:20:00
Schriftart: Nicht Kursiv		
▲		
Seite 39: [172] Formatiert	Dirk Nürnberg	27.09.22 13:20:00
Schriftart: Nicht Kursiv		
▲		
Seite 39: [173] Gelöscht	Dirk Nürnberg	26.09.22 14:27:00
▼		◀
▲		
Seite 39: [173] Gelöscht	Dirk Nürnberg	26.09.22 14:27:00
▼		◀
▲		
Seite 39: [174] Formatiert	Dirk Nürnberg	27.09.22 14:04:00
Englisch (USA)		
▲		
Seite 39: [175] Gelöscht	Dirk Nürnberg	22.09.22 15:01:00
▼		◀
▲		
Seite 39: [175] Gelöscht	Dirk Nürnberg	22.09.22 15:01:00
▼		◀
▲		
Seite 39: [175] Gelöscht	Dirk Nürnberg	22.09.22 15:01:00
▼		◀
▲		
Seite 39: [176] Formatiert	Dirk Nürnberg	27.09.22 13:22:00

Schriftart: Nicht Kursiv

▲ Seite 39: [177] Formatiert Dirk Nürnberg 27.09.22 13:22:00

Schriftart: Nicht Kursiv

▲ Seite 39: [178] Formatiert Dirk Nürnberg 27.09.22 13:22:00

Schriftart: Nicht Kursiv

▲ Seite 39: [179] Gelöscht Dirk Nürnberg 22.09.22 15:01:00

▼  
▲ Seite 39: [179] Gelöscht Dirk Nürnberg 22.09.22 15:01:00

▲ Seite 39: [180] Formatiert Dirk Nürnberg 27.09.22 14:04:00

Englisch (USA)

▲ Seite 39: [181] Gelöscht Dirk Nürnberg 27.09.22 14:44:00

▼  
▲ Seite 39: [181] Gelöscht Dirk Nürnberg 27.09.22 14:44:00

▲ Seite 39: [182] Formatiert Dirk Nürnberg 27.09.22 13:22:00

Schriftart: Nicht Kursiv

▲ Seite 39: [182] Formatiert Dirk Nürnberg 27.09.22 13:22:00

Schriftart: Nicht Kursiv

▲ Seite 39: [183] Formatiert Dirk Nürnberg 27.09.22 13:22:00

Schriftart: Nicht Kursiv

▲ Seite 39: [184] Gelöscht Dirk Nürnberg 28.09.22 11:15:00

▼  
▲ Seite 39: [184] Gelöscht Dirk Nürnberg 28.09.22 11:15:00

▲ Seite 39: [185] Formatiert Dirk Nürnberg 27.09.22 13:22:00

Schriftart: Nicht Kursiv

▲ Seite 39: [186] Gelöscht Dirk Nürnberg 28.09.22 11:15:00

▼  
▲ Seite 39: [186] Gelöscht Dirk Nürnberg 28.09.22 11:15:00

▲ Seite 39: [187] Formatiert Dirk Nürnberg 27.09.22 14:04:00

Englisch (USA)

▲ Seite 39: [188] Formatiert Dirk Nürnberg 27.09.22 13:22:00

Schriftart: Nicht Kursiv

▲ Seite 39: [189] Gelöscht Dirk Nürnberg 22.09.22 14:53:00

▼  
▲ Seite 39: [189] Gelöscht Dirk Nürnberg 22.09.22 14:53:00

Seite 39: [190] Ändern Unknown

Feldfunktion geändert

Seite 39: [191] Formatiert Dirk Nürnberg 26.09.22 14:28:00

Nicht unterstrichen

Seite 39: [192] Formatiert Dirk Nürnberg 27.09.22 13:23:00

Schriftart: Nicht Kursiv

Seite 39: [193] Gelöscht Dirk Nürnberg 27.09.22 13:23:00

Seite 39: [193] Gelöscht Dirk Nürnberg 27.09.22 13:23:00

Seite 39: [194] Formatiert Dirk Nürnberg 27.09.22 14:06:00

Englisch (USA)

Seite 39: [195] Formatiert Dirk Nürnberg 27.09.22 13:23:00

Schriftart: Nicht Kursiv

Seite 39: [196] Formatiert Dirk Nürnberg 27.09.22 14:06:00

Englisch (USA)

Seite 39: [197] Gelöscht Dirk Nürnberg 27.09.22 14:45:00

Seite 39: [197] Gelöscht Dirk Nürnberg 27.09.22 14:45:00

Seite 39: [198] Formatiert Dirk Nürnberg 27.09.22 13:23:00

Schriftart: Nicht Kursiv

Seite 39: [198] Formatiert Dirk Nürnberg 27.09.22 13:23:00

Schriftart: Nicht Kursiv

Seite 39: [199] Formatiert Dirk Nürnberg 27.09.22 14:06:00

Englisch (USA)

Seite 39: [200] Formatiert Dirk Nürnberg 27.09.22 13:23:00

Schriftart: Nicht Kursiv

Seite 39: [201] Gelöscht Dirk Nürnberg 26.09.22 14:13:00

Seite 39: [202] Formatiert Dirk Nürnberg 26.09.22 12:18:00

Durchgestrichen

Seite 39: [202] Formatiert Dirk Nürnberg 26.09.22 12:18:00

Durchgestrichen

Seite 39: [202] Formatiert Dirk Nürnberg 26.09.22 12:18:00

Durchgestrichen

Seite 39: [202] Formatiert Dirk Nürnberg 26.09.22 12:18:00

Durchgestrichen

Seite 39: [202] Formatiert Dirk Nürnberg 26.09.22 12:18:00

Durchgestrichen

Seite 39: [202] Formatiert Dirk Nürnberg 26.09.22 12:18:00

Durchgestrichen

Seite 39: [202] Formatiert Dirk Nürnberg 26.09.22 12:18:00

Durchgestrichen

Seite 39: [202] Formatiert Dirk Nürnberg 26.09.22 12:18:00

Durchgestrichen

Seite 39: [202] Formatiert Dirk Nürnberg 26.09.22 12:18:00

Durchgestrichen

Seite 39: [202] Formatiert Dirk Nürnberg 26.09.22 12:18:00

Durchgestrichen

Seite 39: [202] Formatiert Dirk Nürnberg 26.09.22 12:18:00

Durchgestrichen

Seite 39: [202] Formatiert Dirk Nürnberg 26.09.22 12:18:00

Durchgestrichen

Seite 39: [202] Formatiert Dirk Nürnberg 26.09.22 12:18:00

Durchgestrichen

Seite 39: [202] Formatiert Dirk Nürnberg 26.09.22 12:18:00

Durchgestrichen

Seite 39: [202] Formatiert Dirk Nürnberg 26.09.22 12:18:00

Durchgestrichen

Seite 39: [202] Formatiert Dirk Nürnberg 26.09.22 12:18:00

Durchgestrichen

Seite 39: [202] Formatiert Dirk Nürnberg 26.09.22 12:18:00

Durchgestrichen

Seite 39: [202] Formatiert Dirk Nürnberg 26.09.22 12:18:00

Durchgestrichen

Seite 39: [202] Formatiert Dirk Nürnberg 26.09.22 12:18:00

Durchgestrichen

Seite 39: [203] Formatiert Dirk Nürnberg 11.10.22 10:44:00

Deutsch

Seite 39: [204] Formatiert Dirk Nürnberg 11.10.22 10:44:00

Deutsch

Seite 39: [205] Gelöscht Dirk Nürnberg 27.09.22 14:45:00

Seite 39: [205] Gelöscht Dirk Nürnberg 27.09.22 14:45:00

Seite 39: [206] Formatiert Dirk Nürnberg 27.09.22 13:23:00

Schriftart: Nicht Kursiv

Seite 39: [206] Formatiert Dirk Nürnberg 27.09.22 13:23:00

Schriftart: Nicht Kursiv

Seite 39: [207] Formatiert Dirk Nürnberg 27.09.22 13:23:00

Schriftart: Nicht Kursiv

Seite 39: [208] Gelöscht Dirk Nürnberg 28.09.22 11:18:00

Seite 39: [208] Gelöscht Dirk Nürnberg 28.09.22 11:18:00

Seite 39: [209] Ändern Unknown

Feldfunktion geändert

Seite 39: [210] Ändern Unknown

Feldfunktion geändert

Seite 39: [211] Formatiert Dirk Nürnberg 27.09.22 13:24:00

Schriftart: Nicht Kursiv

Seite 39: [212] Formatiert Dirk Nürnberg 27.09.22 13:24:00

Schriftart: Nicht Kursiv

Seite 39: [213] Formatiert Dirk Nürnberg 27.09.22 13:24:00

Schriftart: Nicht Kursiv

Seite 39: [214] Formatiert Dirk Nürnberg 27.09.22 13:24:00

Schriftart: Nicht Kursiv

Seite 39: [215] Ändern Unknown

Feldfunktion geändert

Seite 39: [216] Formatiert Dirk Nürnberg 27.09.22 14:06:00

Englisch (USA)

Seite 39: [217] Gelöscht Dirk Nürnberg 27.09.22 14:45:00

Seite 39: [217] Gelöscht Dirk Nürnberg 27.09.22 14:45:00

Seite 39: [217] Gelöscht Dirk Nürnberg 27.09.22 14:45:00

Seite 39: [217] Gelöscht Dirk Nürnberg 27.09.22 14:45:00

Seite 39: [218] Formatiert Dirk Nürnberg 27.09.22 14:06:00

Englisch (USA)

Seite 39: [219] Formatiert Dirk Nürnberg 28.09.22 13:04:00

Schriftart: (Standard) Times New Roman, 10 Pt., Nicht Fett, Englisch (USA)

Seite 39: [219] Formatiert Dirk Nürnberg 28.09.22 13:04:00

Schriftart: (Standard) Times New Roman, 10 Pt., Nicht Fett, Englisch (USA)

Seite 39: [220] Gelöscht Dirk Nürnberg 28.09.22 11:20:00

▲ Seite 39: [221] Formatiert Dirk Nürnberg 28.09.22 11:21:00

Schriftart: Nicht Kursiv

▲ Seite 39: [222] Formatiert Dirk Nürnberg 27.09.22 14:06:00

Englisch (USA)

▲ Seite 39: [223] Formatiert Dirk Nürnberg 27.09.22 13:24:00

Schriftart: Nicht Kursiv

▲ Seite 39: [224] Formatiert Dirk Nürnberg 27.09.22 13:24:00

Schriftart: Nicht Kursiv

▲ Seite 39: [225] Gelöscht Dirk Nürnberg 28.09.22 11:22:00

▼

▲ Seite 39: [225] Gelöscht Dirk Nürnberg 28.09.22 11:22:00

▼

▲ Seite 39: [226] Formatiert Dirk Nürnberg 27.09.22 14:06:00

Englisch (USA)

▲ Seite 39: [227] Formatiert Dirk Nürnberg 27.09.22 13:24:00

Schriftart: Nicht Kursiv

▲ Seite 39: [227] Formatiert Dirk Nürnberg 27.09.22 13:24:00

Schriftart: Nicht Kursiv

▲ Seite 39: [228] Formatiert Dirk Nürnberg 27.09.22 13:24:00

Schriftart: Nicht Kursiv

▲ Seite 39: [228] Formatiert Dirk Nürnberg 27.09.22 13:24:00

Schriftart: Nicht Kursiv

▲ Seite 39: [229] Formatiert Dirk Nürnberg 27.09.22 13:24:00

Schriftart: Nicht Kursiv

▲ Seite 39: [230] Formatiert Dirk Nürnberg 27.09.22 13:24:00

Schriftart: Nicht Kursiv

▲ Seite 40: [231] Formatiert Dirk Nürnberg 27.09.22 14:06:00

Englisch (USA)

▲ Seite 40: [232] Formatiert Dirk Nürnberg 27.09.22 13:24:00

Schriftart: Nicht Kursiv

▲ Seite 40: [233] Gelöscht Dirk Nürnberg 26.09.22 14:30:00

▼

▲ Seite 40: [233] Gelöscht Dirk Nürnberg 26.09.22 14:30:00

▼

▲ Seite 40: [234] Ändern Unknown

Feldfunktion geändert

▲ Seite 40: [235] Gelöscht Dirk Nürnberg 26.09.22 14:17:00

▲ Seite 40: [236] Formatiert Dirk Nürnberg 26.09.22 12:24:00

Durchgestrichen

▲



Seite 40: [236] Formatiert	Dirk Nürnberg	26.09.22 12:24:00
Durchgestrichen		
Seite 40: [237] Gelöscht	Dirk Nürnberg	27.09.22 14:47:00
▼		◀
▲		
Seite 40: [237] Gelöscht	Dirk Nürnberg	27.09.22 14:47:00
▼		◀
▲		
Seite 40: [238] Formatiert	Dirk Nürnberg	27.09.22 13:24:00
Schriftart: Nicht Kursiv		
Seite 40: [238] Formatiert	Dirk Nürnberg	27.09.22 13:24:00
Schriftart: Nicht Kursiv		
Seite 40: [239] Gelöscht	Dirk Nürnberg	27.09.22 13:57:00
▼		◀
▲		
Seite 40: [239] Gelöscht	Dirk Nürnberg	27.09.22 13:57:00
▼		◀
▲		
Seite 40: [240] Formatiert	Dirk Nürnberg	27.09.22 14:06:00
Englisch (USA)		
Seite 40: [241] Gelöscht	Dirk Nürnberg	22.09.22 15:04:00
▼		◀
▲		
Seite 40: [241] Gelöscht	Dirk Nürnberg	22.09.22 15:04:00
▼		◀
▲		
Seite 40: [242] Formatiert	Dirk Nürnberg	27.09.22 13:25:00
Schriftart: Nicht Kursiv		
Seite 40: [243] Gelöscht	Dirk Nürnberg	26.09.22 14:31:00
✖		◀
▲		
Seite 40: [243] Gelöscht	Dirk Nürnberg	26.09.22 14:31:00
✖		◀
▲		
Seite 40: [244] Formatiert	Dirk Nürnberg	26.09.22 14:31:00
Schriftart: Nicht Kursiv		
Seite 40: [245] Formatiert	Dirk Nürnberg	27.09.22 14:16:00
Englisch (USA)		
Seite 40: [246] Formatiert	Dirk Nürnberg	27.09.22 14:06:00
Englisch (USA)		
Seite 40: [247] Gelöscht	Dirk Nürnberg	27.09.22 14:52:00
▼		◀
▲		
Seite 40: [247] Gelöscht	Dirk Nürnberg	27.09.22 14:52:00
▼		◀
▲		
Seite 40: [248] Formatiert	Dirk Nürnberg	27.09.22 13:25:00

Schriftart: Nicht Kursiv

Seite 40: [248] Formatiert Dirk Nürnberg 27.09.22 13:25:00

Schriftart: Nicht Kursiv

Seite 40: [249] Gelöscht Dirk Nürnberg 28.09.22 11:23:00

Seite 40: [249] Gelöscht Dirk Nürnberg 28.09.22 11:23:00

Seite 40: [250] Gelöscht Dirk Nürnberg 27.09.22 14:14:00

Seite 40: [251] Formatiert Dirk Nürnberg 06.09.22 15:03:00

Block, Einzug: Links: 0 cm, Hängend: 0.25 cm, Abstand Vor: 0 Pt., Nach: 0 Pt.,  
Zeilenabstand: 1.5 Zeilen, Keine Aufzählungen oder Nummerierungen

Seite 40: [252] Formatiert Dirk Nürnberg 27.09.22 13:25:00

Schriftart: Nicht Kursiv

Seite 40: [252] Formatiert Dirk Nürnberg 27.09.22 13:25:00

Schriftart: Nicht Kursiv

Seite 40: [252] Formatiert Dirk Nürnberg 27.09.22 13:25:00

Schriftart: Nicht Kursiv

Seite 40: [252] Formatiert Dirk Nürnberg 27.09.22 13:25:00

Schriftart: Nicht Kursiv

Seite 40: [252] Formatiert Dirk Nürnberg 27.09.22 13:25:00

Schriftart: Nicht Kursiv

Seite 40: [252] Formatiert Dirk Nürnberg 27.09.22 13:25:00

Schriftart: Nicht Kursiv

Seite 40: [252] Formatiert Dirk Nürnberg 27.09.22 13:25:00

Schriftart: Nicht Kursiv

Seite 40: [252] Formatiert Dirk Nürnberg 27.09.22 13:25:00

Schriftart: Nicht Kursiv

Seite 40: [252] Formatiert Dirk Nürnberg 27.09.22 13:25:00

Schriftart: Nicht Kursiv

Seite 40: [253] Formatiert Dirk Nürnberg 27.09.22 14:06:00

Englisch (USA)

Seite 40: [254] Gelöscht Dirk Nürnberg 27.09.22 14:52:00

Seite 40: [254] Gelöscht Dirk Nürnberg 27.09.22 14:52:00

Seite 40: [255] Formatiert Dirk Nürnberg 27.09.22 13:25:00

Schriftart: Nicht Kursiv

Seite 40: [256] Formatiert Dirk Nürnberg 27.09.22 14:06:00

Englisch (USA)

Seite 40: [257] Gelöscht	Dirk Nürnberg	27.09.22 13:57:00
Seite 40: [257] Gelöscht	Dirk Nürnberg	27.09.22 13:57:00
Seite 40: [257] Gelöscht	Dirk Nürnberg	27.09.22 13:57:00
Seite 40: [258] Formatiert Schriftart: Nicht Kursiv	Dirk Nürnberg	27.09.22 13:26:00
Seite 40: [258] Formatiert Schriftart: Nicht Kursiv	Dirk Nürnberg	27.09.22 13:26:00
Seite 40: [259] Gelöscht	Dirk Nürnberg	28.09.22 11:24:00
Seite 40: [259] Gelöscht	Dirk Nürnberg	28.09.22 11:24:00
Seite 40: [260] Gelöscht	Dirk Nürnberg	22.09.22 15:08:00
Seite 40: [260] Gelöscht	Dirk Nürnberg	22.09.22 15:08:00
Seite 40: [260] Gelöscht	Dirk Nürnberg	22.09.22 15:08:00
Seite 40: [261] Formatiert Schriftart: Nicht Kursiv	Dirk Nürnberg	27.09.22 13:26:00
Seite 40: [262] Formatiert Schriftart: Nicht Kursiv	Dirk Nürnberg	27.09.22 13:26:00
Seite 40: [263] Formatiert Schriftart: Nicht Kursiv	Dirk Nürnberg	27.09.22 13:26:00
Seite 40: [264] Formatiert Schriftart: Nicht Kursiv	Dirk Nürnberg	27.09.22 13:26:00
Seite 40: [265] Formatiert Schriftart: Nicht Kursiv	Dirk Nürnberg	27.09.22 14:14:00
Seite 40: [266] Formatiert Englisch (USA)	Dirk Nürnberg	27.09.22 14:06:00
Seite 40: [267] Gelöscht	Dirk Nürnberg	27.09.22 14:52:00
Seite 40: [267] Gelöscht	Dirk Nürnberg	27.09.22 14:52:00
Seite 40: [268] Formatiert Schriftart: Nicht Kursiv	Dirk Nürnberg	27.09.22 13:26:00
Seite 40: [268] Formatiert Schriftart: Nicht Kursiv	Dirk Nürnberg	27.09.22 13:26:00
Seite 40: [269] Gelöscht	Dirk Nürnberg	28.09.22 11:24:00

▲ Seite 40: [269] Gelöscht Dirk Nürnberg 28.09.22 11:24:00

▲ Seite 40: [269] Gelöscht Dirk Nürnberg 28.09.22 11:24:00

▲ Seite 40: [270] Formatiert Dirk Nürnberg 27.09.22 14:06:00

Englisch (USA)

▲ Seite 40: [271] Gelöscht Dirk Nürnberg 27.09.22 14:53:00

▲ Seite 40: [271] Gelöscht Dirk Nürnberg 27.09.22 14:53:00

▲ Seite 40: [272] Ändern Unknown

Feldfunktion geändert

▲ Seite 40: [273] Gelöscht Dirk Nürnberg 26.09.22 14:34:00

▲ Seite 40: [274] Formatiert Dirk Nürnberg 26.09.22 12:24:00

Durchgestrichen

▲ Seite 40: [274] Formatiert Dirk Nürnberg 26.09.22 12:24:00

Durchgestrichen

▲ Seite 40: [275] Formatiert Dirk Nürnberg 27.09.22 14:56:00

Schriftart: Nicht Kursiv, Englisch (USA)

▲ Seite 40: [276] Formatiert Dirk Nürnberg 27.09.22 14:56:00

Schriftart: Nicht Kursiv, Englisch (USA)

▲ Seite 40: [277] Formatiert Dirk Nürnberg 27.09.22 14:56:00

Englisch (USA)

▲ Seite 40: [278] Formatiert Dirk Nürnberg 27.09.22 14:56:00

Englisch (USA)

▲ Seite 40: [279] Ändern Unknown

Feldfunktion geändert

▲ Seite 40: [280] Formatiert Dirk Nürnberg 27.09.22 14:56:00

Englisch (USA)

▲ Seite 40: [281] Gelöscht Dirk Nürnberg 27.09.22 14:53:00

▲ Seite 40: [281] Gelöscht Dirk Nürnberg 27.09.22 14:53:00

▲ Seite 40: [282] Formatiert Dirk Nürnberg 27.09.22 13:27:00

Schriftart: Nicht Kursiv

▲ Seite 40: [282] Formatiert Dirk Nürnberg 27.09.22 13:27:00

Schriftart: Nicht Kursiv

Seite 40: [283] Formatiert	Dirk Nürnberg	27.09.22 13:27:00
Schriftart: Nicht Kursiv		
Seite 40: [284] Formatiert	Dirk Nürnberg	27.09.22 13:27:00
Schriftart: Nicht Kursiv		
Seite 40: [285] Formatiert	Dirk Nürnberg	27.09.22 14:06:00
Englisch (USA)		
Seite 40: [286] Gelöscht	Dirk Nürnberg	27.09.22 14:53:00
▼		←
▲		
Seite 40: [286] Gelöscht	Dirk Nürnberg	27.09.22 14:53:00
▼		←
▲		
Seite 40: [287] Formatiert	Dirk Nürnberg	27.09.22 13:27:00
Schriftart: Nicht Kursiv		
Seite 40: [287] Formatiert	Dirk Nürnberg	27.09.22 13:27:00
Schriftart: Nicht Kursiv		
Seite 40: [288] Formatiert	Dirk Nürnberg	27.09.22 13:27:00
Schriftart: Nicht Kursiv		
Seite 40: [289] Formatiert	Dirk Nürnberg	27.09.22 14:06:00
Englisch (USA)		
Seite 40: [290] Gelöscht	Dirk Nürnberg	27.09.22 14:54:00
▼		←
▲		
Seite 40: [290] Gelöscht	Dirk Nürnberg	27.09.22 14:54:00
▼		←
▲		
Seite 40: [291] Formatiert	Dirk Nürnberg	27.09.22 13:27:00
Schriftart: Nicht Kursiv		
Seite 40: [291] Formatiert	Dirk Nürnberg	27.09.22 13:27:00
Schriftart: Nicht Kursiv		
Seite 40: [292] Gelöscht	Dirk Nürnberg	28.09.22 11:26:00
×		←
▲		
Seite 40: [292] Gelöscht	Dirk Nürnberg	28.09.22 11:26:00
×		←
▲		
Seite 40: [292] Gelöscht	Dirk Nürnberg	28.09.22 11:26:00
×		←
▲		
Seite 40: [293] Formatiert	Dirk Nürnberg	27.09.22 14:06:00
Englisch (USA)		
Seite 40: [294] Formatiert	Dirk Nürnberg	27.09.22 14:15:00
Schriftart: Nicht Kursiv		
Seite 41: [295] Formatiert	Dirk Nürnberg	27.09.22 14:07:00
Englisch (USA)		
▲		

Seite 41: [296] Gelöscht	Dirk Nürnberg	22.09.22 15:31:00
▼		◀
▲		
Seite 41: [296] Gelöscht	Dirk Nürnberg	22.09.22 15:31:00
▼		◀
▲		
Seite 41: [296] Gelöscht	Dirk Nürnberg	22.09.22 15:31:00
▼		◀
▲		
Seite 41: [297] Gelöscht	Dirk Nürnberg	27.09.22 14:54:00
▼		◀
▲		
Seite 41: [297] Gelöscht	Dirk Nürnberg	27.09.22 14:54:00
▼		◀
▲		
Seite 41: [298] Formatiert	Dirk Nürnberg	27.09.22 13:28:00
Schriftart: Nicht Kursiv		
▲		
Seite 41: [298] Formatiert	Dirk Nürnberg	27.09.22 13:28:00
Schriftart: Nicht Kursiv		
▲		
Seite 41: [299] Formatiert	Dirk Nürnberg	27.09.22 13:28:00
Schriftart: Nicht Kursiv		
▲		
Seite 41: [300] Gelöscht	Dirk Nürnberg	28.09.22 11:27:00
✖		◀
▲		
Seite 41: [300] Gelöscht	Dirk Nürnberg	28.09.22 11:27:00
✖		◀
▲		
Seite 41: [301] Formatiert	Dirk Nürnberg	11.10.22 10:45:00
Deutsch		
▲		
Seite 41: [301] Formatiert	Dirk Nürnberg	11.10.22 10:45:00
Deutsch		
▲		
Seite 41: [302] Formatiert	Dirk Nürnberg	27.09.22 14:56:00
Englisch (USA)		
▲		
Seite 41: [303] Formatiert	Dirk Nürnberg	27.09.22 13:28:00
Schriftart: Nicht Kursiv		
▲		
Seite 41: [304] Formatiert	Dirk Nürnberg	27.09.22 14:07:00
Englisch (USA)		
▲		
Seite 41: [305] Gelöscht	Dirk Nürnberg	27.09.22 14:54:00
▼		◀
▲		
Seite 41: [305] Gelöscht	Dirk Nürnberg	27.09.22 14:54:00
▼		◀
▲		
Seite 41: [306] Formatiert	Dirk Nürnberg	27.09.22 13:28:00
Schriftart: Nicht Kursiv		
▲		
Seite 41: [307] Formatiert	Dirk Nürnberg	27.09.22 14:56:00
Englisch (USA)		
▲		

Seite 41: [308] Formatiert	Dirk Nürnberg	27.09.22 13:28:00
Schriftart: Nicht Kursiv		
Seite 41: [309] Gelöscht	Dirk Nürnberg	27.09.22 14:55:00
▼		◀
▲		
Seite 41: [309] Gelöscht	Dirk Nürnberg	27.09.22 14:55:00
▼		◀
▲		
Seite 41: [310] Formatiert	Dirk Nürnberg	27.09.22 13:28:00
Schriftart: Nicht Kursiv		
Seite 41: [310] Formatiert	Dirk Nürnberg	27.09.22 13:28:00
Schriftart: Nicht Kursiv		
Seite 41: [311] Formatiert	Dirk Nürnberg	27.09.22 13:28:00
Schriftart: Nicht Kursiv		
Seite 41: [311] Formatiert	Dirk Nürnberg	27.09.22 13:28:00
Schriftart: Nicht Kursiv		
Seite 41: [312] Formatiert	Dirk Nürnberg	27.09.22 13:28:00
Schriftart: Nicht Kursiv		
Seite 41: [313] Gelöscht	Dirk Nürnberg	26.09.22 14:18:00
Seite 41: [314] Formatiert	Dirk Nürnberg	26.09.22 12:29:00
Durchgestrichen		
Seite 41: [315] Formatiert	Dirk Nürnberg	27.09.22 14:56:00
Englisch (USA)		
Seite 41: [316] Formatiert	Dirk Nürnberg	27.09.22 13:28:00
Schriftart: Nicht Kursiv		
Seite 41: [316] Formatiert	Dirk Nürnberg	27.09.22 13:28:00
Schriftart: Nicht Kursiv		
Seite 41: [317] Formatiert	Dirk Nürnberg	27.09.22 13:28:00
Schriftart: Nicht Kursiv		
Seite 41: [318] Formatiert	Dirk Nürnberg	27.09.22 14:56:00
Englisch (USA)		
Seite 41: [319] Gelöscht	Dirk Nürnberg	27.09.22 14:55:00
▼		◀
▲		
Seite 41: [319] Gelöscht	Dirk Nürnberg	27.09.22 14:55:00
▼		◀
▲		
Seite 41: [320] Formatiert	Dirk Nürnberg	27.09.22 14:56:00
Schriftart: Nicht Kursiv, Englisch (USA)		
Seite 41: [320] Formatiert	Dirk Nürnberg	27.09.22 14:56:00
Schriftart: Nicht Kursiv, Englisch (USA)		
Seite 41: [320] Formatiert	Dirk Nürnberg	27.09.22 14:56:00
Schriftart: Nicht Kursiv, Englisch (USA)		
▲		

Seite 41: [321] Formatiert Dirk Nürnberg 28.09.22 13:04:00

Schriftart: Nicht Kursiv

Seite 41: [322] Formatiert Dirk Nürnberg 28.09.22 13:04:00

Deutsch

Seite 41: [323] Formatiert Dirk Nürnberg 28.09.22 13:04:00

Schriftart: Nicht Kursiv

Seite 41: [324] Formatiert Dirk Nürnberg 27.09.22 14:56:00

Englisch (USA)

Seite 41: [324] Formatiert Dirk Nürnberg 27.09.22 14:56:00

Englisch (USA)

Seite 41: [325] Gelöscht Dirk Nürnberg 28.09.22 11:29:00

Seite 41: [325] Gelöscht Dirk Nürnberg 28.09.22 11:29:00

Seite 41: [326] Formatiert Dirk Nürnberg 28.09.22 13:05:00

Deutsch

Seite 41: [326] Formatiert Dirk Nürnberg 28.09.22 13:05:00

Deutsch

Seite 41: [327] Formatiert Dirk Nürnberg 28.09.22 13:05:00

Deutsch

Seite 41: [327] Formatiert Dirk Nürnberg 28.09.22 13:05:00

Deutsch

Seite 41: [328] Formatiert Dirk Nürnberg 28.09.22 13:05:00

Deutsch

Seite 41: [329] Ändern Unknown

Feldfunktion geändert

Seite 41: [330] Formatiert Dirk Nürnberg 28.09.22 13:05:00

Nicht unterstrichen, Schriftfarbe: Text 1, Deutsch

Seite 41: [330] Formatiert Dirk Nürnberg 28.09.22 13:05:00

Nicht unterstrichen, Schriftfarbe: Text 1, Deutsch

Seite 41: [331] Formatiert Dirk Nürnberg 27.09.22 14:57:00

Englisch (USA)

Seite 41: [331] Formatiert Dirk Nürnberg 27.09.22 14:57:00

Englisch (USA)

Seite 41: [332] Formatiert Dirk Nürnberg 27.09.22 14:07:00

Deutsch

Seite 41: [333] Formatiert Dirk Nürnberg 27.09.22 14:57:00

Englisch (USA)

Seite 41: [334] Ändern Unknown

Feldfunktion geändert





Seite 41: [343] Formatiert	Dirk Nürnberg	08.06.22 11:50:00
Schriftart: Times New Roman, 10 Pt.		
Seite 41: [343] Formatiert	Dirk Nürnberg	08.06.22 11:50:00
Schriftart: Times New Roman, 10 Pt.		
Seite 41: [343] Formatiert	Dirk Nürnberg	08.06.22 11:50:00
Schriftart: Times New Roman, 10 Pt.		
Seite 41: [343] Formatiert	Dirk Nürnberg	08.06.22 11:50:00
Schriftart: Times New Roman, 10 Pt.		
Seite 41: [343] Formatiert	Dirk Nürnberg	08.06.22 11:50:00
Schriftart: Times New Roman, 10 Pt.		
Seite 41: [343] Formatiert	Dirk Nürnberg	08.06.22 11:50:00
Schriftart: Times New Roman, 10 Pt.		
Seite 41: [343] Formatiert	Dirk Nürnberg	08.06.22 11:50:00
Schriftart: Times New Roman, 10 Pt.		
Seite 41: [343] Formatiert	Dirk Nürnberg	08.06.22 11:50:00
Schriftart: Times New Roman, 10 Pt.		
Seite 41: [344] Gelöscht	Dirk Nürnberg	14.04.22 10:23:00
Seite 41: [345] Formatiert	Dirk Nürnberg	14.04.22 10:25:00
Schriftart: Times New Roman, 10 Pt., Englisch (USA)		
Seite 41: [345] Formatiert	Dirk Nürnberg	14.04.22 10:25:00
Schriftart: Times New Roman, 10 Pt., Englisch (USA)		
Seite 41: [345] Formatiert	Dirk Nürnberg	14.04.22 10:25:00
Schriftart: Times New Roman, 10 Pt., Englisch (USA)		
Seite 41: [345] Formatiert	Dirk Nürnberg	14.04.22 10:25:00
Schriftart: Times New Roman, 10 Pt., Englisch (USA)		
Seite 41: [345] Formatiert	Dirk Nürnberg	14.04.22 10:25:00
Schriftart: Times New Roman, 10 Pt., Englisch (USA)		
Seite 41: [345] Formatiert	Dirk Nürnberg	14.04.22 10:25:00
Schriftart: Times New Roman, 10 Pt., Englisch (USA)		
Seite 41: [346] Gelöscht	Dirk Nürnberg	14.04.22 10:23:00
Seite 41: [347] Formatiert	Dirk Nürnberg	27.09.22 14:07:00
Englisch (USA)		

Seite 41: [348] Formatiert	Dirk Nürnberg	27.09.22 13:29:00
Schriftart: Nicht Kursiv		
Seite 41: [349] Formatiert	Dirk Nürnberg	27.09.22 14:07:00
Englisch (USA)		
Seite 41: [350] Formatiert	Dirk Nürnberg	27.09.22 13:29:00
Schriftart: Nicht Kursiv		
Seite 41: [351] Gelöscht	Dirk Nürnberg	28.09.22 11:31:00
x		
Seite 41: [351] Gelöscht	Dirk Nürnberg	28.09.22 11:31:00
x		
Seite 41: [351] Gelöscht	Dirk Nürnberg	28.09.22 11:31:00
x		
Seite 41: [351] Gelöscht	Dirk Nürnberg	28.09.22 11:31:00
x		
Seite 41: [351] Gelöscht	Dirk Nürnberg	28.09.22 11:31:00
x		
Seite 41: [352] Formatiert	Dirk Nürnberg	27.09.22 14:07:00
Englisch (USA)		
Seite 41: [353] Gelöscht	Dirk Nürnberg	27.09.22 14:59:00
v		
Seite 41: [353] Gelöscht	Dirk Nürnberg	27.09.22 14:59:00
v		
Seite 41: [354] Formatiert	Dirk Nürnberg	27.09.22 13:29:00
Schriftart: Nicht Kursiv		
Seite 41: [355] Formatiert	Dirk Nürnberg	27.09.22 13:29:00
Schriftart: Nicht Kursiv		
Seite 41: [356] Formatiert	Dirk Nürnberg	27.09.22 13:29:00
Schriftart: Nicht Kursiv		
Seite 41: [357] Gelöscht	Dirk Nürnberg	28.09.22 11:32:00
x		
Seite 41: [357] Gelöscht	Dirk Nürnberg	28.09.22 11:32:00
x		
Seite 42: [358] Gelöscht	Dirk Nürnberg	22.09.22 15:12:00
x		
Seite 42: [359] Formatiert	Dirk Nürnberg	09.09.22 13:43:00
Durchgestrichen		
Seite 42: [359] Formatiert	Dirk Nürnberg	09.09.22 13:43:00
Durchgestrichen		

Seite 42: [360] Gelöscht	Dirk Nürnberg	27.09.22 15:00:00
Seite 42: [360] Gelöscht	Dirk Nürnberg	27.09.22 15:00:00
Seite 42: [361] Formatiert	Dirk Nürnberg	27.09.22 13:29:00
Schriftart: Nicht Kursiv		
Seite 42: [361] Formatiert	Dirk Nürnberg	27.09.22 13:29:00
Schriftart: Nicht Kursiv		
Seite 42: [361] Formatiert	Dirk Nürnberg	27.09.22 13:29:00
Schriftart: Nicht Kursiv		
Seite 42: [361] Formatiert	Dirk Nürnberg	27.09.22 13:29:00
Schriftart: Nicht Kursiv		
Seite 42: [362] Formatiert	Dirk Nürnberg	11.10.22 10:45:00
Deutsch		
Seite 42: [363] Formatiert	Dirk Nürnberg	27.09.22 15:00:00
Englisch (USA)		
Seite 42: [364] Formatiert	Dirk Nürnberg	27.09.22 13:29:00
Schriftart: Nicht Kursiv		
Seite 42: [364] Formatiert	Dirk Nürnberg	27.09.22 13:29:00
Schriftart: Nicht Kursiv		
Seite 42: [365] Formatiert	Dirk Nürnberg	27.09.22 13:29:00
Schriftart: Nicht Kursiv		
Seite 42: [366] Formatiert	Dirk Nürnberg	27.09.22 14:07:00
Englisch (USA)		
Seite 42: [367] Gelöscht	Dirk Nürnberg	27.09.22 15:00:00
Seite 42: [367] Gelöscht	Dirk Nürnberg	27.09.22 15:00:00
Seite 42: [368] Formatiert	Dirk Nürnberg	27.09.22 13:30:00
Schriftart: Nicht Kursiv		
Seite 42: [369] Formatiert	Dirk Nürnberg	11.10.22 10:45:00
Deutsch		
Seite 42: [369] Formatiert	Dirk Nürnberg	11.10.22 10:45:00
Deutsch		
Seite 42: [370] Formatiert	Dirk Nürnberg	27.09.22 15:00:00
Englisch (USA)		
Seite 42: [370] Formatiert	Dirk Nürnberg	27.09.22 15:00:00
Englisch (USA)		
Seite 42: [371] Gelöscht	Dirk Nürnberg	28.09.22 11:34:00

Seite 42: [371] Gelöscht	Dirk Nürnberg	28.09.22 11:34:00
Seite 42: [372] Formatiert	Dirk Nürnberg	27.09.22 13:30:00
Schriftart: Nicht Kursiv		
Seite 42: [373] Formatiert	Dirk Nürnberg	27.09.22 13:30:00
Schriftart: Nicht Kursiv		
Seite 42: [374] Formatiert	Dirk Nürnberg	27.09.22 13:30:00
Schriftart: Nicht Kursiv		
Seite 42: [375] Formatiert	Dirk Nürnberg	27.09.22 15:00:00
Englisch (USA)		
Seite 42: [375] Formatiert	Dirk Nürnberg	27.09.22 15:00:00
Englisch (USA)		
Seite 42: [375] Formatiert	Dirk Nürnberg	27.09.22 15:00:00
Englisch (USA)		
Seite 42: [375] Formatiert	Dirk Nürnberg	27.09.22 15:00:00
Englisch (USA)		
Seite 42: [376] Gelöscht	Dirk Nürnberg	26.09.22 14:18:00
Seite 42: [377] Formatiert	Dirk Nürnberg	26.09.22 12:33:00
Durchgestrichen		
Seite 42: [377] Formatiert	Dirk Nürnberg	26.09.22 12:33:00
Durchgestrichen		
Seite 42: [378] Gelöscht	Dirk Nürnberg	27.09.22 15:00:00
Seite 42: [378] Gelöscht	Dirk Nürnberg	27.09.22 15:00:00
Seite 42: [379] Formatiert	Dirk Nürnberg	27.09.22 13:30:00
Schriftart: Nicht Kursiv		
Seite 42: [379] Formatiert	Dirk Nürnberg	27.09.22 13:30:00
Schriftart: Nicht Kursiv		
Seite 42: [380] Gelöscht	Dirk Nürnberg	28.09.22 11:35:00
Seite 42: [380] Gelöscht	Dirk Nürnberg	28.09.22 11:35:00
Seite 42: [380] Gelöscht	Dirk Nürnberg	28.09.22 11:35:00
Seite 42: [381] Ändern	Unknown	
Feldfunktion geändert		
Seite 42: [382] Formatiert	Dirk Nürnberg	27.09.22 14:18:00

Nicht unterstrichen

Seite 42: [383] Formatiert Dirk Nürnberg 27.09.22 14:07:00

Englisch (USA)

Seite 42: [384] Formatiert Dirk Nürnberg 27.09.22 13:30:00

Schriftart: Nicht Kursiv

Seite 42: [385] Formatiert Dirk Nürnberg 27.09.22 13:30:00

Schriftart: Nicht Kursiv

Seite 42: [386] Gelöscht Dirk Nürnberg 28.09.22 11:35:00

Seite 42: [386] Gelöscht Dirk Nürnberg 28.09.22 11:35:00

Seite 42: [386] Gelöscht Dirk Nürnberg 28.09.22 11:35:00

Seite 42: [387] Ändern Unknown

Feldfunktion geändert

Seite 42: [388] Formatiert Dirk Nürnberg 27.09.22 13:31:00

Unterstrichen, Schriftfarbe: Benutzerdefinierte Farbe(5;99;193))

Seite 42: [389] Gelöscht Dirk Nürnberg 27.09.22 15:01:00

Seite 42: [389] Gelöscht Dirk Nürnberg 27.09.22 15:01:00

Seite 42: [389] Gelöscht Dirk Nürnberg 27.09.22 15:01:00

Seite 42: [389] Gelöscht Dirk Nürnberg 27.09.22 15:01:00

Seite 42: [389] Gelöscht Dirk Nürnberg 27.09.22 15:01:00

Seite 42: [390] Formatiert Dirk Nürnberg 27.09.22 13:30:00

Schriftart: Nicht Kursiv

Seite 42: [390] Formatiert Dirk Nürnberg 27.09.22 13:30:00

Schriftart: Nicht Kursiv

Seite 42: [391] Formatiert Dirk Nürnberg 27.09.22 13:30:00

Schriftart: Nicht Kursiv

Seite 42: [392] Gelöscht Dirk Nürnberg 28.09.22 11:35:00

Seite 42: [392] Gelöscht Dirk Nürnberg 28.09.22 11:35:00

Seite 42: [392] Gelöscht Dirk Nürnberg 28.09.22 11:35:00

Seite 42: [392] Gelöscht Dirk Nürnberg 28.09.22 11:35:00

Seite 42: [392] Gelöscht Dirk Nürnberg 28.09.22 11:35:00

Seite 42: [393] Ändern Unknown

Feldfunktion geändert

Seite 42: [394] Formatiert Dirk Nürnberg 27.09.22 14:07:00

Englisch (USA)

Seite 42: [395] Gelöscht Dirk Nürnberg 27.09.22 15:01:00

Seite 42: [395] Gelöscht Dirk Nürnberg 27.09.22 15:01:00

Seite 42: [395] Gelöscht Dirk Nürnberg 27.09.22 15:01:00

Seite 42: [395] Gelöscht Dirk Nürnberg 27.09.22 15:01:00

Seite 42: [395] Gelöscht Dirk Nürnberg 27.09.22 15:01:00

Seite 42: [396] Formatiert Dirk Nürnberg 27.09.22 13:31:00

Schriftart: Nicht Kursiv

Seite 42: [397] Formatiert Dirk Nürnberg 27.09.22 14:07:00

Englisch (USA)

Seite 42: [398] Formatiert Dirk Nürnberg 27.09.22 13:32:00

Schriftart: Nicht Kursiv

Seite 42: [399] Formatiert Dirk Nürnberg 27.09.22 13:32:00

Schriftart: Nicht Kursiv

Seite 42: [400] Formatiert Dirk Nürnberg 27.09.22 14:07:00

Englisch (USA)

Seite 42: [401] Gelöscht Dirk Nürnberg 27.09.22 15:02:00

Seite 42: [401] Gelöscht Dirk Nürnberg 27.09.22 15:02:00

Seite 42: [402] Formatiert Dirk Nürnberg 27.09.22 13:32:00

Schriftart: Nicht Kursiv

Seite 42: [403] Formatiert Dirk Nürnberg 27.09.22 14:07:00

Englisch (USA)

Seite 42: [404] Gelöscht Dirk Nürnberg 27.09.22 15:02:00

Seite 42: [404] Gelöscht Dirk Nürnberg 27.09.22 15:02:00

Seite 42: [405] Formatiert Dirk Nürnberg 27.09.22 13:32:00

Schriftart: Nicht Kursiv

Seite 42: [405] Formatiert Dirk Nürnberg 27.09.22 13:32:00

Schriftart: Nicht Kursiv

Seite 42: [406] Formatiert Dirk Nürnberg 27.09.22 13:32:00

Schriftart: Nicht Kursiv

Seite 42: [407] Formatiert Dirk Nürnberg 27.09.22 14:01:00

Englisch (USA)

Seite 42: [408] Gelöscht Dirk Nürnberg 27.09.22 15:02:00

Seite 42: [408] Gelöscht Dirk Nürnberg 27.09.22 15:02:00

Seite 42: [409] Formatiert Dirk Nürnberg 27.09.22 13:32:00

Schriftart: Nicht Kursiv

Seite 42: [410] Gelöscht Dirk Nürnberg 28.09.22 11:36:00

Seite 42: [410] Gelöscht Dirk Nürnberg 28.09.22 11:36:00

▲ Seite 42: [411] Formatiert Dirk Nürnberg 27.09.22 13:32:00

Schriftart: Nicht Kursiv

▲ Seite 42: [412] Formatiert Dirk Nürnberg 27.09.22 13:32:00

Schriftart: Nicht Kursiv

▲ Seite 42: [413] Gelöscht Dirk Nürnberg 27.09.22 15:02:00

▼  
▲ Seite 42: [413] Gelöscht Dirk Nürnberg 27.09.22 15:02:00

▲ Seite 42: [414] Formatiert Dirk Nürnberg 27.09.22 13:32:00

Schriftart: Nicht Kursiv

▲ Seite 42: [414] Formatiert Dirk Nürnberg 27.09.22 13:32:00

Schriftart: Nicht Kursiv

▲ Seite 42: [415] Formatiert Dirk Nürnberg 27.09.22 13:32:00

Schriftart: Nicht Kursiv

▲ Seite 42: [416] Gelöscht Dirk Nürnberg 28.09.22 11:37:00

✖  
▲ Seite 42: [416] Gelöscht Dirk Nürnberg 28.09.22 11:37:00

▲ Seite 42: [417] Formatiert Dirk Nürnberg 27.09.22 13:32:00

Schriftart: Nicht Kursiv

▲ Seite 42: [418] Gelöscht Dirk Nürnberg 28.09.22 11:38:00

✖  
▲ Seite 42: [418] Gelöscht Dirk Nürnberg 28.09.22 11:38:00

▲ Seite 42: [419] Formatiert Dirk Nürnberg 27.09.22 14:01:00

Englisch (USA)

▲ Seite 42: [420] Formatiert Dirk Nürnberg 27.09.22 13:32:00

Schriftart: Nicht Kursiv

▲ Seite 43: [421] Gelöscht Dirk Nürnberg 27.09.22 15:02:00

▼  
▲ Seite 43: [421] Gelöscht Dirk Nürnberg 27.09.22 15:02:00

▲ Seite 43: [422] Formatiert Dirk Nürnberg 27.09.22 13:32:00

Schriftart: Nicht Kursiv

▲ Seite 43: [422] Formatiert Dirk Nürnberg 27.09.22 13:32:00

Schriftart: Nicht Kursiv

▲ Seite 43: [423] Gelöscht Dirk Nürnberg 28.09.22 11:38:00

✖



Seite 43: [423] Gelöscht	Dirk Nürnberg	28.09.22 11:38:00
Seite 43: [424] Ändern	Unknown	
Feldfunktion geändert		
Seite 43: [425] Formatiert	Dirk Nürnberg	27.09.22 15:03:00
Englisch (USA)		
Seite 43: [426] Ändern	Unknown	
Feldfunktion geändert		
Seite 43: [427] Gelöscht	Dirk Nürnberg	27.09.22 14:01:00
Seite 43: [427] Gelöscht	Dirk Nürnberg	27.09.22 14:01:00
Seite 43: [428] Formatiert	Dirk Nürnberg	27.09.22 15:03:00
Englisch (USA)		
Seite 43: [428] Formatiert	Dirk Nürnberg	27.09.22 15:03:00
Englisch (USA)		
Seite 43: [429] Ändern	Unknown	
Feldfunktion geändert		
Seite 43: [430] Formatiert	Dirk Nürnberg	27.09.22 14:02:00
Englisch (USA)		
Seite 43: [431] Gelöscht	Dirk Nürnberg	27.09.22 15:03:00
Seite 43: [431] Gelöscht	Dirk Nürnberg	27.09.22 15:03:00
Seite 43: [432] Formatiert	Dirk Nürnberg	27.09.22 13:33:00
Schriftart: Nicht Kursiv		
Seite 43: [432] Formatiert	Dirk Nürnberg	27.09.22 13:33:00
Schriftart: Nicht Kursiv		
Seite 43: [433] Formatiert	Dirk Nürnberg	27.09.22 13:33:00
Schriftart: Nicht Kursiv		
Seite 43: [434] Formatiert	Dirk Nürnberg	27.09.22 14:02:00
Englisch (USA)		
Seite 43: [435] Gelöscht	Dirk Nürnberg	27.09.22 15:03:00
Seite 43: [435] Gelöscht	Dirk Nürnberg	27.09.22 15:03:00
Seite 43: [435] Gelöscht	Dirk Nürnberg	27.09.22 15:03:00

Seite 43: [436] Formatiert	Dirk Nürnberg	27.09.22 13:33:00
Schriftart: Nicht Kursiv		
Seite 43: [436] Formatiert	Dirk Nürnberg	27.09.22 13:33:00
Schriftart: Nicht Kursiv		
Seite 43: [437] Gelöscht	Dirk Nürnberg	28.09.22 11:39:00
x		
Seite 43: [437] Gelöscht	Dirk Nürnberg	28.09.22 11:39:00
x		
Seite 43: [438] Formatiert	Dirk Nürnberg	22.09.22 15:17:00
Schriftart: Times New Roman, 10 Pt., Englisch (USA)		
Seite 43: [438] Formatiert	Dirk Nürnberg	22.09.22 15:17:00
Schriftart: Times New Roman, 10 Pt., Englisch (USA)		
Seite 43: [438] Formatiert	Dirk Nürnberg	22.09.22 15:17:00
Schriftart: Times New Roman, 10 Pt., Englisch (USA)		
Seite 43: [439] Ändern	Unknown	
Feldfunktion geändert		
Seite 43: [440] Formatiert	Dirk Nürnberg	22.09.22 15:17:00
Hyperlink, Schriftart: Times New Roman, 10 Pt., Schriftfarbe: Automatisch, Englisch (USA), Muster: Transparent		
Seite 43: [441] Formatiert	Dirk Nürnberg	22.09.22 15:18:00
Englisch (USA)		
Seite 43: [441] Formatiert	Dirk Nürnberg	22.09.22 15:18:00
Englisch (USA)		
Seite 43: [442] Formatiert	Dirk Nürnberg	27.09.22 14:02:00
Englisch (USA)		
Seite 43: [443] Gelöscht	Dirk Nürnberg	27.09.22 15:03:00
v		
Seite 43: [443] Gelöscht	Dirk Nürnberg	27.09.22 15:03:00
v		
Seite 43: [444] Formatiert	Dirk Nürnberg	27.09.22 13:33:00
Schriftart: Nicht Kursiv		
Seite 43: [444] Formatiert	Dirk Nürnberg	27.09.22 13:33:00
Schriftart: Nicht Kursiv		
Seite 43: [445] Formatiert	Dirk Nürnberg	27.09.22 13:33:00
Schriftart: Nicht Kursiv		
Seite 43: [445] Formatiert	Dirk Nürnberg	27.09.22 13:33:00
Schriftart: Nicht Kursiv		
Seite 43: [446] Formatiert	Dirk Nürnberg	27.09.22 13:35:00
Schriftart: Nicht Kursiv		
Seite 43: [447] Formatiert	Dirk Nürnberg	27.09.22 14:21:00

Block, Einzug: Links: 0 cm, Hängend: 0.25 cm, Zeilenabstand: 1.5 Zeilen, Keine Aufzählungen oder Nummerierungen

Seite 43: [448] Formatiert Dirk Nürnberg 27.09.22 13:35:00

Schriftart: Nicht Kursiv

Seite 43: [449] Formatiert Dirk Nürnberg 27.09.22 14:02:00

Schriftart: Times New Roman, Englisch (USA)

Seite 43: [449] Formatiert Dirk Nürnberg 27.09.22 14:02:00

Schriftart: Times New Roman, Englisch (USA)

Seite 43: [449] Formatiert Dirk Nürnberg 27.09.22 14:02:00

Schriftart: Times New Roman, Englisch (USA)

Seite 43: [449] Formatiert Dirk Nürnberg 27.09.22 14:02:00

Schriftart: Times New Roman, Englisch (USA)

Seite 43: [449] Formatiert Dirk Nürnberg 27.09.22 14:02:00

Schriftart: Times New Roman, Englisch (USA)

Seite 43: [449] Formatiert Dirk Nürnberg 27.09.22 14:02:00

Schriftart: Times New Roman, Englisch (USA)

Seite 43: [449] Formatiert Dirk Nürnberg 27.09.22 14:02:00

Schriftart: Times New Roman, Englisch (USA)

Seite 43: [450] Formatiert Dirk Nürnberg 27.09.22 14:02:00

Englisch (USA)

Seite 43: [451] Gelöscht Dirk Nürnberg 27.09.22 15:04:00

▼

Seite 43: [451] Gelöscht Dirk Nürnberg 27.09.22 15:04:00

▼

Seite 43: [452] Formatiert Dirk Nürnberg 27.09.22 13:35:00

Schriftart: Nicht Kursiv

Seite 43: [452] Formatiert Dirk Nürnberg 27.09.22 13:35:00

Schriftart: Nicht Kursiv

Seite 43: [453] Formatiert Dirk Nürnberg 27.09.22 13:35:00

Schriftart: Nicht Kursiv

Seite 43: [454] Formatiert Dirk Nürnberg 28.09.22 10:37:00

Deutsch

Seite 43: [454] Formatiert Dirk Nürnberg 28.09.22 10:37:00

Deutsch

Seite 43: [455] Gelöscht Dirk Nürnberg 27.09.22 15:04:00

×

Seite 43: [455] Gelöscht Dirk Nürnberg 27.09.22 15:04:00

×

Seite 43: [456] Formatiert Dirk Nürnberg 27.09.22 13:35:00

Schriftart: Nicht Kursiv

▲ Seite 43: [456] Formatiert Dirk Nürnberg 27.09.22 13:35:00

Schriftart: Nicht Kursiv

▲ Seite 43: [457] Formatiert Dirk Nürnberg 27.09.22 13:35:00

Schriftart: Nicht Kursiv

▲ Seite 43: [458] Gelöscht Dirk Nürnberg 28.09.22 11:39:00

✖

▲ Seite 43: [458] Gelöscht Dirk Nürnberg 28.09.22 11:39:00

✖

▲ Seite 43: [459] Ändern Unknown

Feldfunktion geändert

▲ Seite 43: [460] Formatiert Dirk Nürnberg 27.09.22 14:02:00

Englisch (USA)

▲ Seite 43: [461] Gelöscht Dirk Nürnberg 27.09.22 15:04:00

▼

▲ Seite 43: [461] Gelöscht Dirk Nürnberg 27.09.22 15:04:00

▼

▲ Seite 43: [462] Formatiert Dirk Nürnberg 27.09.22 13:35:00

Schriftart: Nicht Kursiv

▲ Seite 43: [462] Formatiert Dirk Nürnberg 27.09.22 13:35:00

Schriftart: Nicht Kursiv

▲ Seite 43: [463] Gelöscht Dirk Nürnberg 28.09.22 11:39:00

✖

▲ Seite 43: [463] Gelöscht Dirk Nürnberg 28.09.22 11:39:00

✖

▲ Seite 43: [464] Formatiert Dirk Nürnberg 27.09.22 13:35:00

Schriftart: Nicht Kursiv

▲ Seite 43: [465] Formatiert Dirk Nürnberg 27.09.22 14:02:00

Schriftart: Nicht Fett

▲ Seite 43: [466] Ändern Unknown

Feldfunktion geändert

▲ Seite 43: [467] Formatiert Dirk Nürnberg 28.09.22 11:40:00

Schriftart: Nicht Kursiv, Unterstrichen, Schriftfarbe: Benutzerdefinierte Farbe( RGB(5;99;193) )

▲ Seite 43: [468] Formatiert Dirk Nürnberg 28.09.22 11:40:00

Schriftart: Nicht Kursiv, Unterstrichen, Schriftfarbe: Benutzerdefinierte Farbe( RGB(5;99;193) )

▲ Seite 43: [468] Formatiert Dirk Nürnberg 28.09.22 11:40:00

Schriftart: Nicht Kursiv, Unterstrichen, Schriftfarbe: Benutzerdefinierte Farbe( RGB(5;99;193) )

▲

Seite 43: [469] Formatiert	Dirk Nürnberg	28.09.22 11:40:00
Schriftart: Nicht Kursiv, Unterstrichen, Schriftfarbe: Benutzerdefinierte Farbe(RGB(5;99;193))		
Seite 43: [470] Formatiert	Dirk Nürnberg	27.09.22 13:36:00
Schriftart: Nicht Fett		
Seite 43: [471] Ändern	Unknown	
Feldfunktion geändert		
Seite 43: [472] Ändern	Unknown	
Feldfunktion geändert		
Seite 43: [473] Formatiert	Dirk Nürnberg	27.09.22 13:37:00
Schriftart: Nicht Kursiv		
Seite 43: [474] Formatiert	Dirk Nürnberg	27.09.22 13:37:00
Schriftart: Nicht Kursiv		
Seite 43: [475] Formatiert	Dirk Nürnberg	27.09.22 13:37:00
Schriftart: Nicht Kursiv		
Seite 43: [476] Gelöscht	Dirk Nürnberg	28.09.22 11:41:00
x		
Seite 43: [476] Gelöscht	Dirk Nürnberg	28.09.22 11:41:00
x		
Seite 43: [477] Formatiert	Dirk Nürnberg	27.09.22 13:37:00
Schriftart: Nicht Kursiv		
Seite 43: [477] Formatiert	Dirk Nürnberg	27.09.22 13:37:00
Schriftart: Nicht Kursiv		
Seite 43: [478] Formatiert	Dirk Nürnberg	22.09.22 14:52:00
Schriftart: (Standard) Times New Roman, 10 Pt., Nicht Fett, Schriftfarbe: Text 1		
Seite 43: [479] Formatiert	Dirk Nürnberg	08.06.22 12:26:00
Zeilenabstand: 1.5 Zeilen		
Seite 43: [480] Formatiert	Dirk Nürnberg	27.09.22 14:03:00
Englisch (USA)		
Seite 43: [480] Formatiert	Dirk Nürnberg	27.09.22 14:03:00
Englisch (USA)		
Seite 43: [480] Formatiert	Dirk Nürnberg	27.09.22 14:03:00
Englisch (USA)		
Seite 43: [480] Formatiert	Dirk Nürnberg	27.09.22 14:03:00
Englisch (USA)		
Seite 43: [480] Formatiert	Dirk Nürnberg	27.09.22 14:03:00
Englisch (USA)		
Seite 43: [481] Formatiert	Dirk Nürnberg	27.09.22 14:07:00
Englisch (USA)		
Seite 43: [482] Gelöscht	Dirk Nürnberg	27.09.22 15:06:00
v		

▲ Seite 43: [482] Gelöscht Dirk Nürnberg 27.09.22 15:06:00

▼  
▲ Seite 43: [483] Formatiert Dirk Nürnberg 27.09.22 13:37:00

Schriftart: Nicht Kursiv

▲ Seite 43: [483] Formatiert Dirk Nürnberg 27.09.22 13:37:00

Schriftart: Nicht Kursiv

▲ Seite 43: [484] Formatiert Dirk Nürnberg 27.09.22 13:37:00

Schriftart: Nicht Kursiv

▲ Seite 43: [485] Gelöscht Dirk Nürnberg 27.09.22 15:06:00

▼  
▲ Seite 43: [485] Gelöscht Dirk Nürnberg 27.09.22 15:06:00

▼  
▲ Seite 43: [486] Formatiert Dirk Nürnberg 27.09.22 13:37:00

Schriftart: Nicht Kursiv

▲ Seite 43: [486] Formatiert Dirk Nürnberg 27.09.22 13:37:00

Schriftart: Nicht Kursiv

▲ Seite 43: [487] Formatiert Dirk Nürnberg 27.09.22 13:37:00

Schriftart: Nicht Kursiv

▲ Seite 43: [488] Formatiert Dirk Nürnberg 27.09.22 13:37:00

Schriftart: Nicht Kursiv

▲ Seite 43: [489] Gelöscht Dirk Nürnberg 22.09.22 15:20:00

▼  
▲ Seite 43: [489] Gelöscht Dirk Nürnberg 22.09.22 15:20:00

▼  
▲ Seite 43: [490] Formatiert Dirk Nürnberg 27.09.22 14:07:00

Englisch (USA)

▲ Seite 43: [491] Gelöscht Dirk Nürnberg 27.09.22 15:06:00

▼  
▲ Seite 43: [491] Gelöscht Dirk Nürnberg 27.09.22 15:06:00

▼  
▲ Seite 43: [491] Gelöscht Dirk Nürnberg 27.09.22 15:06:00

▼  
▲ Seite 43: [491] Gelöscht Dirk Nürnberg 27.09.22 15:06:00

▼  
▲ Seite 43: [491] Gelöscht Dirk Nürnberg 27.09.22 15:06:00

▼  
▲ Seite 43: [492] Ändern Unknown

Feldfunktion geändert

Seite 43: [493] Formatiert Dirk Nürnberg 28.09.22 13:02:00

Schriftfarbe: Text 1

Seite 43: [494] Formatiert Dirk Nürnberg 27.09.22 14:07:00

Englisch (USA)

Seite 43: [495] Formatiert Dirk Nürnberg 27.09.22 13:39:00

Schriftart: Nicht Kursiv

Seite 44: [496] Formatiert Dirk Nürnberg 27.09.22 14:03:00

Englisch (USA)

Seite 44: [497] Gelöscht Dirk Nürnberg 27.09.22 15:07:00

Seite 44: [497] Gelöscht Dirk Nürnberg 27.09.22 15:07:00

Seite 44: [498] Formatiert Dirk Nürnberg 27.09.22 13:39:00

Schriftart: Nicht Kursiv

Seite 44: [498] Formatiert Dirk Nürnberg 27.09.22 13:39:00

Schriftart: Nicht Kursiv

Seite 44: [499] Formatiert Dirk Nürnberg 28.09.22 13:02:00

Schriftfarbe: Text 1

Seite 44: [500] Formatiert Dirk Nürnberg 27.09.22 14:03:00

Englisch (USA)

Seite 44: [501] Formatiert Dirk Nürnberg 27.09.22 13:39:00

Schriftart: Nicht Kursiv

Seite 44: [502] Formatiert Dirk Nürnberg 27.09.22 13:39:00

Schriftart: Nicht Kursiv

Seite 44: [503] Formatiert Dirk Nürnberg 27.09.22 13:39:00

Schriftart: Nicht Kursiv

Seite 44: [504] Formatiert Dirk Nürnberg 27.09.22 13:40:00

Schriftart: Nicht Kursiv

Seite 44: [505] Gelöscht Dirk Nürnberg 27.09.22 15:07:00

Seite 44: [505] Gelöscht Dirk Nürnberg 27.09.22 15:07:00

Seite 44: [506] Formatiert Dirk Nürnberg 27.09.22 13:40:00

Schriftart: Nicht Kursiv

Seite 44: [507] Ändern Unknown

Feldfunktion geändert

Seite 44: [508] Formatiert Dirk Nürnberg 28.09.22 13:02:00

Schriftfarbe: Text 1

Seite 44: [509] Formatiert Dirk Nürnberg 27.09.22 14:03:00

Englisch (USA)

Seite 44: [510] Gelöscht Dirk Nürnberg 27.09.22 14:03:00

Seite 44: [510] Gelöscht Dirk Nürnberg 27.09.22 14:03:00

Seite 44: [510] Gelöscht Dirk Nürnberg 27.09.22 14:03:00

Seite 44: [511] Formatiert Dirk Nürnberg 27.09.22 13:41:00

Schriftart: Nicht Kursiv

Seite 44: [511] Formatiert Dirk Nürnberg 27.09.22 13:41:00

Schriftart: Nicht Kursiv

Seite 44: [512] Gelöscht Dirk Nürnberg 22.09.22 15:22:00

Seite 44: [512] Gelöscht Dirk Nürnberg 22.09.22 15:22:00

Seite 44: [513] Formatiert Dirk Nürnberg 27.09.22 14:04:00

Englisch (USA)

Seite 44: [514] Gelöscht Dirk Nürnberg 27.09.22 15:07:00

Seite 44: [514] Gelöscht Dirk Nürnberg 27.09.22 15:07:00

Seite 44: [515] Formatiert Dirk Nürnberg 27.09.22 13:41:00

Schriftart: Nicht Kursiv

Seite 44: [515] Formatiert Dirk Nürnberg 27.09.22 13:41:00

Schriftart: Nicht Kursiv

Seite 44: [516] Formatiert Dirk Nürnberg 27.09.22 13:41:00

Schriftart: Nicht Kursiv

Seite 44: [517] Gelöscht Dirk Nürnberg 28.09.22 11:50:00

Seite 44: [517] Gelöscht Dirk Nürnberg 28.09.22 11:50:00

Seite 44: [518] Formatiert Dirk Nürnberg 27.09.22 13:41:00

Schriftart: Nicht Kursiv

Seite 44: [519] Gelöscht Dirk Nürnberg 22.09.22 15:23:00

Seite 44: [520] Formatiert Dirk Nürnberg 09.09.22 13:41:00

Durchgestrichen



Seite 44: [520] Formatiert	Dirk Nürnberg	09.09.22 13:41:00
Durchgestrichen		
Seite 44: [521] Gelöscht	Dirk Nürnberg	27.09.22 15:08:00
▼		
Seite 44: [521] Gelöscht	Dirk Nürnberg	27.09.22 15:08:00
▼		
Seite 44: [522] Formatiert	Dirk Nürnberg	27.09.22 13:41:00
Schriftart: Nicht Kursiv		
Seite 44: [522] Formatiert	Dirk Nürnberg	27.09.22 13:41:00
Schriftart: Nicht Kursiv		
Seite 44: [523] Formatiert	Dirk Nürnberg	27.09.22 13:41:00
Schriftart: Nicht Kursiv		
Seite 44: [524] Gelöscht	Dirk Nürnberg	28.09.22 11:50:00
x		
Seite 44: [524] Gelöscht	Dirk Nürnberg	28.09.22 11:50:00
x		
Seite 44: [525] Formatiert	Dirk Nürnberg	27.09.22 14:04:00
Englisch (USA)		
Seite 44: [526] Formatiert	Dirk Nürnberg	27.09.22 13:41:00
Schriftart: Nicht Kursiv		
Seite 44: [527] Gelöscht	Dirk Nürnberg	22.09.22 15:23:00
x		
Seite 44: [527] Gelöscht	Dirk Nürnberg	22.09.22 15:23:00
x		
Seite 44: [527] Gelöscht	Dirk Nürnberg	22.09.22 15:23:00
x		
Seite 44: [528] Formatiert	Dirk Nürnberg	27.09.22 13:41:00
Schriftart: Nicht Kursiv		
Seite 44: [529] Formatiert	Dirk Nürnberg	27.09.22 14:07:00
Englisch (USA)		
Seite 44: [530] Formatiert	Dirk Nürnberg	27.09.22 13:42:00
Englisch (Vereinigtes Königreich)		
Seite 44: [530] Formatiert	Dirk Nürnberg	27.09.22 13:42:00
Englisch (Vereinigtes Königreich)		
Seite 44: [531] Ändern	Unknown	
Feldfunktion geändert		
Seite 44: [532] Formatiert	Dirk Nürnberg	26.09.22 09:16:00
Englisch (Vereinigtes Königreich)		

Seite 44: [532] Formatiert Dirk Nürnberg 26.09.22 09:16:00

Englisch (Vereinigtes Königreich)

Seite 44: [532] Formatiert Dirk Nürnberg 26.09.22 09:16:00

Englisch (Vereinigtes Königreich)

Seite 44: [533] Gelöscht Dirk Nürnberg 27.09.22 15:08:00

x

Seite 44: [533] Gelöscht Dirk Nürnberg 27.09.22 15:08:00

x

Seite 44: [534] Formatiert Dirk Nürnberg 27.09.22 13:42:00

Schriftart: Nicht Kursiv

Seite 44: [534] Formatiert Dirk Nürnberg 27.09.22 13:42:00

Schriftart: Nicht Kursiv

Seite 44: [535] Gelöscht Dirk Nürnberg 28.09.22 11:51:00

x

Seite 44: [535] Gelöscht Dirk Nürnberg 28.09.22 11:51:00

x

Seite 44: [535] Gelöscht Dirk Nürnberg 28.09.22 11:51:00

x

Seite 44: [535] Gelöscht Dirk Nürnberg 28.09.22 11:51:00

x

Seite 44: [536] Ändern Unknown

Feldfunktion geändert

Seite 44: [537] Formatiert Dirk Nürnberg 27.09.22 14:23:00

Nicht unterstrichen

Seite 44: [538] Gelöscht Dirk Nürnberg 27.09.22 15:08:00

v

Seite 44: [538] Gelöscht Dirk Nürnberg 27.09.22 15:08:00

v

Seite 44: [539] Formatiert Dirk Nürnberg 27.09.22 15:17:00

Schriftart: Nicht Kursiv, Englisch (Vereinigtes Königreich)

Seite 44: [539] Formatiert Dirk Nürnberg 27.09.22 15:17:00

Schriftart: Nicht Kursiv, Englisch (Vereinigtes Königreich)

Seite 44: [540] Gelöscht Dirk Nürnberg 27.09.22 13:42:00

x

Seite 44: [541] Formatiert Dirk Nürnberg 27.09.22 15:17:00

Englisch (Vereinigtes Königreich)

Seite 44: [542] Ändern Unknown

Feldfunktion geändert

**Seite 44: [543] Formatiert** **Dirk Nürnberg** **27.09.22 15:17:00**

Nicht unterstrichen, Schriftfarbe: Text 1, Englisch (Vereinigtes Königreich)

**Seite 44: [543] Formatiert** **Dirk Nürnberg** **27.09.22 15:17:00**

Nicht unterstrichen, Schriftfarbe: Text 1, Englisch (Vereinigtes Königreich)